



# عالم الذرة

مجلة هيئة الطاقة الذرية السورية

## مجلة عالم الذرة

مجلة دورية تصدر ست مرات في السنة عن هيئة الطاقة الذرية في الجمهورية العربية السورية. وتهدف إلى الإسهام في نشر المعرفة العلمية باللغة العربية في الميدانين الذري والنووي، وفي كل ما يتعلق بهما من تطبيقات.

### المدير المسؤول

الدكتور إبراهيم عثمان

المدير العام لهيئة الطاقة الذرية

### هيئة التحرير

الدكتور عادل حرفوش

الدكتور زياد قطب

**NO.105**

## المقالات

5

قوة الإعصار

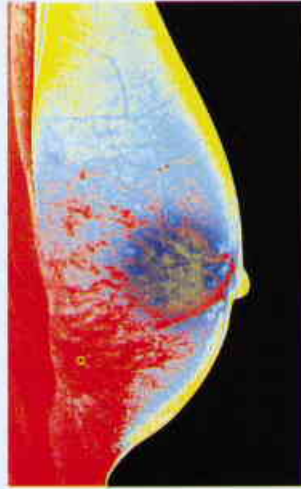


إن فهم فيزياء الأعاصير يمكن أن يساعد العلماء في التوصل إلى تنبؤات أفضل بهذه الظواهر المدمرة وتحديد ما إذا كانت الزيادة الأخيرة بعد هذه العواصف الشديدة مرتبطة بالاحترار العالمي.

ر - سميث

12

سرطان الثدي:  
أوهام التحري  
(أو الفحص المبكر)



يُعدُّ التحري المنظم لسرطان الثدي عند النساء اللواتي تتراوح أعمارهن ما بين 50 و 74 سنة عماد خطة مكافحة السرطان.

ص. كوازن، ف. لومارشان

17

تحريك

التجاوب المغنطيسي



يتطلب التجاوب المغنطيسي من الناحية التقليدية مغناط كبيرة تجمّد التقانة في مكانها وتجعلها باهظة الثمن. وهنا، يصف بويد غودسن كيف تسعى الجهود إلى تطوير نبائط نقالة لتوسيع مجال تقانة التصوير القوية هذه.

ب. غودسون

25

الجانب الخفي للثقالة



رغم عقود من البحث، لم يُعثر بعد على "المادة الخفية" التي يُعتقد أنها تمسك المجرات بعضها إلى بعض. وفي هذا المقال يصف ماثيو تشالمرز كيف أن بعض الفيزيائيين يفكرون أنه من الأكثر تبريراً أن نغيّر نظريتنا في الثقالة بدلاً من ذلك.

م. تشالمرز

## الأخبار العلمية



31 ◀ متى لا يكون المعدن معدناً؟

33 ◀ إنفلونزا الطيور والعالم الجديد

35 ◀ يدعي الاقتصاديون أن تخفيضات الكربون لن تضعف البنك الدولي

37 ◀ المضادات الحيوية تواجه مستقبلاً مشكوكاً به

39 ◀ منمّشات النانو تحقق بصماتها

40 ◀ البحث عن أشربة كمومية

43 ◀ كسر حاجز الانعراج

45 ◀ النيكل



## ورقات البحث

49 فعالية طين الكاولين ومجموعة من المبيدات الصناعية للسيطرة على حشرة بسبيل الفستق الحلبي

56 القيمة الغذائية لبعض المخلفات الزراعية نتيجة لتأثير معاملات كيميائية ومستويات منخفضة نسبياً من أشربة غاما

## تقارير علمية

61 ◀ دراسة الخواص الحرارية لأفلام البولي إيثيلين ترفتالات المطعمة بحمض الإكريليك

61 ◀ تأثير الإضافات في البنية الدقيقة وتلبيد أكسيد الموليبدنيوم - دراسة المحاليل الصلبة ذات الصلة

62 ◀ تأثير الأشعة المؤينة وغير المؤينة على بيوض الديدان الطفيلية والأوالي التي تسبب الأمراض المعوية في مخلفات الصرف الصحي

62 ◀ استخدام البيلون السوري لإزالة المواد العضوية وبعض الأيونات الأخرى من حمض الفسفور التجاري السوري

63 ◀ تصميم وحدة تغذية كهربائية متقطعة 150 kHz . 3 kW وتنفيذها

63 ◀ طريقة محاكاة الأطياف من أجل الإثارة الانتقالية للنظائر

64 ◀ ربط الكود HYDMN مع الكودين CITATION و WIMSD4

64 ◀ إيجاد علاقة السعة الكهربائية الساكنة لكثفة فائقة الناقلية

65 ◀ محاكاة ظواهر التبريد بالحمل الطبيعي لمفاعلات البحث باستخدام الكود PARET

66 ◀ حساب طيف تدفق النيوترونات السريعة في قنوات التشعيع الداخلية لمفاعل البحث منسر باستخدام الكود WIMSD4

## إطالة علمية على حدث

68 ◀ ظاهرة الاحترار العالمي وغازات الدفيئة

- 1- ترسل نسختان من مادة النشر باللغة العربية مطبوعتان بالآلة أو مكتوبتان بالحرر بخط واضح على وجه واحد من الورقة، وبفراغ مضاعف بين السطور.
- 2- يكتب على ورقة مستقلة عنوان مادة النشر واسم الكاتب وصفته العلمية وعنوانه مع ملخصين لها أحدهما بالعربية والآخر باللغة الإنكليزية حصراً، في حدود عشرة أسطر لكل منهما، ويطلب من كل من المؤلف أو المترجم كتابة اسمه كاملاً، باللغتين العربية والأجنبية، ولقبه العلمي وعنوان مراسلته.
- 3- يقدم المؤلف (أو المترجم) في ورقة مستقلة قائمة بالعبارات التي تشكل الكلمات المفتاحية "Key Words" (والتي توضح أهم ما تضمنته المادة من حيث موضوعاتها وغايتها ونتائجها والطرق المستخدمة فيها) وبما لا يتجاوز خمس عبارات باللغة الإنكليزية وترجمتها بالعربية.
- 4- إذا سبق نشر هذا المقال أو البحث في مجلة أجنبية، ترسل الترجمة مع صورة واضحة عن هذه المادة المنشورة ويستحسن إرسال نسخة الأصل المطبوع والأشكال (الرسوم) الأصلية إن وجدت، ولو على سبيل الإعارة.
- 5- إذا كانت المادة مؤلفة أو مجمعة من مصادر عدة، يذكر الكاتب ذلك تحت العنوان مباشرة كأن يقول "تأليف، جمع، إعداد، مراجعة" وترفق المادة بقائمة مرقمة للمراجع التي استقاها منها.
- 6- إذا تضمنت المادة صوراً أو أشكالاً، ترسل الصورة الأصلية وكذلك الأشكال مخططة بالحرر الأسود على أوراق مستقلة، إلا إذا كانت موجودة في المادة المطبوعة المطبوعة بلغة أجنبية (كما جاء في الفقرة "4") مرقمة حسب أماكن ورودها.
- 7- يرسل مع المادة قائمة بالمصطلحات العلمية العربية المستخدمة فيها مع مقابلاتها الأجنبية إذا لم تكن واردة في معجم الهيئة للمصطلحات العلمية والتقنية في الطاقة الذرية الذي تم نشره في أعداد المجلة (2-18).
- 8- تكتب المصطلحات وكذلك أسماء الأعلام باللغتين العربية والأجنبية عند ورودها في النص أول مرة ومن ثم يكتفى بإيراد المقابل العربي وحده سواء أكان هذا المقابل كاملاً أو غير كامل وتستعمل في النص المؤلف أو المترجم الأرقام العربية (1، 2، 3) أينما وردت مع مراعاة كتابتها بالترتيب العربي من اليمين إلى اليسار وإذا وردت في نص معادلة أو قانون أحرف أجنبية وأرقام تكتب المعادلة أو القانون كما هي في الأصل الأجنبي.
- 9- يُشار إلى الحواشي، إن وجدت، بإشارات دالة (\*، +، X، ...) في الصفحة ذاتها، كما يشار في المتن إلى أرقام المصادر والمراجع المدرجة في الصفحة الأخيرة، وذلك بوضعها ضمن قوسين متوسطين [ ] .
- 10- ترقم مقاطع النص الأجنبي والنص العربي بترتيب واحد في حالة الترجمة.
- 11- يرجى من السادة المترجمين مراعاة الأمانة التامة في الترجمة.
- 12- تخضع مادة النشر للتقييم ولا ترد إلى أصحابها نشرت أم لم تنشر.
- 13- يمنح كل من الكاتب أو المترجم أو المراجع مكافأة مالية وفق القواعد المقررة في الهيئة.

### جميع المراسلات توجه إلى العنوان التالي:

الجمهورية العربية السورية - هيئة الطاقة الذرية - مكتب الترجمة والتأليف والنشر - دمشق : ص.ب : 6091

هاتف 6111926-11(+963) فاكس 6112289-11(+963)

E-mail: tapo@aec.org.sy

ISSN 1607-985X

### رسوم الاشتراك السنوي

يمكن للمشاركين تسليم رسم الاشتراك في مكتب الترجمة والتأليف والنشر في الهيئة

(دمشق، شارع 17 نيسان) أو بجمالة على العنوان التالي:

المصرف التجاري السوري - فرع رقم 13، مزة جبل - دمشق

ص.ب: 16005، رقم الحساب 2/3012

- الاشتراك من داخل القطر: للطلاب (200) ل.س، للأفراد (300) ل.س.

للمؤسسات (1000) ل.س.

- الاشتراك من خارج القطر: للأفراد (30) دولاراً أمريكياً، للمؤسسات (60) دولاراً أمريكياً.

### سعر العدد الواحد

سوريا: 50 ل.س مصر: 3 جنيهات لبنان: 3000 ل.ل الجزائر: 100 دينار

الأردن: 2 دينار السعودية: 10 ريالات وفي البلدان الأخرى: 6 دولارات

### الإعلانات

تود مجلة عالم الذرة إعلام الشركات والمؤسسات العاملة في قطاع التجهيزات العلمية والمخرية كافة والصناعات المتعلقة بها عن فتح باب الإعلان التجاري فيها، للمزيد من الاستفسار حول رغبتكم بنشر إعلاناتكم التجارية يرجى الكتابة إلينا أو الاتصال بنا وفق العنوان الوارد أعلاه.

يسمح بالنسخ والنقل عن هذه المجلة للاستخدام الشخصي بشرط الإشارة إلى المرجع، أما النسخ والنقل لأهداف تجارية فغير مسموح به إلا بموافقة خطية مسبقة من الهيئة.

# قوة الإعصار

## ملخص

إن فهم فيزياء الأعاصير يمكن أن يساعد العلماء في التوصل إلى تنبؤات أفضل بهذه الظواهر المدمرة وتحديد ما إذا كانت الزيادة الأخيرة بعدد هذه العواصف الشديدة مرتبطة بالاحترار العالمي.

## الكلمات المفتاحية:

إعصار، الاحترار العالمي، سيكلونات، طيفونات، علم المناخ.

دفعنا للمرة الأولى إلى وضع أسماء بالأحرف الإغريقية للأعاصير، بيتا وإيسيلون. ومؤخراً أعلنت منظمة الأرصاد العالمية أن خمسة أسماء سيتم سحبها نهائياً من القائمة المتداولة - وهو مصير يحتفظ به لتلك الأعاصير التي تسبب الدمار الأعظم.

وللتقليل من الخسائر الكارثية في الأرواح والأضرار المادية التي تسببها الأعاصير فإننا بحاجة إلى تنبؤات أفضل بمساراتها وشداتها معاً. والتنبؤات الحالية للمسار مبالغة للخطأ لدرجة يصعب معها أن تكون ذات استخدام عملي كبير إلى ما هو أبعد من ثلاثة أيام سلفاً، كما أن التنبؤات عن تغير الشدة تكاد أن تكون أقل من

في شهر أيار لعام 2005 سبب إعصار كاترينا Hurricane Katrina دماراً كبيراً لمدينة نيو أورليانز، إذ أودى بحياة 1300 شخص وسبب أضراراً بلغت قيمتها 125 بليون دولار. بعد ذلك بشهرين فقط، دمر إعصار ويلما Hurricane Wilma، وهو أشد إعصار في الأطلسي لم يُسجل له مثيل على الإطلاق، أجزاءً من المكسيك وكوبا وفلوريدا. في الواقع، وخلال عام 2005 سُجّلت 27 عاصفة مدارية في الأطلسي، تطور منها 15 عاصفة إلى أعاصير. وللمرة الأولى، تم استنزاف القائمة الأبجدية بالأسماء التي تضعها سنوياً منظمة الأرصاد العالمية (WMO) منذ تأسيسها في عام 1953. وهذا ما

العين هذا أسرع سرعات الرياح وأغزر الهطولات، مما يجعلها الجزء الأكثر إخافة في الإعصار.

يعتبر تشكّل الإعصار عملية معقدة غير مفهومة تماماً، لكن ثمة شروط محددة لا بد من تحقيقها. فالأعاصير تتشكّل عادةً فوق مياه المحيط التي تكون درجة حرارتها أعلى من  $26.5^{\circ}\text{C}$  حتى عمق 50 م تقريباً، وتحدث بفعل اضطراب موجود مسبقاً منخفض الضغط. ولا بد من أن يكون الهواء فوق المحيط رطباً جداً وأن تكون سرعة الرياح ثابتة إلى حد ما مع الارتفاع. وتتشكّل جميع الأعاصير عند درجة عرض أكبر من 5 درجات عن خط الاستواء بفعل قوة كوريوليس Coriolis force التي تسبّب دوران الهواء. ومن شأن الدوران أن يقوّي الإعصار ويجعله يأخذ شكلاً لولبياً.

إن قوة كوريوليس، التي تظهر في معادلات الحركة motion Equation عندما يُصاغ قانون نيوتن الثاني في مؤطر مرجعي دوّار كالكرة الأرضية، تحاول أن تحرف الهواء المتحرك إلى يمين اتجاه حركته في نصف الكرة الشمالي وإلى اليسار في نصف الكرة الجنوبي. وبالنتيجة، تدور الأعاصير بعكس اتجاه عقارب الساعة في نصف الكرة الشمالي ومع اتجاه عقارب الساعة في نصف الكرة الجنوبي. وتكون قوة كوريوليس معدومة عند خط الاستواء وتزداد مع ازدياد درجات العرض مما يفسّر ندرة تشكّل الأعاصير قرب خط الاستواء.

### فيزياء الأعاصير

تعدّ ديناميكية الأعاصير في غاية الحساسية، لكن من الملائم أن نذكر بحركة الهواء بدلالة مركبتين مقترنتين للتدفق. أولاهما "الدوران الأساسي" الذي يصف الحركة المماسية للهواء حول محور التدوير المركزي. أما المركبة الثانية، التي تعتبر أكثر تعقيداً، فهي "الدوران الثانوي". وهذا يصف حركة الهواء في الاتجاه الشعاعي، حيث تتدفق باتجاه الداخل بالقرب من سطح المحيط وباتجاه الخارج عند ارتفاعات أعلى. وهاتان المركبتان ليستا مستقلتين، حيث تندمجان لتأخذوا شكل باقات هوائية تتولّب باتجاه الداخل والأعلى والخارج (انظر المؤطر في الصفحة 8).

### تزداد أضرار الرياح الناتجة عن الأعاصير تقريباً بازدياد مكعب حجم وسرعة الرياح

وتحكّم الدوران الأساسي قوى متنافسة في الاتجاهات الشعاعية نحو الداخل ونحو الخارج (انظر المؤطر في الصفحة 8). ولما كان مركز العاصفة يمتلك ضغطاً أخفض من المنطقة المحيطة، فإن ممال الضغط الحاصل يحاول أن يجعل الحزم الهوائية تتحرك نحو المركز. ولكن، حينما يفعل ذلك يأتي دور قوتين إضافيتين: إذ

ذلك تطوراً. علاوة على ذلك، فإن فصل إعصار الأطلسي الذي حطّم الرقم القياسي العام الماضي قد غدّى المخاوف من أن الاحترار العالمي يمكن أن يكون مسؤولاً عن ازدياد تكرار وشدة الأعاصير. وبالرغم من الجدل في هذا الخصوص، فقد تكون مثل هذه العلاقة ذات أهمية جوهريّة بالنسبة لمئات ملايين الناس الذين يعيشون في مناطق معرضة للأعاصير.

ويمكن تفسير العديد من خواص الأعاصير بدلالة الفيزياء الكلاسيكية - مثل قانون نيوتن الثاني وترموديناميك الهواء الرطب. وبفهم الفيزياء الأساسية المسؤولة عن ازدياد وتطور الأعاصير، يساهم الفيزيائيون بجهود عالمية للتوصل إلى موديلات أفضل للتنبؤ بالأعاصير.

### اللوالب والعيون

الأعاصير هي منظومات طقس دوّارة منخفضة الضغط تتطوّر على الأغلب فوق المحيطات المدارية الدافئة. وبدقة أكثر، ينطبق مصطلح الإعصار فقط على العواصف التي تهبّ فوق المحيط الأطلسي، والبحر الكاريبي، وخليج المكسيك وشرق المحيط الهادئ، في حين تُدعى العواصف في أمكنة أخرى بالطيفونات typhoons أو السيكلونات المدارية. تتشكّل مثل هذه العواصف عالمياً بمعدل 80 عاصفة سنوياً في شهور الصيف على الأغلب. ويتم تصنيفها وفقاً لمعدل سرعات الرياح التي تتجاوز  $33\text{ ms}^{-1}$  من أجل 10 m فوق سطح المحيط.

سيدرك معظم القراء صور الأعاصير الملتقطة من السوائل (الشكل 1). فهي تتألف من لولبٍ مميّز شكّته سحبٍ سمحاقية كثيفة تحيط بعينٍ eye خالية من السحبٍ قد يتفاوت قطرها بين بضعة كيلومترات وحتى ما ينوف عن مئة كيلومتر. ويوجد حول العين منطقة حلقيّة من سحبٍ حملانية convective عميقة. ويُطلق عليها اسم "سحب جدار العين eyewall clouds" لأن حافتها الداخلية تشكّل "جداراً" ذا انحدارٍ نحو الخارج بالنسبة إلى العين. ويمتلك جدار

### نظرة خالصة: الأعاصير

- ← لقد سلّط رقم قياسي للأعاصير الشديدة في شمال الأطلسي في العام 2005 الضوء على الحاجة إلى تحسين التنبؤ بالأعاصير.
- ← يمكن تفسير الديناميكية الأساسية للأعاصير بدلالة الفيزياء الأساسية مثل الميكانيكية والترموديناميكية، ويمكن أن يساعد فهم فيزياء الأعاصير في تحسين موديلات التنبؤ.
- ← يحتاج متنبؤو الأعاصير إلى التنبؤ بالمسار الذي سيتخذه الإعصار وبكيفية تغير شدته سواء بسواء. والتنبؤات بالمسار دقيقة بشكل معقول على المدى القصير، لكن تنبؤات الشدة هي أقل تطوراً إلى حد بعيد.
- ← ربط الباحثون مؤخراً ازدياد تكرار وشدة الإعصار بارتفاع درجة حرارة العالم، رغم أن هذا يبقى قيد الإثبات.
- ← لقد بدأت جهود منظمة لإنشاء قاعدة بيانات تاريخية للأعاصير، وذلك من أجل إدراك أفضل حول ما إذا كان الاحترار العالمي مرتبطاً بحدوث الإعصار.

القوى تضعف. ولكن نظراً لبقاء القوة الداخلة التي يولدها ممال الضغط ثابتة تقريباً، فإن لوائب الهواء المتجهة نحو داخل مركز العاصفة تُجبر على الارتفاع. وعلاوة على ذلك، فإن انحفاظ العزم الزاوي يفرض أنه حينما ينتقل الهواء إلى نصف قطر أصغر، فإن سرعته لابد أن تزداد، وهكذا يبدأ الإعصار بالدوران بسرعة أكبر.

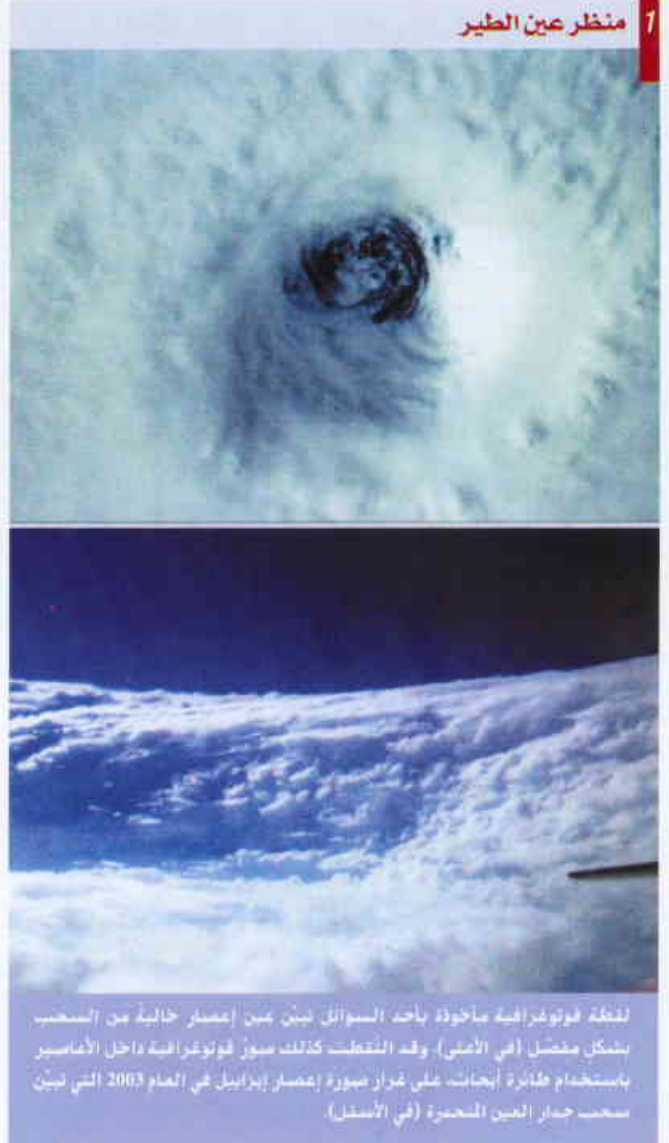
الآن يلعب الترموديناميك دوره. إذ يصبح الهواء المتدفق باطّراد أكثر رطوبة عندما يتدفق نحو الداخل بسبب البخار الصاعد من سطح المحيط الدافئ. فعندما يرتفع ويتبرّد، يتكاثف بخار الماء ليشكل غيوماً وأمطاراً. ويحدث أعلى محتوى من الرطوبة عند أنصاف أقطار صغيرة، حيث يرتفع الهواء ليشكل سحب جدار العين الثخينة. وتزداد درجة حرارة الهواء الصاعد بازدياد محتواه من الرطوبة أثناء انطلاق الحرارة الكامنة. وهكذا، فإن ممال الرطوبة عند مستويات منخفضة يؤسّس ممالاً سالباً شعاعياً لدرجة الحرارة في السحب مما يجعل الهواء عند أنصاف الأقطار الداخلية أكثر توتّباً عند مستويات منخفضة وبالتالي يرتفع بالنسبة للهواء الأكثر بعداً. وعندما تزداد سرعة الرياح ويهبط ضغط السطح، يرتفع معدّل التبخر ويزداد ممال الرطوبة، وبالتالي ينسحب هذا الأمر على ممال درجة الحرارة الشعاعية السلبية. إن دورة التغذية الراجعة الإيجابية هذه هي التي تتحوّل العاصفة إلى إعصار، مع أنه يوجد هناك كايح لهذه العملية: فالتبخير على سطح المحيط يتوقف عندما تصل الرطوبة النسبية للهواء إلى 100%.

تنشأ عين الإعصار الخالية من السحب من الهواء الهاجع في مركز العاصفة، حيث يؤدي الانخفاض في سرعة الرياح المماسية مع الارتفاع إلى قوة محضة صغيرة متجهة نحو الأسفل. هذا الهجوع يضغط الحزم الهوائية مؤدياً إلى زيادة في درجة الحرارة التي تسبّب تبخراً سريعاً لأي قطرات مائية أو بلورات جليدية وتوقف تشكل السحب.

### التنبؤ بالأعاصير

إذا أردنا التخفيف من الدمار الذي تسببه عواصف مثل كاترينا، فإننا بحاجة إلى أن نكون قادرين على التنبؤ بكيفية نشوء الإعصار. وعلى وجه الخصوص، يحتاج المتنبؤون إلى معرفة أين تتجه العاصفة وكما هي شدتها لدى وصولها. وبفضل الأبحاث المطوّلة في مجال ديناميكية حركة الإعصار خلال ثمانينيات القرن الماضي وبداية تسعينياته، غدونا الآن قادرين على التنبؤ بمسار الأعاصير بدقة قصيرة الأمد ومعقولة.

وفي تقريب أولي، تُحمّل الأعاصير عبر التدفق الهوائي الواسع المقياس الذي يكتنفها. وهكذا، تميل العواصف عند الارتفاعات الدنيا إلى التحرك غرباً مع الرياح التجارية (التي تهبُّ باطّراد نحو خط الاستواء)، مع أنها أيضاً تنحرف نحو القطبين بسبب التأثير



لقطة فوتوغرافية مأخوذة بأحد السواتل تبين عين إعصار خالية من السحب بشكل منفصل (في الأعلى). وقد التقطت كذلك صور فوتوغرافية داخل الأعاصير باستخدام طائرة أبحاث على غرار صورة إعصار إيزابيل في العام 2003 التي تبين سحب جدار العين المنحرفة (في الأسفل).

تحرف قوة كوريوليس هذه الحزم عمودياً على حركتها. في حين تبدأ قوة نابذة بالعمل مما يدفع تلك الحزم شعاعياً نحو الخارج. وتكون النتيجة الصافية لذلك هي تدوير الهواء بشكل دوراني بحيث تتوازن قوة ممال الضغط نحو الداخل تقريباً مع قوة كوريوليس والقوة النابذة نحو الخارج.

يُعتقد أن الدوران الثانوي أمر مهم في تشديد الإعصار. ومن أجل حدوث ذلك، لابد من تحريك الهواء نحو الداخل ونحو الأعلى مما يسمح بتكاثف الرطوبة داخل الإعصار وإطلاق طاقته الحرارية الكامنة. وتنشأ هذه الحركة نحو الداخل والأعلى بسبب عدم التوازن التام لقوة ممال الضغط وقوة كوريوليس والقوة النابذة، فالاحتكاك على وجه الخصوص بين الهواء المتحرك وسطح المحيط يبطل تدفق الرياح قرب المحيط. وبما أن قوة كوريوليس تتناسب طردياً مع سرعة الرياح والقوة النابذة تتناسب طردياً مع مربع سرعة الرياح فإن هذه

أخرى فوق البحار الأكثر برودة. كذلك يمكن أن يكون للاختلافات العمودية في سرعة الرياح تأثير على حركة الإعصار وتسبب ترنحاً في مركز العاصفة حول مسارها المتوسط.

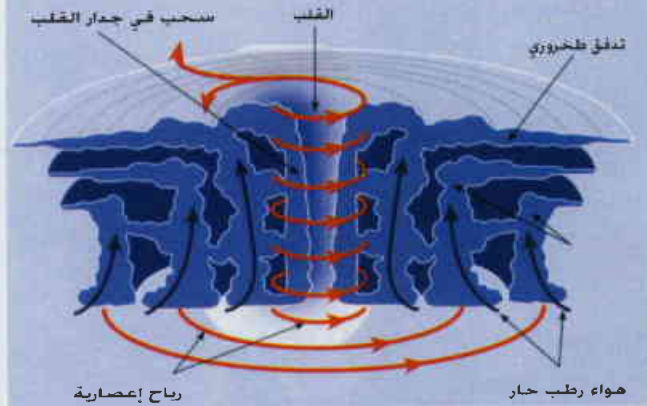
وعلى مدى العقد الماضي، قادت التحسينات التي طرأت على الموديلات الرقمية للتنبؤ بالطقس التي تنتجاً بالتدفق العالمي الشامل للهواء إلى تنبؤات تعقب أكثر دقة وقصيرة الأمد (24 - 48) ساعة. لكن تبقى الدقة على الأغلب كبيرة بشكل غير مقبول لما هو أبعد من 72 ساعة الأمر الذي يمكن أن يمثل مشكلة عند محاولة تحضير مناطق مأهولة بكثافة بالسكان، مثل المدن الموجودة على شاطئ الخليج، لمواجهة وطأة إعصار ما. ففي الأطلسي خلال العام 2004 كان خطأ التعقب المتوسط في المركز الوطني الأمريكي للأعاصير (الفرق بين موقع التنبؤ والمسار الفعلي للإعصار) يعادل 107 كم بعد 24 ساعة، وصولاً إلى 187 كم بعد 48 ساعة، و280 كم بعد 72 ساعة، و395 كم بعد 96 ساعة، و546 كم بعد 120 ساعة.

ويمكن أن تتغير أيضاً شدة الإعصار بشكل مذهل خلال دورة حياته، لكن التنبؤات بتغير الشدة لاتزال أقل إقناعاً بكثير من تنبؤات التعقب. ومن أجل التوصل إلى تنبؤات أفضل حول الشدة، الأمر الذي يتصف بأهمية حاسمة حينما تقترب العواصف من بلوغ اليابسة، فإننا نحتاج إلى تحسين أسلوب تمثيل العمليات الفيزيائية في موديلات التنبؤ.

إن أحد أمثلة ذلك هو مشكلة دوائر جدار العين المتحدة المركز concentric eyewall cycles. ففي الأعاصير القوية، يمكن أن يتشكل جدار عين جديد خارج جدار العين الأولي، وذلك لأسباب لم تكن مفهومة جيداً. وهنا يتحرك جدار العين بشكل شعاعي نحو الداخل ويختفي جدار العين الداخلي. ويقابل تشكيل دوائر جدار العين هذه وانكماشها التغيرات في شدة الإعصار: إذ يضعف الإعصار عندما يتشكل جدار العين الجديد لكنه يشتد من جديد عندما ينكمش. وثمة تفسير محتمل هو أن الهجوع الذي يرافق جدار العين الخارجي يُضعف الحملان convection في جدار العين الداخلي مما يسمح بهبوط تدويم spin down منطقة اللب الداخلي بسبب الاحتكاك. وهناك احتمال آخر وهو أن الهواء الذي يتقارب نحو داخل جدار العين الداخلي يُعاد توجيهه نحو جدار العين الخارجي فيقلل بذلك من إمداد جدار العين الداخلي بالعزم الزاوي والروتية.

ويعتبر المحيط عاملاً آخر. فالإمداد من الرطوبة الذي يعطي العاصفة طاقتها يعتمد بشدة على درجة حرارة سطح المحيط. لكن المياه الأبرد والأعمق يمكن أن ترتفع إلى السطح بفعل الاضطراب الذي تسببه رياح القوة الإعصارية، مما يخفّض درجة حرارة السطح ويُضعف الإعصار. أما مقدار التبريد فإنه يعتمد على عمق الطبقة الدافئة قبل أن تهب العاصفة وعلى طول المدة الزمنية التي تبقى فيها

## دواخل وخوارج الاستناد



يتألف الإعصار المكتمل من عين كبيرة خالية من السحب تكتنفها سحب عميقة جدارية العين ثم لديها أشرطة مطرية لولبية. هذه السحب هي مناطق أمطار غزيرة جداً وعصاف رياح قوية، وتوجد أقوى الرياح تحت الحافة الداخلية لجدار العين، وتتحكم لولب هوائية رطبة دافئة نحو الداخل عند مستويات منخفضة وترتفع في جدار العين والأشرطة المطرية. إن معظم الهواء ينفذ لولبياً في طبقة التروبوسفير العليا ثم ينعكس اتجاه الدوران في نهاية المطاف. لكن قليلاً من الهواء ينخسف ببطء في العين. ويشكل الهواء المتدفق نحو الخارج سحباً سمحاقية كثيفة - اللولب المميز الذي يُشاهد في الصور الملتقطة بالسواتل.

إن التدفق نحو الداخل بالقرب من سطح المحيط سببه الاحتكاك بين الهواء والمحيط، وهذا التأثير يمكن إنباته بوضع أوراق الشاي في دورق ماء وتحريك الماء بعنف حتى يأخذ بالدوران عندئذ تتجمع أوراق الشاي تدريجياً في قعر الدورق قرب المحور، في المكان الذي تم فيه جرّها نحو الداخل بالتدفق في طبقة الاحتكاك الرقيقة (التي تساوي تقريباً 1 ملم) بين الماء والدورق. وبينما يتحرك الماء إلى الخارج فوق طبقة الاحتكاك، فإنه يحافظ على عزم زاوي ويتدوم ببطء أكبر، وبذلك يضعف الدوران في الدورق تدريجياً.

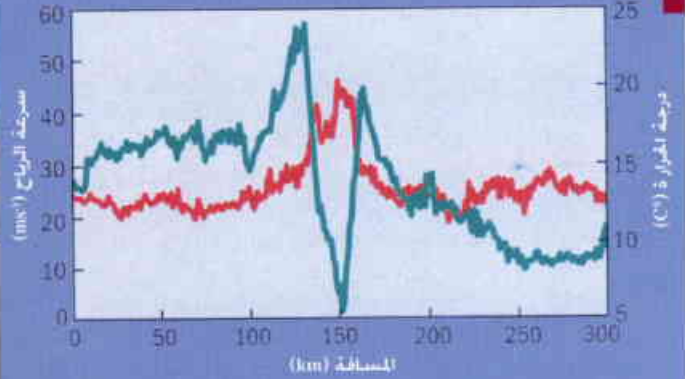
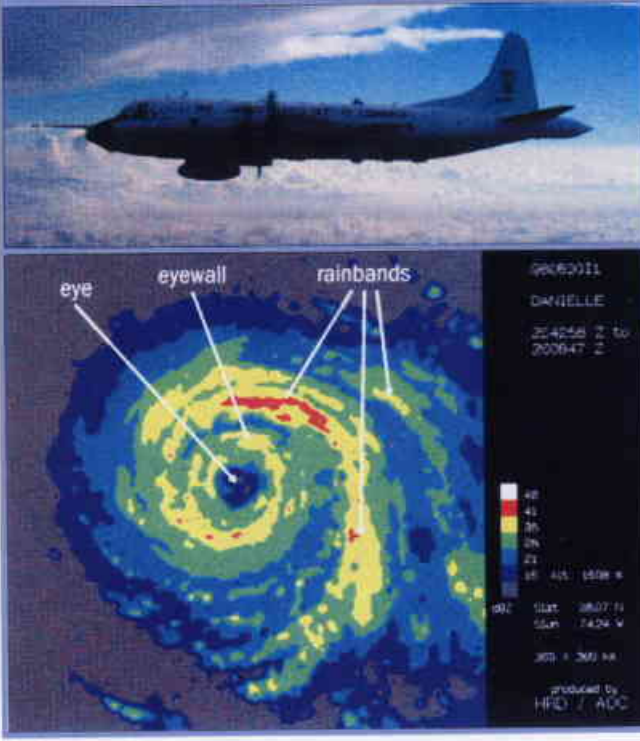
تعود العملية نفسها إلى اضمحلال الإعصار إذا كان على التدفق الخارجي للهواء أن يحدث فوق طبقة الاحتكاك تماماً. ومن أجل أن يشتد الإعصار، يجب على الهواء أن يتدفق نحو الداخل فوق طبقة الاحتكاك. وهذا سيسمح لانخفاض العزم الزاوي أن يسرع الهواء أثناء تقاربه باتجاه المحور. إن آلية توليد التدفق نحو الداخل فوق طبقة الاحتكاك هي الممال الشعاعي "السالب" لقوة الطفو نحو الأعلى التي ترافق إطلاق الحرارة الكامنة في السحب.

المتزايد لدوران الأرض مع الارتفاع. وغالباً ما تشتد هذه الحركة القطبية الاتجاه بواسطة تدفق الهواء حول منظومات طقس واسعة المقياس، مثل منظومات الضغط المرتفع تحت المداري التي تدور بعكس اتجاه الأعاصير.

وحيثما تندفع العاصفة بقوة حول الجانب الغربي لمثل هذه المنظومة، فإنها يمكن أن "تنحني من جديد" وتبدأ بالتحرك نحو الشرق مادامت الرياح الغربية السائدة تحملها عند ارتفاعات أعلى. وفي الحقيقة، يفعل 40% من الأعاصير الأطلسية هذا الشيء بدقة أثناء خروجها من المناطق الاستوائية. فبعض هذه الأعاصير يصبح سيكلونات cyclones لا مدارية شديدة، في حين تتلاشى أعاصير



## 2 الطائرات المطاردة للعواصف



تسمح طائرة كثلث التي هي من طراز 3م التابعة للإدارة الوطنية الأمريكية المتخصصة بدراسة الغلاف الجوي والمحيطات (السنار والأعلى) بأن يجري الباحثون قياسات للأعاصير في مواقعها. ويحمل البطن السفلي للطائرة راداراً يكشف طراز الطول المطوي أثناء الطيران، وتبادل مناطق الاعتكالية الرادارية العالية الهطولات الغزيرة، مما يجعل سحب جدار العين والأشرطة المطرية اللولبية التي تتشكل عند العالم الباردة الأكبر قطعاً ظاهرة في الصور الرادارية (الأسفل يساراً). وتبين الصورة الفوتوغرافية صورة جانبية لمخية لسرعة الرياح في مستوى الطيران ولدرجة الحرارة المقاسة بواسطة الطائرة أثناء عبورها العاصفة على ارتفاع 1.5 - 3 كم. ونشير إلى أن الرياح تكون خفيفة في العين، وترتفع بسرعة إلى حدّها الأقصى ومن ثم تضعف بشكل ثابت مع طول القطر. وتوجد سرعات الرياح القصوى عند مستويات منخفضة تحت سحب جدار العين.

بواسطة الطائرات تُعدُّ مهمّةً للتحقق من تنبؤات هذه الموديلات. ونشير هنا إلى أن هذا الموديل يعتبر الأدق حالياً لغرض التنبؤ القصير الأمد بالأعاصير. ولكن، لا بد من الاستعاضة عنه في العام القادم أو نحو ذلك بموديل جديد يجري إعداده حالياً من قبل فريق في المراكز الوطنية للتنبؤ البيئي في واشنطن بقيادة ناومي سورغي N. Surgi.

وتضعف شدة الأعاصير عندما تنطلق فوق اليابسة، ولا يعود سبب ذلك إلى حدٍّ كبير إلى ازدياد الاحتكاك على السطح، بل إلى انقطاع الخط الحيوي للإمداد بالرطوبة من البحر، الأمر الذي يؤدي إلى تبريد في سحب جدار العين وبالتالي يقلل التدرج الشعاعي في قوة الطفو buoyancy التي تحافظ على الدوران الثانوي. لكن حتى عندما تتباطأ الرياح ويتناقص إمداد الرطوبة السطحي إلى حدٍّ كبير، يمكن للأعاصير أن تستمر في توليد كميات وفيرة من الهطولات المطرية والظوفان الخاطف الومضي. كذلك، لما كانت الأعاصير تشكل مناطق هواء غنية بالعزم الزاوي فهي غالباً ما تُحدث تورنادات tornadoes عند بلوغها اليابسة.

### سيناريو الحالة الأسوأ

ومن الناحيتين النظرية والعملية، نريد أن نعرف ما الذي يثير الشدة القصوى التي يمكن لعاصفة أن تتوصل إليها في بيئة ما. وفي سلسلة من ورقات البحوث، أولها كان في العام 1988 حاول فيها كيري إيمانويل K. Emanuel من معهد ماساتشوستس للتقانة

العاصفة فوق نقطة محددة. لذلك يكون مقدار التبريد هو الأعظم بالنسبة للعواصف البطيئة الحركة.

وهناك تحدُّ أساسي يتمثل في دقة التقدير الكمي لمعدل إمداد الرطوبة عند السرعات العالية للرياح الموجودة بالقرب من مركز الإعصار. ويعتبر إجراء القياسات في هذه الظروف الشديدة صعباً جداً: فهو يتطلب طائرة تقوم بعدة طلعات داخل الهواء المضطرب على ارتفاع أقل من 100م فوق البحر الهائج (انظر الشكل 2).

وخلال مواسم إعصار الأطلسي القليلة الأخيرة، قام الباحثون في مختبر أبحاث الأعاصير التابع للإدارة الوطنية للمحيطات والغلاف الجوي في ميامي بإجراء مثل هذه القياسات من أجل تحديد "معاملات التبادل" التي تمثل إمداد الرطوبة والتبادل السطحي للعزم في موديلات الأعاصير. في غضون ذلك، عمل الباحثون في مختبر أبحاث الأعاصير بقيادة بيتر بلاك P. Black وفي جامعة ميامي بقيادة لين شاي L. Shay على تجميع بيانات تخص المحيطات، وذلك عبر إنزال مسابر محيطاتية مزودة بمعدات في فواصل زمنية منتظمة على طول مسار الطيران قبل وبعد مرور الإعصار.

لقد طوّر باحثون في مختبر ديناميكية الموانع الجيوفيزيائي في برنستون، الذي كان يرأسه حتى الزمن الحالي يوشيو كوريهارا Y. Kurihara، موديلاً معقداً للتنبؤ بالأعاصير يتضمن تغييرات في بنية المحيط التي تحدثها العاصفة. لذلك، فإن بيانات المحيطات المتجمعة



سبب إعصار كاترينا في العام الماضي أضراراً بلغت قيمتها 125 بليون دولار أمريكي في مدينة نيو أورليانز. وزاد التوقعات حول ارتباط الحوادث التزايد للعواصف بالاحترار العالمي. وحسب الباحثون الشدة المحتملة القصوى التي يمكن أن يحدثها إعصارٌ ما في بيئة معينة، وضخوا يستطيعون ربط ذلك بسيناريوهات منبأ بها حول تغير المناخ.

اللامتناظرة المحور non-axisymmetric هي على قدر كبير من الأهمية. فاللاتناظرات الواسعة المقياس الناجمة عن تأثير العواصف مع بيئتها يمكن أن تكون ذات تأثير مهم على حركة العاصفة وربما أيضاً على الشدة. علاوة على ذلك، تعتبر الأعاصير قادرة على دعم أنماط مختلفة من الأمواج اللامتناظرة التي تتحرك فيها الحزم الهوائية شعاعياً نحو الداخل أو نحو الخارج خلال دورة ما.

وثمة نمط خاص من الأمواج "موجة روسبي الدوامية vortex Rossby wave" ينتشر في الاتجاه المعاكس نحو الرياح المماسية. فهذه الأمواج يثيرها بشكل مؤكد حملان الرطوبة moist convection، والتأثيرات الخارجية كالتغيرات في القص الريحي wind-shear العمودي الواسع المقياس. وفي العقد الأخير نفذ مونتجومري ووين شوبرت W. Schubert بجامعة كولورادو دراسات رائدة على هذه الأمواج وعدم الاستقرار الذي تولده. وعلى وجه الخصوص، لقد بينا أن أمواج روسبي الدوامية يمكن أن تنقل عزماً زاوياً بصورة شعاعية في إعصار ما، مما يعني أن هذه الأمواج يمكن أن تلعب دوراً مهماً في اشتداد العواصف. كما وجد الفريق أن الأمواج يمكن أن تصبح غير مستقرة، الأمر الذي ربما يشكل آلية مهمة لنقل العزم الزاوي والحرارة عبر جدار العين إلى داخل العين نفسه.

وخلال موسم إعصار الأطلسي الأخير قام باحثون من جامعة واشنطن وميامي، ومن المركز الوطني للأبحاث الجوية (بدعم من قسم بحوث الأعاصير)، بتنفيذ برنامج أساسي لتوثيق اللاتناظرات في الأعاصير، وبالأخص بنية الأشرطة المطرية اللولبية. وقد حصل الباحثون بقيادة روبرت هاوز R. Houze بجامعة واشنطن على قياسات فعلية في أعاصير كاترينا وريتا وأفيليا باستخدام طائرة بحث متعددة الوظائف. وإن النتائج الأولية المستحصلة من الكم الوافر من البيانات التي تم جمعها بدأت بالظهور وستقدم رؤية أعمق لدور الأشرطة المطرية اللولبية في تغير شدة الأعاصير.

ومؤخراً، أجرت سانغ نغوين S. Nguyen، التي تنتمي إلى فريق جامعة ميونيخ، حسابات رقمية توحى بأن اشتداد لب الإعصار يكون لامتناظر في حد ذاته. وهذا يعود إلى الطرز غير المنتظمة للسحب الحملانية التي تتشكل، كما توحى الحسابات بأن منطقة اللب لا يمكن التنبؤ بها بشكل فطري.

### الاحترار العالمي

من بين الموضوعات الأكثر إثارة للجدل في الوقت الحاضر التأثير المحتمل للاحتزار العالمي على تكرار وشدة الأعاصير. وبما أن الأرض قد سخنت بشكل ملحوظ في الـ 50 سنة الأخيرة، يبدو من المعقول أن نتوقع بأن توفّر درجات الحرارة الأعلى عند سطح البحر شروطاً أكثر تجاوباً مع تشكيل الإعصار. ولكن، ثمة مشكلة

أن يجيب على هذا السؤال بتشبيه إعصار ناضج بمحرك كارنوت حراري. والفكرة هنا هي أن الإعصار يكتسب طاقة حرارية (وبشكل أساسي على شكل حرارة كامنة) عند سطح البحر، حيث تتراوح درجة الحرارة نموذجياً بين 26 و30 درجة مئوية، ويصدرها إلى طبقة التروبوسفير العليا، التي تقع فوق البحر بحوالي 15 كم، حيث تتراوح درجة الحرارة نمطياً بين 60 و70 درجة مئوية. وباستخدام هذا التشبيه، استطاع إيمانويل حساب الشدة القصوى التي يمكن أن تحققها عاصفة ما في موقع وزمن معينين.

تعدّ مثل هذه الحسابات مهمة ليس بالنسبة للمتنبئين فقط بل ومن أجل وضع تقديرات لتأثير الاحترار العالمي على شدة الإعصار. فهي، على سبيل المثال، تمكن من حساب الزيادة المحتملة القصوى في الشدة فيما يتعلق بسيناريوهات محددة لزيادة عالمية في درجة الحرارة. لقد أثارت دقة نظرية إيمانويل شكوكاً لدى ميخائيل مونتجومري M. Montgomery في جامعة كولورادو على أساس أن الأعاصير ذات المحاكاة الرقمية يمكن أن تتجاوز بشكل ملحوظ الشدة القصوى المحسوبة. ولكن في الواقع، فإن غالبية العواصف المشاهدة تمتلك شدات أدنى بشكل واضح من الحد الأقصى المتنبأ به. وهذا يشير غالباً إلى وجود عمليات جارية في الغلاف الجوي تعرقل اشتداد العواصف.

وفي الوقت الذي يمكن أن نفهم فيه الديناميكية الأساسية للأعاصير بدلالة العمليات التي تكون متناظرة حول محور الدوران، فإن العمليات

الضوء على الحاجة الملحة إلى تحسين قاعدة بيانات السيكلونات المدارية. وإلى هذا الحد ثمة مشروع رئيس لإعادة التحليل يأخذ مجراه الآن، ويتم تنسيقه من قبل غريغ هولاند G. Holland في المركز الوطني للأبحاث الجوية في بولدر بكولورادو.

لقد تحسّن فهمنا لفيزياء الأعاصير كثيراً على مدى العقدين الماضيين وأصبحت التنبؤات بالأعاصير أكثر وثوقاً. ومع ذلك، لا يزال أمامنا الكثير لتتعلمه عن العمليات الفيزيائية الأساسية المسؤولة عن شدة العواصف. ومثل هذه المعرفة مهمة لتطوير الجيل التالي من موديلات التنبؤ بالأعاصير وكذلك من أجل تحديد قيود مثل هذه التنبؤات. فقد بدأ موسم إعصار الأطلسي للعام 2006 رسمياً في الأول من حزيران وستسمح الأشهر القادمة بجمع مزيد من البيانات لاختبار وتحسين معرفتنا بهذه العواصف المدمرة.

محدّدة في عزو تغيّرات تواتر الأعاصير وشدتها إلى الاحترار العالمي وتتمثّل بالاختلاف الطبيعي الكبير في تواتر العواصف التي تتبع أيضاً دورات طويلة الأمد.

مع ذلك، وفي العام الماضي، حاول بيتر ويبستر P. Webster والعاملون معه في معهد جيورجيا للتقانة إجراء تحليل كهذا لسجلات عواصف قيمة عمرها 35 عاماً من جميع أحواض المحيطات. وأشاروا في تقريرهم إلى زيادة كبيرة في عدد العواصف الشديدة في معظم الأحواض مع كون أصغر نسبة زيادة، على نحوٍ ربما يثير الدهشة، تخص المحيط الأطلسي الشمالي. على أية حال، لقد تناقص عدد العواصف القليلة الشدة في جميع الأحواض باستثناء الأطلسي الشمالي خلال العقد الأخير. إن التواتر المتزايد للعواصف الشديدة يتزامن مع زيادة متوسطة في درجات حرارة السطح مقدارها  $0.5^{\circ}\text{C}$  بالنسبة لهذه الأحواض في الفترة نفسها.

في العام 2005 أشار كيري إيمانويل إلى أنه في الوقت الذي يشكّل فيه تواتر الأعاصير قضية علمية مهمة، فإنه لا يعتبر أفضل مقياس للتهديد الذي تطرحه مثل هذه العواصف. كما بين أن التلف الريحي الذي تسببه الأعاصير يتزايد وفقاً لمكعب سرعة الرياح، وبالتالي حدّد "قرينة تبدل القدرة" power dissipating index بمكاملة مكعب سرعة الرياح القصوى خلال مدة حياة العاصفة. وأظهر أن التذبذبات في هذه القرينة ترتبط بشكل جيد نوعاً ما مع متوسط درجات حرارة سطح البحر في شمال الأطلسي وشمال المحيط الهادئ - حيث يمتلك الحوضان بيانات هي الأكثر وثوقية حول شدات العواصف - موحياً بأن احترار المحيطات سيزيد من الأضرار المحتملة للأعاصير. وبالنظر إلى النمو السكاني في العديد من المناطق الشاطئية المعرضة للأعاصير، فإن ذلك يوحي بأن العواصف المدمرة، كإعصاري كاترينا وويلما، يمكن أن تصبح هي القاعدة في العقود القادمة.

ولكن بعض الباحثين، ومنهم كريس لاندسي C. Landsea من مركز الأعاصير الوطني في ميامي ووليم جراي W. Gray في جامعة كولورادو، أعربوا عن شكوكهم حول جودة البيانات المستخدمة في فحص العلاقة بين الاحترار العالمي وتواتر الأعاصير. والمشكلة هي أنه لا توجد في معظم المناطق التي تحدث فيها السيكلونات المدارية عملياً بيانات في الموضع من الناحية الفعلية، لذلك لا بد من استنتاج الشدات من صور السواتل. وقد تحسّنت الطرائق المتبعة في إجراء ذلك على مرّ السنين، ولكن معظمها يضم عنصراً مهماً ذاتياً غير موضوعي. وفي الواقع، يدّعي جراي عدم وجود زيادة مهمة في عدد الأعاصير الشديدة في كافة الأحواض باستثناء حوض الأطلسي على مدى العشرين سنة الماضية، بل حدث انخفاض طفيف لهذا العدد في شمال غرب المحيط الهادئ. ومثل هذه الخلافات تسلط

#### تعليق:

روجر سميت،

قسم الفيزياء، جامعة ميونينغ، ألمانيا.

- نشر هذا المقال في مجلة Physics World, June, 2006، وتمت ترجمته في هيئة الطاقة الذرية السورية.

# سرطان الثدي:

## أوهام التحري (أو الفحص المبكر)

### ملخص

يُعدُّ التحري المنظم لسرطان الثدي عند النساء اللواتي تتراوح أعمارهن ما بين 50 و 74 سنة عماد خطة مكافحة السرطان. ويتضمن هذا التحري عرض إجراء تصوير الثدي عليهن كل عامين. على أمل أن هذا التحري الواسع النطاق سيسمح بتخفيض معدل الوفاة بسرطان الثدي بنسبة تتراوح ما بين 25 وحتى 30%. لقد بين العديد من الاستطلاعات الوبائية خطأ هذا التنبؤ. فبالرغم من زيادة التحري في فرنسا، لم تنخفض الوفيات بسرطان الثدي إلا قليلاً منذ عشرين عاماً. ومن جهة أخرى، يلفت خبيران النظر إلى مساوئ هذه الخطة. ونشير إلى أن هذا التحري يؤدي إلى كشف ومعالجة أورام ثديية غير خطيرة على حياة المريضة. وتصادف هذه الإشكالية كذلك مسألة التحري عن سرطان البروستات أيضاً.

يمكن تحديد أورام متزايدة في الصغر (باللون الأخضر) لدى التصوير بالأشعة. ونسوء الخط، يستحيل حالياً التمييز بين ما يمكن أن يتطور إلى سرطان وتلك التي ستبقى مسألة (غير مؤذية).

### الكلمات المفتاحية:

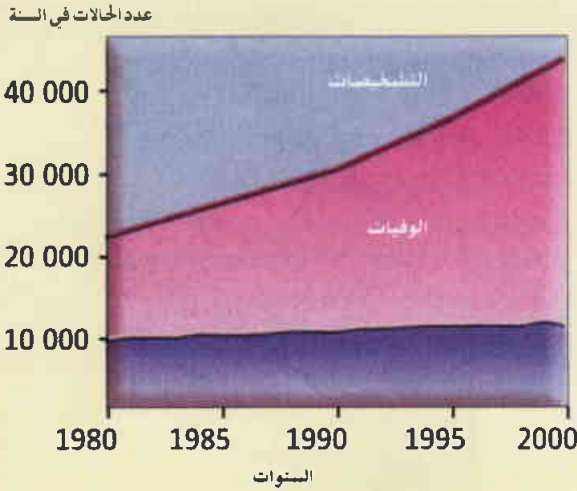
سرطان الثدي، استطلاعات وبائية، تصوير الثدي بالأشعة، أورام ثديية.

إلى برنامج تحري سرطان الثدي. "وُسِّلم الأسرة العلمية الدولية حالياً بأن التحري المنظم لسرطان الثدي هو مجرد معيار صحي مبرر من الناحية الطبية والاقتصادية. هذا ما يكتب إلى العاملين في الصحة، إلى جانب اعتبار اختبارات المقارنة العشوائية التي تبين أن هذا

سيسمح التحري المنظم عن سرطان الثدي بتخفيض نسبة الوفيات الناجمة عن هذا النوع من الأورام بقدر يتراوح ما بين 25 و 30% وتعارض ذلك عدة استطلاعات. ولا يتردد المعهد الوطني للسرطان (INCA) بدعوة النساء البالغة أعمارهن ما بين 50 و 74 سنة للانضمام

\* إن اختبار المقارنة العشوائية هو تجربة يتم فيها المرضى الذين جرى انتقاؤهم لمداخلة علاجية معينة إلى مجموعتين بشكل عشوائي؛ الأولى تخضع لنظام علاجي والثانية بدون علاج، مما يسمح بالحكم على فعالية المعالجة.

## الشكل 1: ويا، أم الجراحة في التشخيص؟



في فرنسا ومنذ عشرين عاماً، حدث انفجار في عدد الحالات الجديدة لسرطانات الثدي الشخصية كل عام، فارتفع العدد من 20000 في العام 1980 إلى ما يقارب 42000 في العام 2000. وعلى امتداد الفترة نفسها، بقي عدد حالات الوفاة بسرطان الثدي ثابتاً تقريباً، قد يعوّه هذا التباعد المتزايد بين عدد التشخيصات وعدد حالات الوفاة إلى تكثيف التحري.

وإذا عاد الإحصائي النرويجي زاهل إلى هذه الدراسة الأساسية فلأنه يعتبر نتائجها مخالفة للواقع. وليس فقط في السويد. ففي فرنسا، رغم تزايد التحري، لم يلحظ سوى تناقص ضئيل بوفاة سرطان الثدي منذ عشرين عاماً حسبما يشير برنار جونو B. Junod، وهو طبيب مختص بالوبائيات من مجموعة الدراسة الإحصائية والوبائية في جامعة رين Rennes. وإذا كانت تلك هي الحال، فإن هدف سياسة الصحة العامة هذه مفقود، هذا ما قاله مايكل بوم M. Boum، مختص الجراحة في جامعة كولج في لندن University College of London.

## مؤشران اثنان

ما هو الوضع حقيقة؟ هناك مؤشران اثنان يسمحان بتقدير تواتر سرطان الثدي. الأول هو عدد الوفيات السنوي. ففي فرنسا، تُوثق كل وفاة من قبل طبيب يدون سببها في شهادة الوفاة. ومنذ نهاية العام 1960، تُجمع هذه المعلومات وترمّز وتُنشر سنوياً. وبعد التصحيح الناجم عن استبعاد أثر الشيخوخة والتزايد السكاني، فقد وجد أن الوفيات بسرطان الثدي تناقصت بشكل ضئيل منذ العام 1993 [6]: "فقد بلغ عدد الوفيات بسرطان الثدي 29 امرأة لكل 100000 حالة وفاة في العام 1993، و27.4 لكل 100000 حالة وفاة في العام 2000 و26.5 في العام 2001 و2002"، وهو ما أوردته كاثرين هيل C. Hill، كمختصة بالوبائيات في معهد غوستاف روسي Gustave-Roussy في فيلجوييف Villejuif.

## يتم الكشف عن أورام ثديية لم تكن لتهدد حياة النساء.

التحري يسمح بتخفيض الوفاة الناجمة عن سرطان الثدي بمقدار 25 إلى 30% [1]. لقد أضفى هذا الرقم شرعية على ذلك التحري لدى فرنسا وإنكلترا والولايات المتحدة الأمريكية على مدى عشرين عاماً. ولكنه رقم خاطئ وفقاً لدراسة ظهرت في المجلة الأوربية للسرطان. لقد كانت مقولة مغرية حقاً! ففي العام 1985، نشر طبيب هنغاري ذائع الصيت مختص بالطب الشعاعي (لاسلو تابار L. Tabar) دراسة تقول بأن معدل الوفيات بسرطان الثدي أخفض بنسبة 30% لدى النساء الخاضعات للتحري منه لدى غير الخاضعات لذلك التحري. لقد أتبع تابار منهجية تقليدية لا تعدو المقارنة بين معدل الوفيات الناجمة عن سرطان الثدي عند مجموعتين من النساء السويديات: الأولى خضعت لتحري يخص هذا النوع من الورم، والثانية لم تخضع له. ونشير إلى أن المعطيات المستخدمة معروفة بمصداقيتها، إذ تخضع في السويد جميع ملفات السرطان للتوثيق في السجل الوطني منذ ما يفوق عن أربعين عاماً، ولذلك لم تكن نتائج تابار موضع شك، مما جعلها تغدو هدفاً للصحة العامة في فرنسا.

## نتائج مخالفة

غير أن الخبير الإحصائي بز-هنريك زاهل P. Zahl، من المعهد النرويجي للصحة العامة في أوسلو، يشكك اليوم في هذه الأرقام رغم أنها مشجعة [3]. فقد قارن زاهل الإحصاء الرسمي السويدي مع المعلومات التي استخدمها تابار الصادرة عن مراكز تحري سرطان الثدي. فكانت المفاجأة كبيرة. يؤكد زاهل "أن تابار أسقط عدداً كبيراً من المعطيات. ففي مقاله الأول، المنشور في نيسان/أبريل 1985، بدا أنه استجمع جميع المعطيات المسجلة حتى نهاية العام 1984. غير أن الإحصائيات الرسمية حول وفيات سرطان الثدي لم تكن متوافرة إلا في العام 1986. كما لم تنشر إحصائيات الإصابة بسرطان الثدي إلا في العام 1987!" وأكثر من ذلك، فقد لاحظ زاهل أنه في دراسة لاحقة [4]، قام تابار ببعض "التعديلات" في المعطيات الرسمية، إذ قلل من عدد وفيات سرطان الثدي في المجموعة التي خضعت للتحري. ومفاجأة الإحصائي هي أن "تابار قد عزا موت ثلاث عشرة امرأة بسرطان الثدي إلى سبب آخر". وعلى العكس من ذلك، ففي المجموعة غير الخاضعة للتحري، اعتبر تابار أن 23 امرأة توفيت بسرطان الثدي بينما حصلت الوفاة في الواقع بسبب أمراض أخرى [5]. وبالنتيجة، "إن هذه التلاعبات طالت قراية 10% من الإحصائيات ولعبت جميعها دوراً لصالح التحري".

كان الأمر واضحاً لزاهل: نتائج تابار

خاطئة. فإذا اقتصرنا على الإحصائيات الرسمية، كان من المحتمل أن يقارب تخفيض الوفاة بسرطان الثدي الناتج عن التحري الصفر. ويشكل ذلك ضربة قاسية لمناصري التحري المنظم. لم يشأ المعهد الوطني للسرطان إجابتنا.

## مقابلة: التحري المكثف آلة ذات دولا بجر



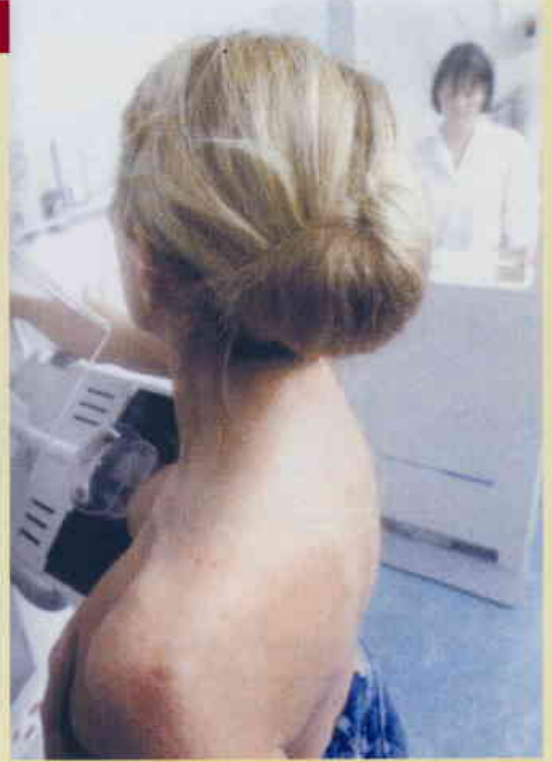
مايكل بوم هو أستاذ التشريح في جامعة كولج اللندنية.

### لأي سبب انسحبت من برنامج التحري البريطاني لسرطان الثدي؟

مايكل بوم، لأنه يدفع النساء إلى مسار ما كُنَّ ليخترنه لو تمَّ إعلامهن بشكل صحيح. إنه أمر لا أخلاقي. يتضح اليوم أن للتحري الشامل آثاراً سلبية. فزيادة عدد النساء الخاضعات للتحري يزداد احتمال خطر مواجهتهن لإنذار كاذب حول سرطان الثدي. وقد ثبت من جهة أخرى أن العديد من حالات سرطان الثدي هي نتيجة الإفراط في التشخيص ولا تحتاج للعلاج. ولكن عندما طالبت بضرورة إعلام النساء بذلك، هُجِّبَتْ: إذا قمتم بذلك سيتوقفن عن القدوم لإجراء التحري.

### هل يجب إذن إيقاف التحري عن سرطان الثدي؟

مايكل بوم: رغم توافر حجج علمية، يستحيل سياسياً إيقاف آلة التحري المنظم. ولهذا السبب، يجب على النساء التمكّن من إعطاء موافقتهن الواعية قبل إجراء التحري. ويجب أيضاً إيجاد طرائق للتمييز بين الكارسينومات اللابدة التي تحمل خطورة التطور إلى سرطان وتلك التي لا تشكل خطورة.



ضمن إطار التحري المنظم لسرطان الثدي، ومنذ العام 2004، كل امرأة يتراوح عمرها بين 50-74 عاماً مدعوّة للتصوير الشعاعي كل عامين. يتضمن هذا الفحص تصوير كل ثدي وفق زاويتين مختلفتين.

كبيراً. وهذا ما تبين في جميع الدول التي تطبق برنامج تحري عام. كيف يمكن شرح ذلك؟ الفرضية الأولى: نشهد منذ عشرين عاماً وباء سرطان الثدي. وإذا كان معدل الوفيات بهذا النمط الورمي لا يتزايد بشكل متناسب، فالسبب هو أن التحري المسبق والمعالجة أصبحت أكثر فعالية مع مرور الزمن.

الفرضية الثانية: يتزايد وجود السرطان بتزايد بحثنا عنه. ويقول برنار جونغو المتحمس لهذه الفرضية الثانية: لم يكن يوجد في فرنسا في العام 1980 سوى 308 أجهزة عاملة لتصوير الثدي؛ أما اليوم فقد بلغ عددها 2500 جهاز. ليس هناك إذاً أي وباء. بل أدى تكثيف التحري إلى زيادة عدد الحالات السرطانية. ويتم شفاء هذه الحالات الأخيرة بسهولة عبر تشخيصها المبكر وكونها على الأغلب من نمط معين. ولذلك، لا يُسبب كشف هذه الحالات زيادة في الوفيات.

وبالنسبة لأنصار هذه الفرضية، لا يُعدُّ التحري المنظم فعلاً لأنه يقود إلى كشف أورام في الثدي لم تكن قط تسبب خطراً على حياة النسوة فيما لو لم يخضعن للتحري. وبذلك تكون هذه الفرضية مثاراً للجدل ولكنها مدعّمة اليوم بما عرف من الدراسة السويدية.

والمؤشر الثاني الذي يسمح بقياس تواتر سرطان الثدي هو نسبة حدوثه، أي عدد الحالات الجديدة المشخصة خلال عام لدى مجموعة بشرية. ويقدره مختصو الوبائيات انطلاقاً من معطيات مدوّنة في الـ 21 سجلاً المتوفرين في محافظات فرنسا. وتؤكد كاثرين هيل: "يحتاج الأمر لاستقراءات جغرافية وزمنية. إذ تتبدل القيم الحاصلة عندئذ بشكل كبير حسب النموذج الرياضي المستخدم"، إضافة لذلك، فإن طرائق التشخيص وممارسات التحري وأنماط تجميع المعطيات قد تحسنت. مما يجعل تداول هذه المعطيات حساساً وصعباً.

وإذا أخذنا بالاعتبار أرقام الشبكة فرانسيم Francim، التي تدير سجلات المحافظات، نرى أن عدد حالات سرطان الثدي الجديدة المشخصة كل عام قد زاد عن الضعف خلال عشرين سنة، فقد ازداد من 20000 في العام 1980 إلى ما يقارب 42000 في العام 2000 [7] (الشكل 1). وبتصحيح معاملات التزايد السكاني فإن حدوث الحالات قد تضاعف بمعدل 1.6 بين العامين 1980 و2000.

وخلاصة القول: إن الوفيات بسرطان الثدي تتناقص بشكل ضئيل منذ بضع سنوات، في حين تزداد الحالات المشخصة ازدياداً

• من بين سجلات المحافظات البالغة 21 سجلاً، عشرة منها "عامة". تغطي السجلات 11 محافظة (8 ملايين مواطن، أي 13% من الشعب الفرنسي). والسجلات الـ 11 الأخرى مخصصة (9 لكل الأعضاء و2 لسرطانات الأطفال). تجمع هذه التسجيلات في إطار شبكة فرانسيم Francim وتقيم بشكل دوري من قبل Inserm وINVS وCNR.

## هل تجب معالجة جميع الأورام؟

ولكن يتساءل عدد كبير من الدراسات عن ضرورة معالجة الكارسينومات اللابدة هذه. فالدراسات الأولى ركزت على البحث عن سرطانات الثدي لدى النساء البالغة أعمارهن ما بين 40 و 50 عاماً واللواتي قُضين موتاً بحوادث مفاجئة وليس لهنّ علاقة معروفة مع هذا النمط الورمي. وهنا أبدى فحص الجثة وجود كارسينوما لابدة لدى أكثر من 30% من هذه النساء. إنها نسبة مفاجئة لأن خطر الإصابة بسرطان الثدي لدى هذه الفئة العمرية لا يزيد عن 1% فقط [8]. ونشير إلى أنه تمّ تسجيل ملاحظات مشابهة تتعلق بالبروستات والغدة الدرقية. ومن الناحية العملية، فقد تمّ كشف كارسينومات لابدة في الدرق لدى كافة الأفراد الذين تراوحت أعمارهم بين 50 و 70 عاماً، في حين لم تتجاوز نسبة السرطانات عند هذه المجموعة 0.1%.

### تعليل 1000 خزعة

كيف يمكن شرح هذا الفارق؟ يقول اختصاصي الوبائيات، برنار جونو، "إن المجموعة الخاضعة لفحص الجثة autopic ممثلة للناس عامة. ويتوقع بالتالي حدوث السرطانات وفقاً لرقم خطر الإصابة. ويشير الفارق مع الأرقام الناتجة من فحص الجثة إلى تشخيص فائض. ويشير هذا الفارق إلى أنه عندما نبحت مكثفاً عن السرطانات نكتشف الكثير منها. ولكن في الحقيقة إن جزءاً منها فقط يسبب مشكلة". وهكذا حللت دراسة أخرى أمريكية الآلاف من خزعات الثدي أجريت ما بين 1950 و 1960 [9]. وأنداك، لم يشخص الأطباء سرطان الثدي لدى المرضى، ولكن عند العودة لهذه الخزعات بعد ثلاثين عاماً تبين بوضوح أن هؤلاء النسوة كن بالفعل مصابات بكارسينوما لابدة. وتطور السرطان لدى 25% من هؤلاء النسوة خلال العشر سنوات التي تلت تاريخ أخذ الخزعة، و75% لم يحصل فيها أي تطور. ويفسر جيلبر ولش Gilbert Welch، الأستاذ في جامعة بارتموث، يُطلق على الكارسينوما اللابدة لدى النساء "مرض زائف pseudomaladie"، أي أنه سرطان لا يسبب أي أعراض، وذلك إما بسبب عدم تطور حجمه أو لأن تطوره بطيء لدرجة أنه لا يشكل خطراً على الحياة [10].

ليس سهلاً التشكيك بالتحري المنظم. ويلزم لافتراض ذلك التشكيك جرعة قوية من التعنت والتمرد والاتصاف بعداوة حقيقية للتقاليد. ويقول مايكل ريتسكي، وهو أستاذ الجراحة في كلية طب هارفارد: "يبدو من غير المنطقي التفكير بأن تحري سرطان الثدي يمكن أن يولد متاعب". ويرغم ذلك، هذا ما يقوله مجموعة من الباحثين والجراحين والمختصين في علم الأوبئة، مع العلم بأن هؤلاء ليسوا متخرجين من معاهد مغمورة تعمل على التشكيك بالمفاهيم القائمة، بل إنهم من لندن كولج أو جامعات هارفارد أو دارتموث أو رين. لقد دُهِش هؤلاء بمدى تزايد عدد حالات سرطان الثدي، الأمر الذي دفعهم إلى شجب تسارع آلية التحري وما تستجره هذه الآلية على النسوة من ضرر.

### تمييز السرطانات

لنكن واضحين، فتقانة التحري التي تقتضي أخذ صورتين شعاعيتين لكل ثدي، ليست خطيرة بحد ذاتها. لكن ما ينجم عنها هو المشكلة. يشرح مايكل بوم M. Boum، الجراح البريطاني المشهور الذي أسهم في وضع برنامج التحري في إنكلترا قبل أن يستقيل من منصبه: "أكثر ما يقلق هو أن التحري المنظم يُفضي إلى تشخيصات إضافية لسرطان الثدي". وبكلمات أخرى، يؤدي ذلك إلى معالجة أورام ثديية لم تكن لتشكل خطراً على حياة الشخص فيما لو لم يتم تحريها. ما هي أنماط السرطانات المقصودة هنا؟ إنها بشكل أساسي، الكارسينومات اللابدة carcinomas in situ (أو DCIS اختصاراً)، وهي أورام صغيرة تنشأ داخل القنويات الناقلة للحليب. وقد روى مايكل بوم أنه "قبل تطبيق التحري بالتصوير الشعاعي للثدي، لم تكن تُكشف هذه الأورام الصغيرة التي يصعب اكتشافها جسداً، في حين اليوم كشف عدد كبير من هذه الكارسينومات اللابدة". إنها فرصة. ألا يقال أن فرصة الشفاء تتناسب طرذاً مع صغر الأورام؟ ويقول هذا الجراح تحديداً: "يشترط أن تكون هناك حاجة لاستئصالها".

### دقة التشخيص

#### إفراط في التصوير الشعاعي للثدي لدى النساء الشابات.



يؤكد فحص عينة الغدة الثديية المشكوك فيها بواسطة الميكروسكوب وجود الخلايا السرطانية.

تقول إحصائية الوبائيات كاشرين هيل، أظهر استطلاع أجري في العام 2002 أن 90% من النساء أجريين التصوير الشعاعي للثدي في العامين السابقين لبلوغهن الخمسين عاماً. وأن 71% من النساء بين سن 40 و 49 عاماً و26% بين سن 30 و 39 عاماً خضعن للتحري. أرقام مقلقة لضالة "خطورة نشوء السرطان عندهن"، لاسيما أن احتمال إجراء التشخيص الصحيح عند امرأة فتية أضعف منه عند النساء الأكبر سناً. إذ إن النسيج الثديي يكون أكثر كثافة قبل سن اليأس menopause من بعده. وبالتالي، يكون الإنذار الإيجابي الخاطئ أو السلبي الخاطئ أكثر احتمالاً عند النساء غير المسنات. وبالمقابل، تتزايد دقة التشخيص مع تزايد العمر، ومثلها المدة التي يمكن خلالها تحري سرطان الثدي قبل تراقفه بأعراض [1].

## تحرراً فرادياً

هل نرمي بالتحريّ عرض الحائط؟ هل نوقف كل تحرراً بدون الذهاب إلى هذا الحدّ، يشكك العلميون بجدوى التحريّ كسياسة في مجال الصحة العامة، تهدف إلى كشف سرطان ناشط لدى امرأة عديمة الشكوى. بيد أنهم يشككون بأهمية التحريّ الفردي كاختيار يطلبه الطبيب حينما تتطلب حالة المرأة ذلك. فقد لا تكتشف الأورام مبكراً. ألا يُخشى عندها حدوث سرطانات أكثر صعوبة على العلاج؟ "هذا ما يدعّمه المنطق الدارج" حسب قول مايكل ريتسكي الذي يضيف قائلاً: "لكنني أخشى ألا تكون الحالة كذلك دائماً، فبعض الأورام الصغيرة تؤدي بحياة المريضة حتى لو خضعت للمعالجة، بينما يشفى بعضها الآخر (والأكبر حجماً) بشكل سريع". ويؤكد مايكل بوم: "إن السرطان تحدّ حيوي وليس تسلسلاً زمنياً. فنحن لن نحرز أي تقدّم في علوم السرطان طالما انحصرت تفكيرنا في مصطلحي "مبكر" و"متأخر"."



سرطان البروستات المكتشف خلال تصوير شعاعي للإحليل والمثانة.

### وماذا عن سرطان البروستات؟

مثل حال الثدي، ارتفع عدد سرطانات البروستات بشكل هائل منذ عشرين عاماً؛ فقد تزايد عدد الحالات الجديدة المشخصة إلى 40309 في العام 2000 مقابل 10856 فقط في العام 1980. ينحو عدد الوفيات بهذا السرطان إلى انخفاض قليل (26/100000) في العام 2000 مقابل 28.3/100000 في العام (1980). هنا أيضاً، يعود الارتفاع في التشخيصات إلى تكثيف التحريّ. يزداد تواتر معايرة المضاد الجيني البروستاتي الخاص (APS) *antigene prostatique specifique* مع مرور الزمن. في حين أظهرت دراسة في الولايات المتحدة أن ارتفاعاً غير طبيعي في الـ APS لا يدل بالضرورة على سرطان؛ يمكن لنسبة التشخيص الإيجابي الخاطئ أن تزيد عن 10%.

### لمعرفة المزيد:

جلبرت ولش، هل يجب على إجراء اختبار السرطان؟  
Les Presses de L'universite de Laval, 2005.

- 1- رغم زيادة التحري في فرنسا، لم تنخفض وفيات سرطان الثدي إلا قليلاً منذ عشرين عاماً.
- 2- من جهة أخرى، بلغت خبيران النظر إلى مساوي هذه الخطة.

### المؤلف:

- صوفي كوازن وفايان لومارشان: وهما صحفیان علمیان.

- نشر هذا المقال في مجلة *La Recherche*, No 395, Mars 2006، وتمت ترجمته في هيئة الطاقة الذرية السورية.

### REFERENCES

- [1] [www.e-cancer.fr/medias/4pages de pistagese in2710.pdf](http://www.e-cancer.fr/medias/4pages_de_pistagese_in2710.pdf)
- [2] L. Tabar et al., The Lancet, 1, 829, 1985.
- [3] P.-H. Zahl, European Journal of Cancer, a paraitre en 2006.
- [4] L. Tabar et al., Radiol. Clin. 38, 625, 2000.
- [5] L. Nystrom et al., The Lancet, 359, 909, 2002.
- [6] C. Hill et F. Doyon, Bull. Canc., sous press, 2006.
- [7] L. Remontet et al., Rev. Epidemiol., Sante Publique, 51, 3, 2003.
- [8] J. Folkman et R. Kalluri, Nature, 427, 787, 2004.
- [9] D.L Page et al., Cancer, 76, 1187, 1995.
- [10] H. G Welch, European Journal of Cancer, 41, 660, 2005.

### المراجع



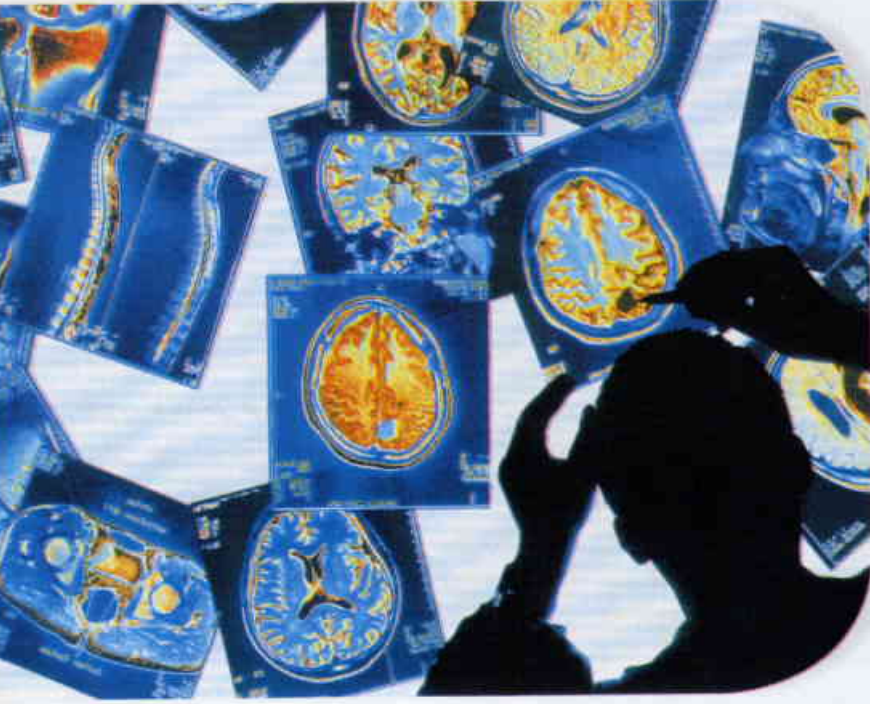
تجرى خزعة عندما يوحي التصوير الشعاعي للثدي بوجود ورم. تتضمن الخزعة استخراج عدة عينات من المنطقة الثديية المعينة ليفحصها أخصائي التشريح المرضي.



# تحريك التجاوب المغنطيسي

## ملخص

يتطلب التجاوب المغنطيسي من الناحية التقليدية مغناط كبيرة تجمّد التقانة في مكانها وتجعلها باهظة الثمن. وهنا، يصف بويد غودسن B. Goodson كيف تسعى الجهود إلى تطوير نبائط تقانة لتصوير القوية هذه.



## النفقالية في البال

يمكن أن يؤخذ التصوير التجاوبي المغنطيسي MRI ذات يوم إلى المريض بدلاً من ذهاب المريض إلى

## الكلمات المفتاحية:

مطيافية التجاوب المغنطيسي، التجاوب المغنطيسي النووي، السكويديات، القياس المغنطيسي الصوتي، هندسيات علم القياس الآلاتي

يسبروا probe ديناميكية البروتينات ولعلماء المواد أن يستحصلوا على معلومات بنيوية عن مواد عيانية المقياس وناوية المقياس، ولكن أشهر تطبيقات التجاوب المغنطيسي النووي هو التصوير الطبي. فمذ الثمانينيات من القرن المنصرم قدّم التصوير بالتجاوب المغنطيسي MRI طريقة غير جارحة لمشاهدة التلف والمرض في النسيج البشري بدون استخدام أي تشعيع مؤيّن. وقد مكّن ضرب حديث منه (وهو التصوير بالتجاوب المغنطيسي الوظيفي) الباحثين من رسم خريطة لمناطق الدماغ المعنية ببعض المهام البدنية والعقلية.

ولكن مطيافية التجاوب المغنطيسي النووي، مع كل حسناتها، تعاني عدداً من القيود لا مفر منها على ما يبدو. إذ إن اعتمادها على الحقول المغنطيسية، مثلاً، يجعل المعدّات غالية وصعبة الصيانة وحتى خطرة إلى حد ما. وعلاوة على ذلك، يقيد حجم المغناط حركية

تنساق التقانة، ابتداءً من الـ iPods وانتهاءً بالمسابر الفضائية، وراء شعار "الأصغر والأسرع والأرخص". ولكن في عقود السنين القليلة الماضية اتبعت مطيافية التجاوب المغنطيسي النووي (NMR)، التي تمثل إحدى أهم التقانات المعروفة في الفيزياء، مبدأً آخر مختلفاً يتلخص في شعار "الأكبر هو الأفضل". ولغرض اكتشاف العزوم المغنطيسية للنوى البالغة الصغر، فإن المغناط في نبائط التجاوب المغنطيسي المستحدثة قد يصل وزنها بضعة أطنان وتكلف ملايين الدولارات لإنشاء وصيانة. وهذا ما يقيد بشكل شديد تطبيقات التجاوب المغنطيسي النووي، إذ لا بد من جلب العينة إلى الآلة على الدوام.

تعدّ مطيافية التجاوب المغنطيسي النووي NMR spectroscopy أداة حيوية في العلوم الفيزيائية. إذ إنها تسمح للكيميائيين أن يدرسوا التفاعلات بتفصيل ممتاز وتتيح للمختصين في الكيمياء الحيوية أن

spin تستطيع أن تقدّم مثل إشارة التجاوب المغنطيسي النووي هذه، مع أن المقيس الأكثر شيوعاً بينها هو النوى الهيدروجينية بسبب انتشارها السائد في الماء والمواد العضوية.

إن ما يجعل نبائط التجاوب المغنطيسي النووي كبيرة الحجم هو قوة الحقل المغنطيسي الضعيفة جداً المصاحبة للسبينات النووية. ويحسّن مغنطيس كبير ما هذه الإشارة بشكل هائل، كما يتيح لهذه التقنية تمييز تجاوبات نوى مختلفة عن طريق انزياحها الكيميائي. ولكن المغناط يجب أن تكون كذلك ذات نوعية راقية جداً كي تضمن ثبات قوة الحقل ضمن حدود أجزاء قليلة من البليون عبر العينة، الأمر الذي يعدّ إنجازاً فذاً لا يمكن تحقيقه إلا باستخدام مغناط ذات ناقلية فائقة كبيرة يجري تبريدها إلى بضع درجات فوق الصفر المطلق. وقد أفضت هذه القيود إلى جهود متنامية تهدف إلى تطوير طرق بديلة لأداء التجاوب المغنطيسي النووي والتصوير بالتجاوب المغنطيسي ذات درجات متزايدة من النجاح.

**لقد كانت "الفأرة" في التجاوب المغنطيسي النووي، التي أوجدها** (بيرنهارد بلوميش B. Blumich) ومعاونوه في جامعة إينخ للتقانة في ألمانيا في أواخر تسعينيات القرن المنصرم، خطوة رئيسة باتجاه تجاوب مغنطيسي نووي نقال. وتضم هذه الفأرة بالدرجة الأولى مغناط صغيرة مستديمة ذات عرض لا يتعدى بضعة سنتيمترات لتوليد حقل يقارب (0.1 T) ووشية راديوية التواتر مسطحة نوعاً ما. وتتيح هذه الفأرة إنجاز تحاليل NMR بشكل بسيط عن طريق مسكّ النيطة فوق سطح العينة. وهذا يناقض الماسحات NMR scanner التقليدية أو ماسحات التصوير بالتجاوب المغنطيسي MRI التي يوضع فيها المريض أو العينة داخل مركز مغنطيس أسطواناني كبير، حيث يكون الحقل المغنطيسي على أشده وبأفضل نوعية. ولكن إجمالي عدم التجانس في الحقول المغنطيسية الناجم عن الفأرة يطمس blurs إشارات NMR الآتية من الأصناف والمواقع المختلفة داخل العينة ويجعلها تظهر متجمعة كذروة عريضة واحدة في الطيف (الشكل 1).

وفي السنة الماضية ضم فريق جامعة إينخ جهوده إلى جهود أليكس باينز وجيف ريمير ومعاونيهما في جامعة كاليفورنيا في بركلي للالتفاف على هذه المشكلة. وعلى غرار مبدأ فأرة NMR من حيث المبدأ، تتألف نيطة (إينخ-بركلي) من مغناط مستديمة من (النيوديميوم والحديد والبورون) ذات وشية دقيقة التشكيل موضوعة، في مركز المغناط (الشكل 2). وكما في حالة NMR التقليدية، فإن الوشية تُستخدم لغرض توليد نبضات RF التجاوبية اللازمة لثذف السبينات النووية خارج التوازن وكذلك للكشف عن استجابتها للتجاوب المغنطيسي النووي. ولكن هنا، جرى تصميم الوشية بشكل خاص لغرض خلق نبضات RF غير متجانسة حيزياً spatially تضاهي الحقول المغنطيسية المشوهة في منطقة العينة.

نبائط التجاوب المغنطيسي النووي. وهذا يناقض معظم تقانات التصوير والمطيافية الأخرى التي استقادت من اتجاهات الثمنمة في المنابع الضوئية والمكاشيف بغية تقديم نبائط قليلة الثمن يستطيع العلماء حملها معهم إلى الميدان.

وفي كل الأحوال، يتحتم الفيزيائيون والكيميائيون والمهندسون الآن لقلب مبدأ ثبات التجاوب المغنطيسي النووي وحجمه بشكل جازم. ويهدفون بتغييرهم طريقة إنجاز هذه التقانة جذرياً إلى جعل التجاوب المغنطيسي النووي قابلاً للنقل وأشد حساسية وإلى إتاحة تطبيق هذه التقانة في مسائل لا تنفذ إليها الآن.

## تجاوب مغنطيسي نووي نقال

يستثمر التجاوب المغنطيسي النووي الاندفاع الزاوي الذاتي أو سبين النواة الذي يجعله يعمل كقضيب مغنطيسي بالغ الصغر. وحينما توضع عينة من مادة ما في حقل مغنطيسي خارجي، تحاول النوى أن تصطف وفق الحقل على غرار توجّه إبرة البوصلة وفق اتجاه الحقل المغنطيسي للأرض. يمنع الارتياح الكومومي هذا الاضطفاف من أن يكون كاملاً، لذا فإن النوى من الناحية العملية تبادر (تعتدل) أو تتأرجح wobble حول اتجاه الحقل مثل جيروسكوب خارج الانتظام off-kilter gyroscope. وبشكل حاسم، يتحدّد تواتر هذه المبادرة (الاعتدال) أو الانزياح الكيميائي chemical shift لنواة معينة عن طريق بيتنها الجزيئية.

إن العزوم المغنطيسية للنوى فرادي هي أصغر من أن يتم اكتشافها فردياً، الأمر الذي يبعث الناحية التجاوبية لمطيافية التجاوب المغنطيسي النووي. فعن طريق إرسال نبضة راديوية التواتر radio-frequency ذات تواتر معين عبر عينة ما بواسطة وشية معدنية، يجري طرد بعض النوى إلى خارج الاضطفاف ثم تبادر هذه النوى بشكل منسق أثناء محاولتها الرجوع إلى توجّهها الأصلي، وتخلق بعضها مع بعض مغنطة جرمية bluk magnetization تثير تياراً كهربائياً مهترّاً في الوشية. ونشير إلى أن كل نواة تملك سبيناً

## نظرة خلاصة: NMR نقال

- يستثمر التجاوب المغنطيسي النووي (NMR) سبينات نوى مثل الهيدروجين ليقدّم أداة مطيافية وتقنية تصوير طبية غير مؤذية (NMR)
- تتطلب نبائط الـ NMR التقليدية مغناط كبيرة للكشف عن عزوم المغناط الزهيدة للنوى، الأمر الذي يجعل هذه الأجهزة باهظة الثمن وغير متحركة الموقع.
- يعمل الباحثون على إيجاد مقاربات جذرية في الـ NMR لجعله أكثر قابلية للانتقال بحيث يسمح للعلماء أن يحملوه إلى الميدان ويبرد من إمكانية وصول المريض إليه بقصد التصوير بالتجاوب المغنطيسي (NMR).
- تمثل إحدى طرق زيادة حركية الـ NMR في استخدام حقول مغنطيسية أضعف أو استعارة المغنطيسية من إلكترونيات مجاورة في العينة.
- وهناك مقاربات أخرى تتضمن المكاشيف السكويديّة SOVID والقياس المغنطيسي الضوئي، والـ NMR المكتشف بالقوة، وأجهزة الكشف عن بعد التي تؤكد المعلومات النووية للعينة في مادة أخرى أو تنقلها إلى المكشاف عبر أنبوب.

يعود كبر حجم نبائط  
ال NMR إلى العزوم  
المغنطيسية الضعيفة  
جداً للنوى.

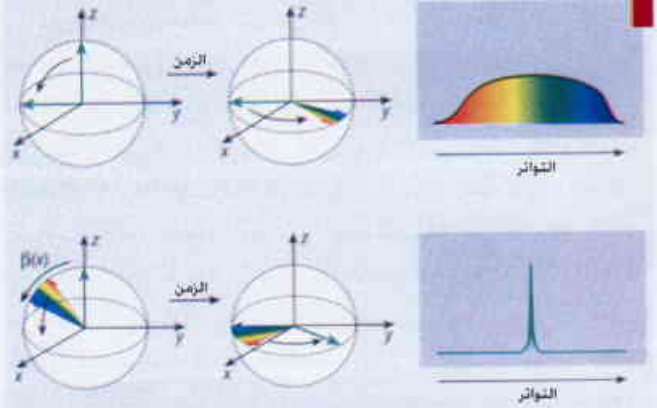
## مطياف NMR بدون المغنطيس

تُعدُّ المغناط في مقارنة الفأرة mouse approach لتحريك مطيافية التجاوب المغنطيسي النووي ضعيفة بمقارنتها مع مغناط النبائط التقليدية، ولكنها مع ذلك تبقى أقوى بعدة مراتب من الحقل المغنطيسي للأرض (البالغ حوالي 50  $\mu T$ ). فهل هناك طريقة ما لتخفيض الحقل إلى حدٍّ أخير يُزال فيه المغنطيس كلياً مع الاحتفاظ بتوليد مغنطة نووية كافية لإعطاء إشارة قابلة للكشف؟ لقد جرى مؤخراً تطوير عدة تقانات لحل هذه المشكلة التي تبدو متناقضة.

تتمثل إحدى المقاربات بالمغنطة المسبقة pre-magnetizing للنوى عن طريق تعريض العينة أولاً إلى مغنطيس دائم قوي ثم تحريكه إلى مكشاف NMR بسيط ذي حقل مغنطيسي منخفض. فبينما تكون المغنطة النووية المتولدة بهذه الطريقة صغيرة نوعاً ما، فإنها تفوق كثيراً القيم المهمة التي يستحصل عليها نمطياً في الحقل الأرضي. ولكن أظهر ستيفان أيلت وبلوميش ومساعدوهما في فريق إيخن أن مثل هذه المقاربة يمكن أن تستثمر الانتظام الحيزي spatial uniformity الفائق السمو للحقل المغنطيسي الأرضي لغرض الحصول على أطراف ضعيفة، لكنها ذات مميزات راقية بشكل استثنائي من محاليل مختلفة باستخدام نبائط نقالة بسيطة.

هناك طريقة أخرى لإنجاز NMR بدون مغنطيس تتمثل في توليد مغنطة نووية أكبر بكثير عن طريق الاستعارة من العزوم المغنطيسية للإلكترونات المجاورة في العينة التي تفوق بمقدار 1000 مرة عددها في النوى. وفي الواقع، فقد استخدمت هذه المقاربة بضع سنوات لغرض تحسين حساسية التجاوب المغنطيسي النووي. وتعمل هذه المقاربة بشكل جيد نمطياً عند القوى العالية للحقل المغنطيسي وعند درجات الحرارة الفائقة الانخفاض،

## المطيافية التجاوبية المغنطيسية النووية NMR الثابتة الموقع السابقة



يمكن استخدام NMR لتحديد هوية التركيب الكيميائي لعينة ما عن طريق استكشاف طريقة صابرة procession العزوم المغنطيسية أو سبببات نوى معينة بوجود حقل مغنطيسي. فكلما كان الحقل أكثر تجانساً كان تحديد الهوية أكثر دقة. وفي حقل مغنطيسي ما كغير اللاقيانس non-uniform (يفترض أن يكون موازياً للمحور Z) كالتي تولده نبائط فلرة NMR (mouse NMR)، تبارد السبببات في المناطق المختلفة من العينة عند تواترات مختلفة حالما تتحرك المغنطة النووية في المستوى x-y بواسطة نبضة تواتر راديوي (في الأعلى). ولذلك تنتشر المغنطة الغالبة للكشف (المعلقة بتجهيزات فلرة rotating vectors ملونة بالأحمر حتى البنفسجي للدلالة على النهايات البطيئة والسريعة لتواتر البعارة) بسرعة كبيرة وتعطي طيفاً رتيبة وعريضة. وفي مقارنة (Berkeley-Aachen ex situ) على أنه حال تحرك المغنطة مسندة عن المحور Z إلى داخل المستوى x-y باستخدام حقل تواتر راديوي غير متجانسة. وتطبيق نبضات متكررة في أزمان مختلفة وبتوازي الحراف (flipping angles  $\beta$ ) يعاد تبديل المغنطة ليتم حطوطاً طليقة صينة.

وعن طريق التحكم التام بتوقيت النبضات يمكن جعل الحقل RF غير المتجانس يلغي معظم التوسيع الطيفي الذي تسببه المغناط الدائمة، معززاً بذلك الانتقالات المنشودة للسبببات النووية في مختلف أجزاء العينة.

ونظراً إلى أن النموذج الأصلي للنبيلة (إيخن-بركلي) يزن حوالي 27 كيلوغراماً وهو ذو سطح قاعدة أبعاده  $28 \times 26$  سنتمتر مربعاً فقد جرى تشبيهه "بفأرة NMR" mouse NMR، واعتباره كبير القد. وعلاوة على ذلك، فإنه يجب ربط هذه النبيلة المغنطيسية عبر أسلاك إلى لوحة مطياف كبير يستوعب الدارة RF والمضخمات وحواسيب معالجة البيانات. ومع ذلك، فإن هذا النموذج الأصلي هو أصغر حجماً بعدة مراتب من المغناط NMR التقليدية وأرخص ثمناً وأبسط منها. وسرعان ما قد يتيح مزيد من العمل في هذا الصدد توليفة معدّات كاملة يمكن وضعها داخل حقيبة. أما التحدي الذي يواجهنا الآن فإنه يتمثل في تحسين الميز الطيفي spectral resolution. ففي حين أثبتت هذه النبيلة قدرتها على التمييز بين تجاوبات الفلور في جزيئات عضوية متفلورة مختلفة، فإن تحديد النكليد الهيدروجيني الشمولي يتطلب تحسيناً يبلغ عشرة أضعاف في الميز الطيفي.



### صفحة رابعة

يتميز NMR تصوير الجسم بشكل غير ضار ولكنه لن يكون رخيص الثمن.

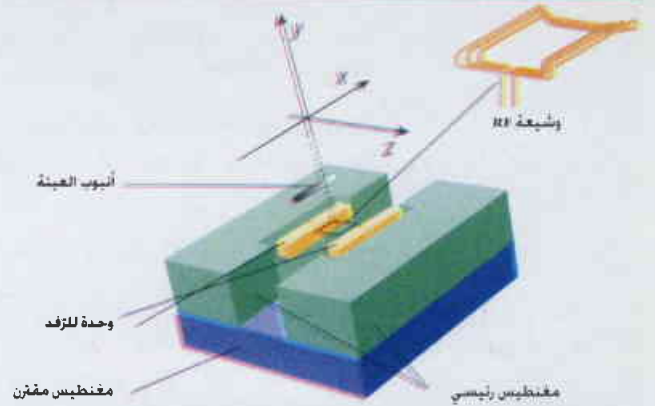
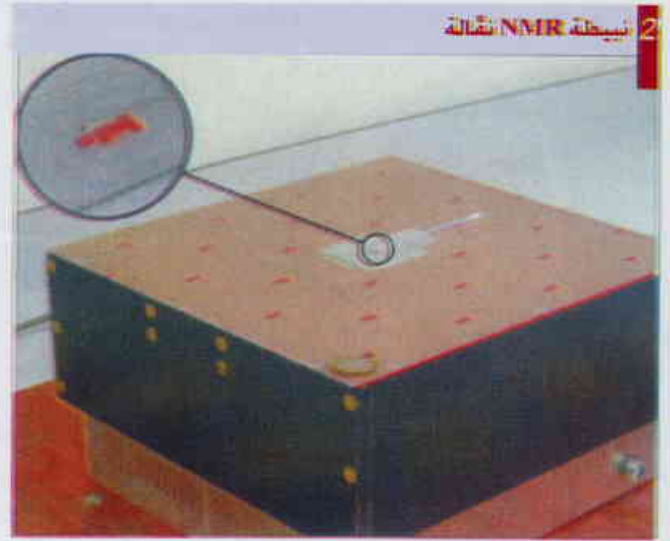
لقد استخدم جينيفيف تاستيفن G. Tastevin، والعاملون معه في دار المعلمين العليا بباريس مؤخراً هيليوماً مفرط الاستقطاب لغرض الحصول على صور عالية الميزر لرتتي إنسان في حقل معتدل من (0.1 T) واستطاعوا إنجاز قياسات مطيافية تمهيدية في حقول لا تعدو (3 mT). أما روس ماير R. Mair ومعاونوه في مركز هارفرد سميثونيان للفيزياء الفلكية وجامعة نيوهامبشير فقد استخدموا هيليوماً مفرط الاستقطاب لغرض تصوير الرتتين باستخدام حقول تنخفض حتى (3.8 mT). ويستخدم جهاز الـ MRI ذو الصناعة المحلية الخاص بهم زوجين من الوشائع الكهرومغناطيسية الكبيرة لغرض توليد حقل مغناطيسي ذي (3-7 mT). وحالما يوضع المريض في مركز هذا الجهاز يستنشق الهيليوم المفرط الاستقطاب عن طريق أنبوب، ومن ثم يجري اكتشاف إشارات NMR من الهيليوم بشكل تقليدي باستخدام وشيعة التقاط تشبه برمياً صغيراً موضوعاً حول صدر المريض.

وعلى ارتفاع مترين وإحاطته بألواح من الفولاذ لحماية الجهاز من تداخل التواتر الراديوي RF يكون جهاز التصوير بنبیطة منضدية Tabletop ما أمكن (الشكل 3). ومع ذلك، يُعد هذا الجهاز تحسیناً ملحوظاً يتميز على منظومات MRI التقليدية ذات الحقل المرتفع ويستطيع أن يضع NMR في متناول أولئك الموجودين في المواقع الجغرافية النائية. وكذلك يسمح تصميمه السهل التداول بتصوير المرضى باتجاهات مختلفة ويتيح التصوير بالتجاوب المغناطيسي MRI للناس الذين يعانون من أوجاع حادة معينة أو من رهاب الأماكن المغلقة وللناس الذين يحملون طعوماً (غرسات) implants في أجسامهم.

### NMR مكشفت بالسكويدات

يعمل نهجا المغنطة المسبقة وفراط الاستقطاب على جعل التجاوب المغناطيسي النووي NMR أكثر صغراً وحراكاً عبر تحسين قوة منابع الإشارة في الحقول المغناطيسية المنخفضة. ولكن توجد مقاربة أخرى للتجاوب المغناطيسي النووي المنخفض الحقل تتمثل في تغيير طريقة اكتشاف الإشارات، وخاصة باستخدام نبائط تداخل كمومية فائقة الناقلية Superconducting quantum interference devices (أو السكويدات SQUIDS اختصاراً). إنها مكونات كهربائية صغيرة تتألف من عروة loop من مادة فائقة الناقلية يعترضها انقطاعان عازلان صغيران يدعيان باسم وصّلتي جوزيفسون. أمّا الطريق الذي تمر عبره الإلكترونات داخل الوصلتين، فإنه يعتمد على قوة التدفق المغناطيسي المار عبر العروة، حيث إن أي تغيير طفيف في التدفق، الذي تخلقه على سبيل المثال استجابة NMR من عينة ما قريبة، إنما يسبب اختلافاً قابلاً للقياس في التيار الجاري في العروة.

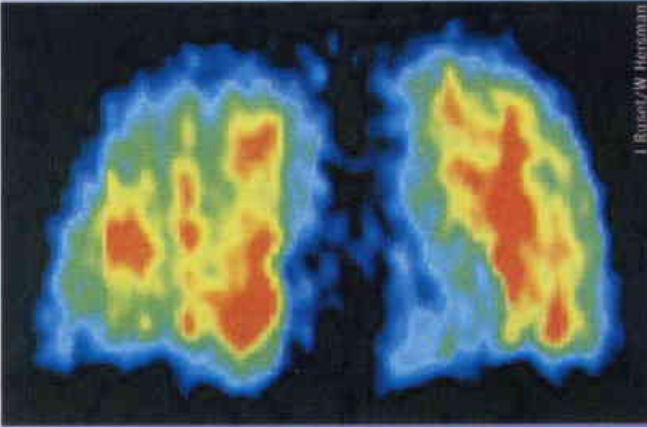
لما كانت السكويدات تقيس التدفق المغناطيسي بشكل مباشر، فإن حساسيتها تكون مستقلة عن تواتر الإشارة. وهذا يجعلها مثالية للكشف عن إشارات NMR الضعيفة في الحقول المغناطيسية الخفيفة



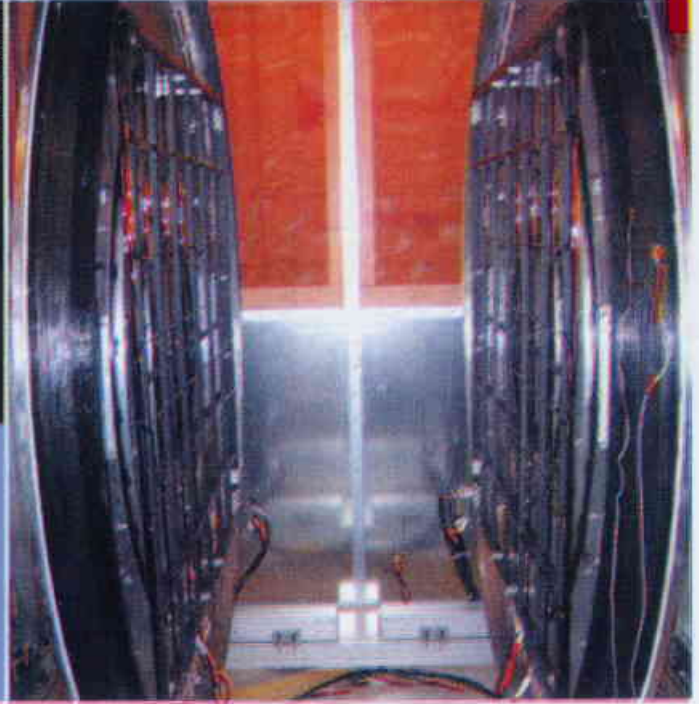
صورة جهاز NMR النقال والمغناطيس الهلليوم. مع قطعة تنوع معدنية بنبیطة بروت واحد موضوعاً على سطحه في بعض فكرة عن القياس (في الكسرة). أمّا التصوير القادرة داخل الشكل فإنها توضح منطقة المغنطة ويمكن استخدام هذه البنبیطة التي تتألف من سلسلة من القاطعة الدائمة وعن وشيعة تواتر راديوي (في الأشرطة) من أجل عمليات NMR بنبیطة في الميدان.

حيث استطاع توليد مغنطة سببينة إلكترونية ومن ثم نقلها إلى النوى بشكل أكثر فعالية.

ومؤخراً جرى تطوير مقاربة ذات صلة في هذا الصدد تدعى فراط الاستقطاب hyperpolarized. ويستخدم فيها ليزر يولد مستويات عالية من استقطاب إلكتروني غير متوازن يمكن إشراكه مع النوى، الأمر الذي يقوي إشارات NMR بقدر يصل إلى خمس مراتب في القيمة. ولسوء الحظ، لا يصلح فراط الاستقطاب عملياً إلا على مجموعة عالية النخبة من مواد تتضمن مواد نصف ناقلة معينة وغازات نبيلة فعالة في التجاوب المغناطيسي النووي مثل الهليوم-3 والكزينون-129. ولقد ولدت الغازات المفرطة الاستقطاب كثيراً من الإثارة فيما يخص فاعليتها لصالح تطبيقات التجاوب المغناطيسي النووي ذات الحقل الخفيض، وبخاصة لكونها خاملة من الناحية الكيميائية وأمنة من الناحية البيولوجية.



إن إحدى طرق زيادة إمكانية استخدام الـ NMR وحجمه بدلاً مما تمثل في التحليل من المغنطيس، كما والاستفادة منه مغنطيسية من الإلكترونيات المصورة في العتيد فالباحثون في جامعة تيو معيشير ومركز الفيزياء، الملكية المتابع لركز هرتزه-سميتسواين استخدموا موجرا الهيدروجين القوية الاستقطاب في تصوير زلات بطرية في حقل مغنطيسي 3.3 T في الأملرا، وجعل التصوير الكائن إلى العتيد هو منظور شبكة MRI وشبكة الحد من الجهد الثاني الوعده التي ينش على أيدي باحثي هارفرد-سميتسواين وويل، الهولندي والشيفت المستخدمة لتوليد الصورة.



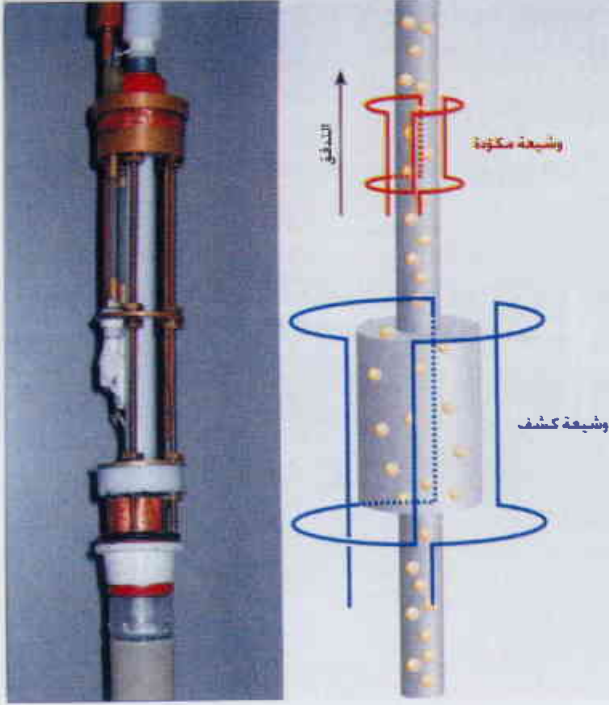
عن السوائل في حقل من رتبة الميكروتسلا. وقد استحضرت الباحثون بادئ ذي بدء كزينونا سائلياً مغرط الاستقطاب ثم مزجوه مع مذيبات عضوية شائعة مثل الميثانول. وبما أن سبينات الكزينون النووية عالية الاستقطاب إلى هذا الحد، فإن مجرد وجودها في المزيج السائلي يُجبر سبينات الهيدروجين في الجزيئات العضوية على الانحراف عن التوازن. وهذا التحوّل في المغنطة يولد أطراف تجاوب مغنطيسي نووي NMR يفوق سطوعها بمقدار مليون مرّة سطوع الأطراف المستحصل عليها بدون منبع مغنطة كزينوني. وعلاوة على ذلك، سوف تتحسن هذه الحساسية إلى حد كبير بوجود سكويدات أكثر حساسية واستقطاب كزينوني مغرط أحسن حالاً.

إن عيب التجاوب المغنطيسي النووي المبني على مبدأ السكويدات هو أنه حسّاس جداً لتداخل التواتر الراديوي (RF)، مما يعني أن الجهاز بحاجة إلى إحاطته بدروع كهربيسية كبيرة الحجم. ومع ذلك، فإن الخطوط الطيفية الضيقة بشكل استثنائي، والحاصلة عبر أداء NMR و MRI في مثل هذه الحقول الخفيفة تعتبر مشجّعة للغاية فيما يخص تطوير نبائط NMR نقالة منخفضة التكاليف. وعلاوة على ما تقدم، فإن الحقول ذات التواتر المنخفض الداخلة في مناولة واستكشاف السبينات النووية تستطيع الاختراق بسهولة أكبر داخل المواد المعدنية والأيونية. وتسمح هذه الخاصية لإشارات الـ NMR بأن يستحصل عليها من عينات في داخل حاويات معدنية مع تطبيقات ممكنة في علوم الأغذية وفي الاستقصاء الأمني في المطارات.

جداً. أما العيب فيها فيتمثل في أن السكويدات يجب تبريدها إلى درجات حرارة شديدة البرودة (قرية) كي تصبح خواصها الفائقة الناقلية فاعلة، الأمر الذي يحد من تطبيقات الـ NMR الممكنة مادام يجب تبريد العينات كذلك. ولكن طوّروا عدد من المجموعات البحثية مؤخراً مكاشيف معزولة مبنية على مبدأ السكويدة وتسمح بدراسة العينات في حقل منخفض ولكن بالشروط المحيطة.

فعلى سبيل المثال، استخدم الفيزيائيان جون كلارك J. Clarke وبابنز Pines ومعاونوهما في بركلي خلال العام 2002 غاز الكزينون المغرط الاستقطاب لغرض تحسين إشارة الـ MRI الصادرة عن عينة حلالة هلامية عالية المسامية highly porous aerogel في حقل 2.3 mT باستخدام سكويدة مصنوعة من مواد فائقة الناقلية عند درجة الحرارة العالية. وفي العام 2004 استخدم فريق بركلي هذا سكويدة معزولة حرارياً ومبنيّة على نواقل فائقة تقليدية لغرض تصوير توزع الماء في نبات الفلفل مبيئاً فعالية هذه السكويدة من أجل التصوير التجاوبي المغنطيسي MRI ذي الحقل الخفيض جداً، وبشكل مستقل، استخدم ميشيل إسببي M. Espy ومعاونوه مؤخراً في المختبر الوطني في لوس ألاموس سكويدات لإنجاز تجاوب مغنطيسي نووي بحقل من رتبة الميكروتسلا على دماغ الإنسان أثناء استكشاف أنماط أخرى من الإشارات المغنطيسية، وهو إنجاز يمكن أن يتيح تصوير النسيج الدماغي والنشاط العصبي في آن معا وبمَيَز resolution عالٍ.

وحديثاً، استخدم الفيزيائي ميشيل روماليس M. Romalis ومعاونوه (في جامعة برنستون) السكويدات لتحسين إشارات الـ NMR الصادرة



في مخطط NMR مكتشف عن بعد، تمّ تطويره على أيدي باحثين في بركلي، يجري توكيد معلومات عن بنية أو تركيب عيّنة ما على نوى مادة أخرى تعمل كسائل محساس sensor fluid ثمّ نُقل هذه المعلومات المغناطيسية إلى المكشاف عبر أنبوب. وفي هذا الشكل توضع عيّنة لصخر مسامي البنية (الأسطوانة المظلمة في الشكل التخطيطي، إلى اليسار) داخل الحجم الفعال للوشبكة المكثفة. ويجري توكيد المعلومات (المستندة إلى الحيز) على المغنطة النووية للسائل الحساس المتدفق (الكربون المفرط الاستقطاب، الكرات الصفراء) وتقاس بدلالة الزمن مادامت تصل أجزاء مختلفة من السائل إلى وشبكة الكشاف. ويمكن الحصول على معلومات مقابلة عن بنية العيّنة السامية بملاحظة كيفية ارجحال السائل الحساس عبر المناطق المختلفة من العيّنة فيما يسمى تجرّبة NMR زمن الطيران (في الأعلى) التي يقارن فيها الزمن الذي يستغرقه جزء من السائل الحساس في الوصول إلى المكشاف مع الموقع الذي تولّد فيه السائل الحساس داخل العيّنة.

من أجل اكتشاف الـ NMR الصادر عن ماء مسبق الاستقطاب من مبيّنين بذلك الصلاحية العملية لهذه التقنية فيما يخصّ التصوير بالتجاوب المغناطيسي الحيوي الطبي biomedical MRI.

وفي الوقت الذي لا بد فيه من حلّ عددٍ من التحديات الهندسية الأخرى قبل أن يستطاع تحقيق حلم التصوير بالتجاوب المغناطيسي الضوئي الخفيف الحقل بشكل عملي، فإنّ المقاييس المغناطيسية الضوئية تقدم بحق عدداً من الميزات الترخيبيّة. فكما هي الحال مع المقاييس المغناطيسية السكويديّة، لا تستخدم هنا وشبكة تحريضية من أجل اكتشاف إشارة التجاوب المغناطيسي النووي NMR signal، الأمر الذي يسمح باكتشاف الاستجابة المغناطيسية للنوى بشكل مباشر. ولكن من المهم أن مكوّنات القياس المغناطيسي الضوئي يمكن أن تكون أسهل انكماشاً في الحجم لتقدّم نبيطة نقالة ومتماسكة، وخاصة كونها لا تتطلب تقانة قرّية cryogenic مزعجة وباهظة التكاليف.

### التجاوب المغناطيسي النووي المكتشف بالقوة

إنّ خطط اكتشاف التجاوب المغناطيسي النووي المستحدثة، مثل السكويديات والقياس المغناطيسي الضوئي، تقدّم بوضوح فوائد عظيمة للدراسات في الحقول المغناطيسية الضعيفة. ولكن ماذا عن الخطط البديلة لاكتشاف NMR في الحقول المتوسطة intermediate، وبكلمات أخرى، الحقول التي تكون أضعف من أن تسمح بنقوليّة portability عالية مع كونها قوية بقدرٍ يكفي للحصول على بعض

### القياس المغناطيسي الضوئي

لا تنحصر بدائل مقاربات الحقل الخفيف لغرض اكتشاف إشارات الـ NMR بالسكويديات فحسب. فعلى مدى عشرين سنة خلت، أظهر كوهن تانودجي C. Tanodagy ومعاونوه في دار المعلمين العليا بباريس أن الحقول المغناطيسية الضئيلة التي تولدها السبينات النووية يمكن اكتشافها عبر استكشاف تآثرات interactions بخار نرّي قريب بالضوء، وهي مقاربة تُعرف باسم القياس المغناطيسي الضوئي optical magnetometry وفي حين وُضعت منذ ذلك الحين مناهج أخرى لاكتشاف NMR ضوئياً فإنّ الإنجازات التقانية الحالية جعلت القياس المغناطيسي الضوئي موضوعاً ساخناً من جديد.

يشبه القياس المغناطيسي الضوئي إلى حدّ كبير الجهاز المستخدم لتوليد غازات مفرطة الاستقطاب، ففي البداية، يجري تحسيس sensi tization نرّات بخار معدني قلوي بواسطة ليزر يعمل على اصطاف السبينات الإلكترونية غير المتزاوجة، وهذا يسمح للإلكترونات بأن تعمل كمحساس sensor لأنّ سبيناتها تبادر precess في مسار مرتصّ في حال وجود حتى أضعف الحقول المغناطيسية. ويجري تسجيل هذه المبادرة بواسطة ليزر موجّه عبر البخار في الاتجاه العمودي. وفي العام 2004، استخدم الفيزيائيان دم تري بودكر وباينز ومساعدهما في بركلي مقياس مغناطيس ببخار الروبيديوم من أجل قياس إشارة NMR الصادرة عن عيّنة كربون مفرط الاستقطاب عند حقول فائقة الانخفاض ultralow. حتى أن روماليس ومعاونيه استخدموا مقياساً مغناطيسياً ببخار البوتاسيوم

**يمكننا أن نتوقع تشكيلة  
منوعة من مقاربات  
ال NMR التي ينتظر  
تصورها ولم يحاول  
تحقيقها بعد.**

ascillating magnets وتسجيلها عن طريق  
كبل ليف بصري.

في العام 2004، استخدم فريق  
كالتيك تقنية البوميرانج للحصول على  
طيوف عالية الميز لسوائل بدرجة حرارة  
الغرفة مدعياً تحقيق خمسين ضعفاً  
من التحسين في حساسية الكشف  
بالنسبة للكاشيف السكويدي التجارية  
ذات درجة الحرارة المنخفضة. إن هذه  
النيبطة، المصنّمة مع النقلية portability  
في الحسان، تشكل نيبطة بسيطة  
يمكن وضع كامل عدتها المغنطيسية  
ضمن ناقوس لا تعدو أبعاده الناقوس  
الزجاجي المستعمل في المختبر، مع  
العلم بأن الأبحاث جارية للتوصل إلى  
مزيد من التصغير. ويتصور ماديسن  
ومعاونوه عدداً من التطبيقات الميدانية  
لنيبوتهم، بما في ذلك دراسات سطوح  
الجزئيات الصغيرة والاستقصاءات غير  
الجائرة للخلايا الحية والاستكشافات  
الروبوتية robotic للبيئات القاسية.

### الكشف عن بعد

لما كانت نبائط NMR التقليدية ثابتة  
غير قابلة للتحريك أصلاً، فإن العينات أو  
الأشخاص يجب إحضارهم إلى المغناط.  
ولغرض زيادة حركية ال NMR، فإن  
منظورنا في مقارباتنا حتى الآن استهدف  
عكس هذه المعادلة، بحيث يمكن نقل  
المطيف إلى العينة، ولكن المرء يستطيع  
أن يتصور مقارنة مختلفة تماماً: مقارنة  
تبقى فيها العينة والمطيف في موقعين  
منفصلين ولا تنتقل فيها سوى المعلومات  
حول العينة من مكان إلى آخر.

إن مثل خطط الكشف عن بعد هذه  
غدت واسعة التطوير في علم البصريّات،  
مثل استخدام الليزر لقياس تلوث الهواء  
على مسافات كبيرة. ولكن حساسية كشف  
ال NMR الضعيفة تجعل هذا الكشف  
ركيك اللياقة لمثل هذه التطبيقات، الأمر  
الذي يعود له سبب اعتماد ال NMR وال

معلومات الانزياح الكيميائي المهم على الأقل؟ ففي هذه الحقول  
العالية، فإن ما يُعرف باسم طرائق التجاوب المغنطيسي النووي  
المكتشف بالقوة force-detected NMR لا بد أن يكون أكثر حساسية  
من تقنيات التحريض المغنطيسي التقليدية.

يقيس التجاوب المغنطيسي النووي المكتشف بالقوة الحركة  
الميكانيكية للنببطة الصغيرة الناجمة عن القوى الجماعية التي  
تمارسها السبينات النووية في العينة. وهناك ضرب معروف جيداً  
من هذه النبائط هو مجهرية قوة التجاوب المغنطيسي (MRFM) الذي  
يتم فيه تثبيت مغنطيس ذي مقاس مكروني على كابول Cantilever  
بالغ الصغر بحيث يتحسس المغنطة الجرمية لنوى تحرضها نبضة  
تواتر راوي RF pulse. وهذا يغير حركة الكابول الذي يرصد بحرص  
عبر استخدام ليزر لإعطاء إشارة NMR.

طيلة السنوات القليلة الماضية، عمل دان روجار ومعاونوه في IBM  
Almaden بالولايات المتحدة بلا كل ولا ملل على تحسين حساسية  
تقانة مجهر قوة التجاوب المغنطيسي MRFM هذا، وتوجوا عملهم  
باكتشاف سبينات إلكترون واحد في العام 2004. ولكن، بينما تُسرّ  
مغنطيسية الإلكترونات الكبيرة اكتشافها، فإن الاستجابة السبينية  
النووية هي الأكثر أهمية مادامت تحتوي على معلومات أكثر حول  
البنية الجزيئية.

ومؤخراً، استخدم فريق روجار، وبشكل مستقل عنه استخدم جون  
مارون ومعاونوه في جامعة كورنل، مجهر قوة التجاوب المغنطيسي  
لاكتشاف إشارات NMR الصادرة عن مناطق عينة تحتوي على ما  
هو أقل من بليون سبين نووي (مع العلم بأن NMR التقليدي يتطلب  
من الناحية النمطية أكثر من حوالي  $10^{17}$  نواة). وهذا يمثل تحسناً  
ضخماً في حساسية الاستكشاف، ولكن العنت grail في موضوع  
التجاوب المغنطيسي النووي المكتشف بالقوة farce-detected يكمن  
في تنزيل هذه الحساسية إلى حدود السبين الواحد، وهذا إنجاز قد  
يتيح في يوم من الأيام سبر جزيئة حيوية واحدة أثناء أدائها مهماتها  
في داخل الخلية الحية.

لذلك، فإن الهدف الرئيسي من MRFM هو الحساسية وليس  
المنقولية. ولكن في أواخر تسعينيات القرن الماضي، صمم دانييل  
ويتكامب ومعاونوه في Caltech طريقة بديلة للكشف بالقوة يمكن أن  
تفضي إلى أجهزة NMR محمولة (نقالة). وهذه الطريقة (التي أعطيت  
لقب بوميرانج BOOMERANG، اختصاراً لعبارة: "better observation of  
"magnetization enhanced resolution and no gradient" بما يعني: "دراسة  
أفضل للمغنطة والميز المحسن وبدون تدرج" تستخدم نيبطة بحجم "قارة"  
NMR وتتألف من مغناط دائمة مرتبة بعناية بحيث تولد حقلاً قوياً.  
ولكن، كما هي الحال مع نبائط MRFM، فإن إشارة NMR الحاصلة لا  
تقاس بالوشيعية بل بالقوة التي تمارسها السبينات على مغناط مكشافية  
موضوعة بالقرب من العينة. ومن ثم يتم رصد انزياحات المغناط المتذبذبة



**MRI هبتي على  
السكويذات**

صورة MRI بالكترونوسلا  
جرى استحصالها لفلنل  
موضوع داخل عليه شراب.  
وفيهما تظهر مقدره إشارات  
MRI ذات النواتر الضائق  
الانخفاض على اختراق  
جدران معدنية.

probe fluid على نقل المعلومات بشكل صحيح وفَعَال من العينة إلى المكشاف. ومع ذلك، فإنه لمن المهم التحقق من أن مرحلتي التكويد والكشف لا يجب أن تكونا بعيدتين بغية جَنِي مَثوبات rewards مهمة. وفي الواقع، فإن أحد أكبر استيفاءات الكشف عن بعد المحتملة تتمثل في هندسيات علم القياس بالآلات instrumentation geometries والشروط التجريبية المتعلقة بإمكانية جعل كل من التكويد والكشف أفضل ما يستطاع كل على حدة.

### مستقبل منم

تعني المميزات الفريدة لمنظومات الحقل العالي التقليدية أن معظم تطبيقات الـ NMR يصعب أن توفرها نباتات كشف عن بُعد نقالة، ولا سيما في حالة دراسات الميز العالي للجزيئات الحيوية الكبيرة. ولكن في عدد من المواقف، حين يكون نقل العينة إلى مختبر NMR أمراً غير عملي، بمعنى الاستحالة أو الغلاء المفرط، قد تكون إتاحة مطياف NMR عالي الميز وثابت الموقع مفيد جداً. ويمكن تصور بضعة من أمثال هذه التطبيقات بسهولة، بما في ذلك التشخيصات الطبية في جراحات الأطباء، والتفتيشات في المطارات ونقاط عبور الحدود، والتحليلات عند الحفريات الأثرية، واستكشافات مصادر الطاقة، وحتى أخيراً استكشافات الكواكب والأجسام الأخرى في منظومتنا الشمسية.

وفي الوقت الذي تبين فيه بشائر هذه المقاربات الكبيرة، فإن العديد منها ما يزال في مهده. وإنما نتوقع تشكيلة منوعة من التطبيقات والمقاربات التي ما يزال بالإمكان تصورها والتي لم تلق إلا القليل من المحاولة أو التحقيق. في هذه الأثناء، ومع استمرار النجاحات في قابلية تحريك الـ NMR وفي زيادة حساسيته وأتمتته، فقد يأتي اليوم الذي يجيء فيه الـ MRI إليك بدلاً من أن تذهب إلى المستشفى لعمل تصوير بالتجاوب المغنطيسي هناك.

MRI التقليديين على نبیطة واحدة. إن حثیة "الحجم الواحد المناسب للجميع" هذه لا تسهم فقط في عدم حركية الـ NMR، بل وتتمخض كذلك عن تصميم ماكينات قد تكون كافية لتلبية جميع الحاجات ولكن ليست بالفضلى لأي شيء.

يقوم الباحثون في بركلي الآن بتصميم طرق لإنجاز خطوات تحسيس sensitization وتكويد encoding وكشف الـ NMR في مراحل مستقلة ومنفصلة في الزمان والمكان. وتبدأ مقارنة الـ NMR من بُعد هذه، كما في الـ NMR التقليدي، بعينة تحيط بها وشيعة راديوية التواتر. ولكن وشيعة الكشف تقبع في مغنطيس عالي الحقل موجود على بعد بضعة أمتار ومتصل ببيئة العينة عبر أنبوب مرن من التفلون Teflon. ويتم تمرير سائل سبر probe fluid حاول "نوى محسنة sensor nuclei" عبر العينة، حيث يجري تكويده بمعلومات عن شكل العينة أو تكوينها الكيميائي. ومن ثم يحمل هذا السائل تلك المعلومات المغنطيسية على طول الأنبوب المذكور أنفاً إلى داخل وشيعة الكشف، حيث يجري تسجيلها (الشكل 4).

ولما كانت معلومات العينة تتكوّن في المغنطة الكلية للسبينات النووية في السائل، وليست تواترات اعتدال هذه السبينات، فإن شذوذات الجريان (التدفق) لا تشوّه الإشارة. وفي الواقع، فإن المتطلبات الحقيقية الوحيدة لهذا السائل تتمثل في تقديمه إشارة قوية بما فيه الكفاية وفي بلوغه وشيعة الكشف قبل أن يتاح الوقت للسبينات النووية لأن تعود إلى التوازن. ومن حيث المبدأ، يمكن استعمال أي سائل كهذا، ولكن السائل المفضل الواضح هو الكزینون-129 الغازي. وما أن يصار إلى فرط استقطاب هذا الغاز باستخدام ليزر ما، حتى يقدم إشارة NMR قوية جداً يمكن أن تدوم ما لا يقل عن نصف ساعة. إن "دبوق Stickness" الكزینون-129 الغازي المعروف جيداً على المستوى الجزيئي يتيح له أن يتأثر مع سطوح جزيئات ومواد مختلفة ويسيرها، بيد أن خموله الكيميائي يمنعه من إتلاف العينات قيد الدراسة.

ومؤخراً، لجأ تعاون بين مجموعة باينز وباحثين اثنين (من شركة شلومبرغر-دول للتنقيب عن النفط) هما: بابترا سين P. Sen وبي-كياو سونغ Y. Song إلى استخدام هذه التقنية لتصوير سائل يجري داخل صخر مسامي تصويراً عن بعد. وقد يتيح مثل منهج الكشف عن بُعد هذا في نهاية المطاف استكشاف البنية المسامية الثلاثية الأبعاد للصخر عن طريق ثقب الحفر لتقدير احتمالات استرجاع النفط. وفي نهاية العام الفائت تقريباً استخدمت مجموعة بركلي مقارنة الكشف عن بعد لتحسين حساسية دراسات الـ NMR التي تتضمن علم السوائل المكروي الذي هو مجال بازغ عظيم الأهمية لصالح الكيمياء التحليلية الحيوية والهندسة الكيميائية.

وخلافاً لما هو عليه الحال في طرائق الكشف عن بعد الضوئية، فإن نأى remoteness العينة في مقارنة NMR تحدّه مقدرة السائل السابر

### المؤلف:

بويد غودسون، يعمل في قسم الكيمياء والكيمياء الحيوية بجامعة سائرن إينوي (جنوب إينوي) بالولايات المتحدة. لقد عمل على الـ NMR والمطيافية الضوئية طيلة السنوات الاثنتي عشرة الماضية.

نشر هذا المقال في مجلة Physics World, May 2006، وتمت ترجمته في هيئة الطاقة الذرية السورية.



رغم عقود من البحث، لم يُعثر بعد على "المادة الخفية" التي يعتقد أنها تمسك المجرات بعضها إلى بعض. وفي هذا المقال يصف ماثيو تشالمرز كيف أن بعض الفيزيائيين يذكرون أنه من الأكثر تبريراً أن نغير نظريتنا في الثقالة بدلاً من ذلك.



## الجانب الخفي للثقالة

الكلمات المفتاحية:

الثقالة، مادة خفية، حقل الفيونات، نظرية ميلغروم أو نظرية ديناميك نيوتن المعدل، النظرية التسنورية المتجهية السلمية، ثقالة سلمية تسنورية متجهية.

الفيزياء الحديثة. فهي تصف بتعابير رياضية أنيقة كيف تتسبب المادة في تقوّس (انحناء) الزمكان space-time، وبالتالي كيف تتحرك الأجسام في الحقل التناقلي. ومنذ أن نشرت النسبية العامة في العام 1916، فقد نجحت بامتياز في كل اختبار طلب منها لتأكيد صحتها، وبالنسبة لكثير من الفيزيائيين فإن الادعاء بأنها على خطأ هو من قبيل انتهاكها.

لكن الدافع لإيجاد نظرية بديلة للثقالة أمر ملحّ. فعلى مدى السنوات القليلة الماضية توصل علماء الكون إلى وضع موديل بسيط model للكون لكنه ناجح بالغ النجاح. بيد أن المشكلة تكمن في أن هذا الموديل يتطلب امتلاء معظم الكون بمادة غامضة لا نراها. وعلى

إذا كنت أكاديمياً في أحد أقسام الفيزياء، فربما تكون معتاداً على استلام رسائل من أناس يدعون أنهم أعادوا كتابة قوانين الفيزياء. وكذلك يألف محررو المجلات العلمية مثل هولاء الناس الذين اتخذ العديد منهم من الثقالة ضحية لهم. ورغم أنه ينبغي لنا أن لا ننبد هذه الأفكار في آخر الأمر تلقائياً، فقد كان أينشتاين كاتباً مغموراً يوم هزّ عالم الفيزياء في العام 1905- مرتين أن معظم الأفكار يسقط لأن مؤيديها يفشلون في وضعها في سياق المعرفة القائمة.

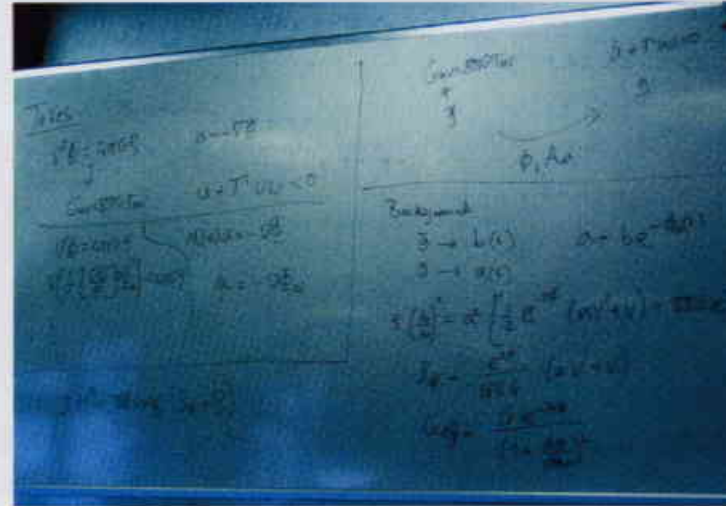
لا يستطاع قول الشيء نفسه عن عدد الفيزيائيين المحترفين المتنامي ممن يعتقدون أن نظرية أينشتاين العامة في النسبية صارت قديمة وبحاجة إلى تنقيح. والنسبية العامة هي جزء من أساس

بفرض وجود "هالات haloes" من المادة غير المرئية في البنى المجريّة وحولها، فإن قانون نيوتون الشهير في التربيع العكسي يُستعاد.

ورغم أن المادة الخفية جزء لا يتجزأ من علم الكونيات الحديث، فإن العديد من الفيزيائيين يرونها بمثابة عامل مُلقَّب fudge factor. يقول هونغ شينغ زاو H. Zhao من جامعة سانت أندروز "ليس لدى علماء الفلك أي فكرة عن ماهية المادة الخفية. إنها كل ما هو مطلوب لتفسير المعطيات، وليست تنبؤاً أساسياً للفيزياء الجسيمية كما كانت في الأصل". إن هذه الحالة تذكّر بحالة واجهت الفلكيين في أربعينيات القرن التاسع عشر، الذين افترضوا، وهم يحاولون تفسير الشذوذات في مدار كوكب أورانوس، وجود كوكب خارجي جديد بدلاً من المسّ بقانون نيوتن. وبالطبع فإن الفارق الحاسم هو اكتشاف كوكب نبتون بعد ذلك بفترة وجيزة، في حين تبقى المادة الخفية وهمية بالرغم من سنوات البحث التي كرّست لذلك.

أما مُردخاي ميلغروم M. Milgrom فقد ادعى في العام 1983 أنه استطاع أن يفسر الدوران الشاذ للمجرات بدون حشر المادة الخفية. وبدلاً من ذلك عدل علاقة نيوتن، بحيث يكون تضاد القوة التثاقلية بين جسمين بدلالة المسافة الفاصلة بينهما (في ظروف معينة)، أقل حدة مما يعطيه قانون التربيع العكسي. لقد كانت الصفة الأساسية لنظرية ميلغروم - والمعروفة باسم ديناميك نيوتن المعدل modified Newtonian dynamics أو MOND - هي أن السلوك المعدل يموت فيما دون سلم محدد للتسارع، بدلاً من المسافة. ومن الملاحظ أن ميلغروم كان قادراً على وضع قيمة هذا البارامتر العالمي، بحيث تصف نظرية MOND ديناميك المجرات بصورة جيدة للغاية، مع الاحتفاظ بثقالة نيوتن في مكان آخر.

ولكن أي نظرية للتقالة تكون بديلة وجديرة يجب عليها أن تأخذ بالحسبان أشياء أخرى أكثر من مجرد ديناميك المجرات. وعلى الأخص أن تكون قادرة على تفسير الطريقة التي تحني بها الأجسام الضخمة الضوء - وتلك نبوءة رئيسية للنسبية العامة جرى التثبت منها بصورة دراماتيكية (مثيرة) أثناء الكسوف الشمسي لعام 1919. إن أقوى تظاهر لهذا المفعول هو فعل العدسة التثاقلية gravitational lensing، الذي بواسطته تجعل المجرات (أو تجمعات من المجرات) الضوء الآتي من أجسام في الخلفية background objects يظهر وكأنه أت من عدة مصادر مختلفة. وكما هو الحال مع ديناميك المجرات، فإن النسبية العامة على كل حال غير قادرة على تفسير قوة بعض العدسات التثاقلية بدون أن تأخذ "في حسابها" إضافة توزيعات مناسبة من المادة الخفية.



أشرطة مرسومة بالثقالة: ورشة عمل حتمية حول "نظريات بديلة" العقدت في أديرة سمحت للباحثين أن يناقشوا التحديات التي تواجه نظرية أينشتاين العامة في النسبية.

وجه الخصوص، لا تستطيع النسبية العامة - أو مداها اللانسيوبي المعروف بثقالة نيوتن - أن يضعف بشكل صحيح إلا ديناميكيات المجرات إذا نحن أدخلنا في الحسابان مقادير هائلة من "المادة الخفية dark matter". وزيادة على ذلك، فإن كينونة غريبة تدعى "الطاقة الخفية dark energy" تكون ضرورية لتفسير الاكتشاف الحديث بأن تمدد الكون أخذ بالتسارع. وبالفعل ففي الموديل المعياري لعلم الكون وفي الكتب الجامعية للفيزياء والكواكب تُشكل المادة المرئية كالنجوم والكواكب ما لا يتجاوز 4% فقط من الكون بأسره.

وأمام افتقار دليل مباشر على وجود المادة الخفية، تقترح عصابة صغيرة (لكنها متنامية) من الفيزيائيين تفسيراً بديلاً مفاده: أن وصفنا للثقالة هو على خطأ. وإذا كان في مناقشات ورشة العمل الحديثة حول المادة الخفية والثقالات البديلة التي عقدت في نيسان/أبريل في المرصد الملكي في أديرة أي شيء ما نقوله بشأنها فلا يتعدى أنها عسيرة وتتخبط في طريق وعر.

### بذور شك

حدث اقتراح المادة الخفية في العام 1933 كي تفسّر لماذا تتحرك المجرات وهي في تجمعات معينة على نحو أسرع مما يتاح لها فيما لو احتوت على "مادة باريونية baryonic matter" نستطيع رؤيتها. وبعد بضعة عقود، تمّ الكشف عن سلوك مماثل في مجرات فرادى، حيث وجد أن السرعة الدورانية rotational velocity للنجوم الأكثر بعداً فيها لا تتناقص كتابع للمسافة بل تبقى مستوية بدلاً من ذلك (انظر الشكل). إن هذه المشاهدات ناقضت بصورة مباشرة الثقالة النيوتونية Newtonian gravity، التي ينبغي أن تبقى صحيحة في المناطق خارج المجرات تماماً كما تفعل على الأرض وفي المنظومة الشمسية. ولكن

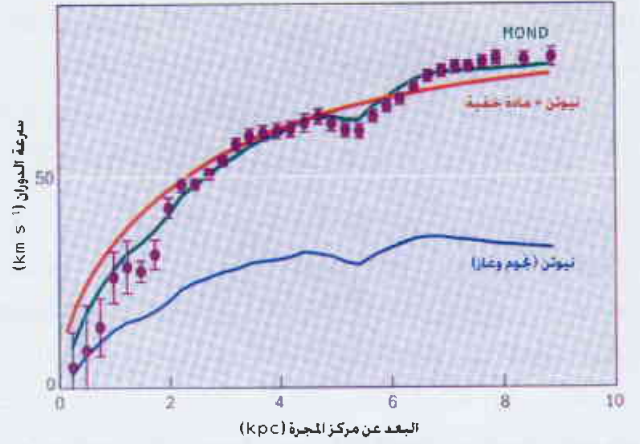
هذا هو بالضبط ما فعله بكنشتاين، من خلال إدخال مترياً ثانٍ على TeVeS يقوم بمطّ الزمكان بصورة أكثر شمولية. وكما نربط المتريين من أجل توليد المتري الفيزيائي الذي يفعل فعله في الأجسام الحقيقية، أضف بكنشتاين حدّين إضافيين إلى فعل TeVeS. كان الحد الأول حقلاً سلمياً، يغير بصورة فعّالة شدة الثقالة من موضع إلى آخر، وكان الثاني حقلاً متجهاً يضمن أن يتأثر الضوء بالمتري كذلك.

قد يبدو في الأمر شيء من الخصوصية، لكن المفعول المشترك لاستبدال حقل سلميّ وحقل متجهي وحقل متري للحلول محل فعل أينشتاين Einstein action يعني أن TeVeS لها كل المعالم المرغوبة لنظرية بديلة في الثقالة: فهي تنكفي إلى نظرية أينشتاين من أجل سرعات عالية وتسارعات كبيرة (وهي بذلك تعلل انحناء الضوء الثقالي gravitational lensing)؛ وإلى ثقالة نيوتون من أجل سرعات منخفضة وتسارعات صغيرة (كذلك التي توجد على الأرض)؛ وإلى MOND عندما تكون التسارعات أصغر (وهنا تتنبأ بمنحنيات دوران المجرة المرصودة). وبما أن TeVeS نسبية بصورة كاملة فبإمكانها أيضاً أن تضع تنبؤات حول الكون على المقاييس الأكبر.

وفي هذا الصدد يقول كونستانتينوس سكورديز C. Skordis من Perimeter Institute في أونتاريو بكندا، الذي حضر اجتماع أدنبرة: "هناك نظريات أخرى شبيهة بنظرية MOND سبقت TeVeS كانت نسبية، لكنها جميعاً كان فيها بعض المشاكل مثل انتهاك السبب والنتيجة". ويستترد سكورديز قائلاً: "بينت لنا TeVeS أنه بإمكانك أن توفق بين المشاهدات الكونية بدون المادة الخفية وذلك بإحلال نظرية تناقلية بديلة محل النسبية العامة".

ربما يكون علم الكون cosmology هو التحدي الأقوى للوصول إلى نظريات بديلة في الثقالة، إن أي نظرية في الثقالة تتطلب، على وجه الخصوص، أن تفسر الكيفية التي تم فيها تشكل بعض البنى أمثال المجرات وتجمعات المجرات. وهذا يعني أنه ينبغي وصف خلفية الأمواج المكروية الكونية وصفاً صحيحاً - هذه الخلفية هي الإشعاع القديم الذي يأتي من حقبة زمنية تدعى التاشب (عودة التجميع) recombination والتي حصلت منذ حوالي 380000 سنة بعد الانفجار العظيم Big Bang.

فقبل ذلك التاشب كان الكون بلازما كثيفة ساخنة، وتتبعثر فيها الفوتونات باستمرار بفعل جسيمات مشحونة. ولكن ما إن برد الكون إلى حدٍ يكفي لتشكيل الذرات المعتدلة، حتى صارت الفوتونات قادرة على السير في الفضاء من دون أن يعيق حركتها شيء، وبذلك أخذت تحمل معلومات حيوية عن شدوذات الكثافة



رموز مريبه - يستطوع قانون نيوتن في الثقالة أن يفسر فقط دوران المجرات أمثال NGC 1560 بإفهام الماء الخفية، لكن نظرية ميلغروم البسيطة البديلة في الثقالة (MOND) تتوافق مع الملاحظات إلى حد بعيد (من 634 71 astrophys.).

نظراً لأن تحريك نيوتن المعدل MOND متأصل في الميكانيك النيوتوني، فلا أمل يرجى منه لتفسير انحناء الضوء. وبالإضافة إلى ذلك، فإن صيغة ميلغروم البسيطة انتهكت عدة قوانين أساسية في الفيزياء، كالحفاظ الاندفاع conservation of momentum مثلاً. هذا ما حثَّ النظرين في الثمانينيات والتسعينيات من القرن الماضي (أمثال ميلغروم وروبرت ساندرز R. Sanders من جامعة غرونينجين في هولندا ويعقوب بكنشتاين J. Bekenstein في الجامعة العبرية) على الشروع بتحويل MOND إلى نظرية مكتملة الجوانب. وتزوج هذا في العام 2004، عندما نشر بكنشتاين نسخة نسبية لتحريك نيوتن المعدل MOND سماها النظرية المؤثرة المتجهية السلمية tensor vector scalar theory أو TeVeS. تلك هي النظرية التي جعلت العديد من علماء الفلك، والذين يعملون في مجال الفيزياء الفلكية، وعلماء الكون يشجعون بأخذ نظريات الثقالة البديلة بمزيد من الجدية.

### الثقالة الهندسية

كي نفهم النظرية المؤثرة المتجهية السلمية TeVeS - أو أي نظرية بديلة حول الثقالة - نحتاج إلى غوص أعمق في نظرية أينشتاين عن الثقالة، التي تعني أن الحقل التناقلي ينشأ من هندسة أو انحناء الزمكان space-time. ومن وجهة النظر الرياضية، يُوصف الانحناء بموتر (تنسور) متناظر يدعى "متري metric"، الذي يُعَيَّن تعييناً تاماً، في نظرية أينشتاين، بالمادة الموضوعية local. وبالرغم من أن هذه هي الطريقة الأبسط لصياغة نظرية هندسية للثقالة، فلا شيء يقف في طريقنا إذا أردنا أن نضيف حدوداً إلى "فعل action" النظرية، التي تحكم الديناميكية التي يتمتع بها المتري ومن ثم الطريقة التي تتحرك بها الأجسام.

Einstein condensation، يستطيع حقل فيون هذا أن يولد مائعاً فائقاً يجعل الثقالة أقوى في مركز المجرات وعلى مقاييس كونية مشابهة لثقالة نيوتن-آينشتاين المعيارية عند مقاسات متوسطة.

بالإضافة إلى انطباق معطيات المجرات هنا بصورة جيدة جداً، فإن موافاتٍ يدعي بأن نظريته تستطيع أيضاً أن تفسر المسارات الضالة للمسبارين بيونير Pioneer probes. فهاتان السفينتان الفضائيتان اللتان أُطلقتا في سبعينيات القرن الماضي، قد وصلت الآن إلى أبعد المناطق في المنظومة الشمسية، ويبدو أنهما تمارسان تسارعاً شاداً باتجاه المنظومة الشمسية الداخلية. ورغم أن هذا قد يكون له تفسير تقني أرضي، فهو يقدم اختباراً كلاسيكياً لنظريات ثقالة بديلة عند مقاسات المنظومة الشمسية.

### الطاقة الخفية

في حين تُعتبر نظرية STVG وصف الكون بدون مادة خفية هو الهدف الأساسي لها ولنظريات الثقالة البديلة الأخرى، فإن من المستحب أن تستطيع أمثال هذه النظريات التخلّص من الطاقة الخفية في الوقت نفسه. إن تاريخ النسبية العامة تاريخ متباين في هذا الصدد. فأينشتاين أدخل في البدء حداً ثابتاً constant term ليفسر الحقيقة المشهودة آنئذٍ وهي أن الكون مستقر (ساكن)، وكان عليه أن يزيله ثانية بعد ذلك بسنوات عندما اكتشف هبل Hubble أن الكون يتوسع. ولقد دعى أينشتاين الثابت الكوني "الخطأ الفاضح الأكبر" الذي ارتكبه. لكنه لو كان موجوداً في العام 1997 ليرى معطيات المستعر الفائق التي بينت أن توسع الكون في تسارع، وكان عليه أن يعيده مجدداً -ولكن مع القول فقط بأن قيمته كانت بعيدة بما يقارب 120 مرتبة في القيمة!

ثمة نظرية تدعى "النظرية المهيأة conformal gravity" تسدّد باتجاه رأس التمدد الكوني. ولربما تكون هذه النظرية، التي طوّرها فيليب مانهايم P. Mannheim من جامعة كونيكتيكوت، الأكثر تطرفاً بين كل المقترحات البديلة للثقالة. وفي هذا الصدد يقول مانهايم: "إن نظريات من أمثال TeVeS أو STVG هي ما أسميه نظريات (أينشتاين المزيّدة) Einstein-plus theories". ويضيف قائلاً: "صُمّمت هذه النظريات كي تقلل معادلات أينشتاين عند مقاسات المنظومة الشمسية، في حين أنها تحيد عنها عند مسافات مجرية أو أكبر منها. لكنها في حين تتجنب الحاجة إلى أي مادة خفية بكفاءة تامة، فما من أحد يقدر أن يتناول مسألة الثابت الكوني".

لا تزال نظرية مانهايم نظرية هندسية geometric عن الثقالة، لكنه بدلاً من إجراء تغييرات طفيفة على النسبية العامة استعاض مانهايم عن النظرية بأخرى مبنية على "موترة ويل Weyl tensor"

في البلازما البدئية. واليوم، فإن هذه الشذوذات، التي قد تكون تسببت في جعل المادة تتجمع إلى بعضها مع بعض في بعض المناطق أكثر من تجمعها في مناطق أخرى، تبدو كرقع ساخنة وباردة في التوهج الخافت لإشعاع الأمواج الكروية التي تخترق أعماق الكون.

تعدّ النسبية العامة جيدة جداً عند وصفها كيف نشأت البنى الكونية من هذه الاهتزازات الصوتية، ولكن لا يصحّ هذا إلا إذا افترضنا أن الكون حوى كمية من المادة الخفية تساوي على الأقل ما حواه من المادة الباريونية أثناء عملية التآشب. وبدون المادة الخفية، التي تقترب بالمادة وليس بالضوء، فإن ترجحات الكثافة تكون قد سوّيت بواسطة التصادمات مع الفوتونات منذ فترة طويلة قبل أن تتاح الفرصة لهذه الفوتونات لتشكّل بذور المجرات.

ويشرح بدرو فرييرا P.Ferreira من جامعة أكسفورد الذي كان يعمل مع سكورديز لحساب المقتضيات الكونية المتعلقة بنظرية TeVeS قائلاً: "يقول الناس مخطئين إنه بسبب كون نظريات الثقالة المعدلة لا تخلو من الإشارة إلى مادة خفية، فلا توجد قوة دافعة لدعم الترجحات عبر التآشب". ويتابع فرييرا قوله "لكن الحقول الإضافية في TeVeS، على سبيل المثال، يمكنها أن تولّد التأثير نفسه كما المادة الخفية رغم امتلاكها لكثافة طاقة أخفض بعدة مراتب من حيث القيمة".

وكيما يرى سكورديز وفرييرا كيف سارت نظرية TeVeS ضد معطيات كونية حقيقية، فقد وسّعا النظرية إلى ترتيب خطي ثم رسا ما يحدث فيما لو كانت الحقول السلمية scalar والمتجهة vector والموترة عرضة لاضطرابات صغيرة. ولقد مكّنهم ذلك من وصف توزع ترجحات درجة الحرارة في خلفية الأمواج الكروية الكونية وصفاً صحيحاً كتابع للمقياس الزاوي، الذي يتألف من سلسلة من قمم صوتية متضائلة. وإلى الآن تُعدّ نظرية TeVeS، النظرية البديلة الوحيدة للثقالة التي حققت مثل هذه التنبؤات التفصيلية، لكن فرييرا بحث كل من يعمل على نظريات بديلة للثقالة أن يتخطوا منحنيات دوران المجرات وأن يقوموا بهذا التمرين بأنفسهم.

ثمة شخص من أمثال هؤلاء هو جون موفات J.Moffat من معهد المحيط Perimeter، يتعاون مع جول براونشتاين J.Brownstein على نظرية تدعى الثقالة السلمية الموترة المتجهة scalar tensor vector gravity (STVG). ومع أن الحقول السلمية وحقلها متجهاً تدخل هنا ضمن النسبية العامة، كما في نظرية TeVeS، فإن الحقل المتجه في نظرية STVG يقابل كينونة فيزيائية جديدة يدعوا موفات "حقل فيون phion field". وبالخضوع إلى عملية تدعى تكثف بور-أينشتاين Bose-

إلى أن هذه النظرية تحتوي على إطارات مرجعية مفضّلة تنتهك المبادئ الأساسية للنسبية. ثم إن هناك قضية التجميليات aesthetics فهل يُشكّل تلقف مصطلحات من الجوّ وتضمينها في فعل النسبية العامة أكثر تّميّناً من تضمين المعطيات المجرّاتية مع كثيرة حدود أو أي تابع آخر؟ وأخيراً، يمكن للمادة الخفية أن تظهر في المستقبل في واحد من العديد من الأبحاث المكرّسة على امتداد العالم.

وكذلك لما كانت حركة الثقالة البديلة تشكل أرضية خصبة للفيزياء النظرية، فمما لا شك فيه أنه ستُبرهن خصوبة متساوية بالنسبة للمختصين في علم اجتماع العلوم. يقول موفات: "هذا هو تغيير النموذج المحتمل في الفيزياء". ويتابع قوله "ستواجهون دائماً معارضة عندما تحاولون تعديل نظرية مقبولة تماماً كنظرية النسبية العامة".

لا يزال الوقت مبكراً للقول فيما إذا كنا بالفعل نشهد مثل هذه الثورة العلمية. لكن علينا في أثناء ذلك أن نضع نصب أعيننا أن إحدى أعنف المقاومات لنظريات الثقالة البديلة كانت توجّه في يوم ما إلى أينشتاين ونيوتن نفسيهما.

من المرتبة الرابعة. وفي حين أن رياضيات الثقالة المهيأة معقدة، فإن هذه النظرية تتصف بخاصية مُحبّدة بقوة باعتبار الثقالة تكون جاذبة عند المقاسات الموضوعية مع كونها دافعة repulsive عند المقاسات الكونية. وبهذا تستطيع نظرية مانهايم أن تفسر كلاً من معطيات الكون المتسارع ومنحنيات دوران المجرّات بدون مادة خفية، أو طاقة خفية أو أي تلفيق للبارامترات. ولكن مثلما هو الحال بالنسبة لنظرية STVG، فما زالت كل التضمينات الكونية للثقالة المهيأة بحاجة إلى تبيان.

### تغيير النموذج

على كل العاملين على نظريات بديلة للثقالة أن يبرروا أفكارهم لتتوافق مع علماء الكون، الذين لا يرى معظمهم لماذا ينبغي أن توجد بدائل للمادة الخفية. ويؤكد روبرت كالدويل R. Caldwell من كلية دارتموث في الولايات المتحدة الأمريكية قائلاً: "النسبية العامة والمادة الخفية هما النموذج المعياري، وإلى أن نرى شيئاً ما لا يتفق مع ذلك فعندئذ لا يوجد سبب للنظر في مكان آخر".

وكذلك يذكّرنا بعض الفلكيين أمثال جون بيكوك J. Peacock من المرصد الملكي، أن ثقالة نيوتن-أينشتاين المعيارية تصلح جيداً بدءاً من مقاسات من مرتبة المليمتر وانتهاءً بمقاسات تصل حتى مدار الكوكب بلوتو، وعليه ينبغي للناس أن يكونوا حذرين قبل حذفها "استناداً إلى فيزياء فلكية مشوّشة messy astrophysics مثل تشكيل المجرّات". وبالفعل، فقد قال أحد الفلكيين الذين حضروا لقاء أديبرة بأنه حضر اللقاء فقط كي يرى نظريات متشظية عن الثقالة البديلة".

لكن العديد من معسكر الثقالة البديلة يفكرون بأن المادة الخفية والطاقة الخفية قد أصبحتا متجذّرتين إلى قدر لم يعد الناس معه يدرسون المسألة بصورة علمية. ووفقاً لما يراه ستيسي ماك غوف S. McGaugh من جامعة ماري لاند، الذي أصبح شكوكاً بالمادة الخفية في منتصف التسعينيات من القرن الماضي، فإن أفضل طريقة للتصدي لهذه المسألة تتمثل في أن يتعامل فعلياً مع معطيات المجرّة. ويقول ماك غوف مازحاً "لو كان كل علماء الكون المشهورين الذين يدافعون الآن عن الموديل المعياري تجمّدوا عميقاً في سبعينيات أو ثمانينيات القرن الماضي ثم أيقظتهم اليوم وقلت لهم أن [المادة الخفية والطاقة الخفية] هي الجواب، فلا أحد منهم سيشتري هذه البضاعة.

لكن معسكر الثقالة البديلة له مشاكله الخاصة أيضاً. فمثلاً، حين تُعدّ نظرية TeVeS النظرية الأكثر تقدماً في قائمة النظريات المطروحة على الطاولة، يشير بعض الباحثين (موفات ومانهايم بشكل خاص)

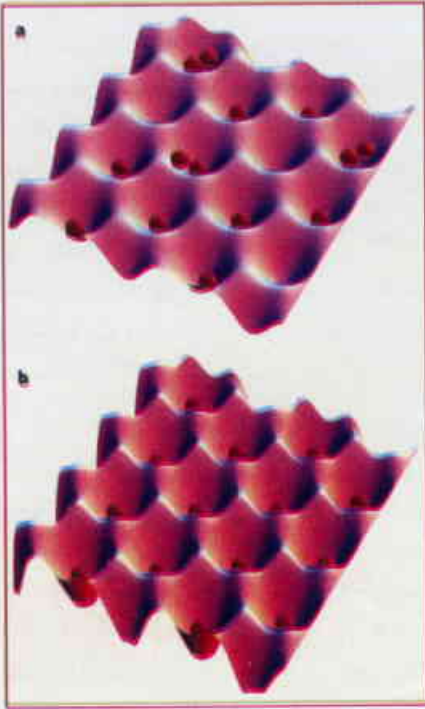
### المؤلف:

### ماثيو نشارلز

- نشر هذا المقال في مجلة Physics World, June 2006، وتمّت ترجمته في هيئة الطاقة الذرية السورية.



## متى لا يكون المعدن معدناً



الشكل 1: التحول (معدن عازل) يمثل الشكل (a) إبار الكميون المنتظمة لحالة معدنية عادية عادة ما ذات إلكترون واحد. (في المتوسط) لكل ذرة، (b) إذا كان الكميون الحاضر أقوى قليلاً (أبار أعمق)، فإن الإلكترونات تواجه صعوبة أكبر في الانزياح عن الموضع ومن ثم لا تكون ناقلة - رغم ما تشبهاً به نظرية العصابات، هذه المادة في أحد عوازل موط، على شاكلة الجرمانيوم المغطى بالقصدير الذي درسه كورتيه وزملاؤه [3].

الغالب، بل وحتى السليكون نفسه. وفي معظم الحالات تم استخدام ذرات مطعّمة dopant لموازنة عدد الإلكترونات في نصف الناقل وإيصالها إلى النقطة التي تتوقع عندها نظرية العصابات معدناً. وحينما أظهرت الأدلة خلاف ذلك كانت تلازمات موط الإلكترونيّة ظنيّاً طبيعيّاً.

ورغم الإخفاق الذي يحدث من حين لآخر، فإن نظرية بلوخ ويلسون العصابية تبقى مفيدة لفهم حتى المواد التي تخطئ فهمها. لا يمكن أن يكون للإلكترونات في الجوامد البلورية طاقات اعتباطية، ولا يمكن أن يكون لها نفس الطاقة. وعوضاً عن ذلك، فإن

توفر الاستثناءات من نظرية العصابات تربة خصبة لاختبار أفكار جديدة حول سلوك الإلكترونات في الجوامد. ولربما لم يدلّ بدلوه أحد أكثر من نيفيل موط N.Mott، الحائز على جائزة نوبل في الفيزياء لعام 1977. فلقد أشار موط إلى أن التقريب approximation الجوهري لنظرية العصابات-المتتمثل في أن كل إلكترون يتحرك بصورة مستقلة، ولا يستشعر تأثيرات الإلكترونات الأخرى إلا في المتوسط- سيخفق بصورة مزرية في بعض الحالات [4]. ويمكن للفيزيائيين في النهاية، وهم مسلحون بهذا التحقيق، أن يفهموا تلك المواد التي تدين بطبيعتها في العزل الكهربائي إلى التلازمات في حركات الإلكترونات المختلفة. تنشأ هذه التلازمات من التدافع الكولوني التقليدي بين الجسيمات التي تحمل شحنات متماثلة ليس إلا. لكن هذه التلازمات يمكن أن تكون حاسمة في مواد تتنافس فيها زرعتان للإلكترونات هما أصلاً متوازنتان توازناً ضعيفاً. وهاتان الزرعتان هما: نزعة الرغبة بالتموضع مكانياً من أجل تقليل التدافع الكولوني إلى حدّ الأدنى، ثم الحاجة للانزياح عن مواضعها من أجل تقليل الكلفة الناجمة في الطاقة الحركية عن الانحباس المكاني إلى أدنى حدّ.

عادة ما تسود نزعة الانزياح عن الموضع لدى المواد الكبيرة الحجم، وبذلك فهي تمارس النقل، لأن الحرية التي تقدمها الأبعاد الثلاثة تكون أكبر من القصاص الكولوني. ولا يكون الحال كذلك عند سطوح أنصاف النواقل، حيث تكون الإلكترونات محصورة في بعدين اثنين (الشكل 1). وفي الحقيقة، تم ابتداء عوازل موط على مدى العقد الماضي على سطوح العديد من أنصاف النواقل الشائعة، بما في ذلك كربيد السليكون، وزرنيخيد

الإجابة عن هذا السؤال هي، طبعاً، حينما يكون عازلاً. فالمواد التي ينبغي لها أن تنقل الكهرباء نظرياً - ولكنها لاتفعل - معروفة جيداً، لكن السلوك الشاذ لإحدى المواد سبب إعادة نظر خاصة.

كل طالب يعلم الفرق بين المعدن والعازل، فالأول ينقل الكهرباء والآخر لا يفعل ذلك. وتصبح الأمور أكثر أهمية إذا سألنا كيف ينشأ هذا الاختلاف. وبالرغم من أن السؤال بسيط وبشكل خلاب، فالجواب الدقيق والحاسم لم يتوفر إلا حوالي عام 1930، عندما استخدم فيليكس بلوخ F. Bloch وألان ويلسون A. Wilson ميكانيك الكم الجديد لتكوين نظرية تميز المعادن عن العوازل [1, 2]. إن النجاح المذهل الذي حققته "نظرية العصابات للجوامد" band theory of solids، كما تعرف اليوم، جعلها حجر الزاوية للنظرية الحديثة للجوامد.

ولكن، في حالات قليلة بارزة للعيان، لا تصيب نظرية العصابات هذه جانب الصحة: فهناك، على سبيل المثال، مواد تعرف باسم عوازل موط Mott insulators تكون عازلة تجريبياً، ومع ذلك تصر نظرية العصابات بعناد على أنها معدنية. وفي رسالة إلى مجلة Physical Review Letters، يلقي كورتيه Corté's وزملاؤه [3] نظرة جديدة على واحدة من هذه المواد (تتمثل في سطح جرمانيوم مغطى بطبقة ممتزة من ذرات القصدير) كانت تحير النظريين والتجريبيين على حدّ سواء. وبالرغم من التوقعات المبنية على التشابه مع مواد مماثلة، فإن التجارب السابقة التي أجريت على هذه المنظومة أخفقت في تكريسها كعازل موط. وجاءت نتائج كورتيه وآخرين في النهاية لتضع هذه النبذة من اللغز في الموضع الصحيح.

البعد ذات صلة. ونشير إلى أن دليلهم الأولي يتألف من أطيايف إصدار فوتوني، مأخوذة عند درجتَي حرارة 12 و140 كلفن تقيس في أن معا توزع طاقة الإلكترونات وعزومها. فعند درجة الحرارة الأخفض تبدي الأطيايف افتتاح فرجة عازلة كالتِي تتكلم عنها الكتب المدرسية. هذا ويدعم المؤلفون هذه النتيجة باكتشاف ثانٍ مدهش: إذ يختفي التشوه المتغصن الذي وجد في تجارب سابقة [8] عند الدرجة 12 كلفن ويعود للظهور سطح منبسط متجانس.

إن مشاهدة الانتقالين الطوريين كليهما -الإلكتروني والبنوي- يجعل الصورة مقنعة بشكل خاص. وهناك تجربة أخيرة تقيس طيف "الإصدار الفوتوني" العكسي inverse photoemission (الذي يكشف توزع الحالات الفارغة التي تلو الفرجة تماماً) سوف تحسم الأمر. ومن أجل هذا علينا أن ننتظر تحسينات في الميز. وفي نفس الوقت تسترد نتائج كورتية وزملائه إحساس الانتظام لفهمنا المحدود، والمتنامي حول عوازل موط على السطوح. إن مثل هذا الفهم قد يساعد على حل ألغاز أخرى، بدءاً من الناقلية الفائقة عند درجات حرارة عالية وصولاً إلى الذرات الفائقة البرودة. ومع استمرار انكماش أبعاد النبايط الإلكترونية، قد تصبح نظرية موط نفسها حجر الزاوية الجديد في وصف سلوك الإلكترونات عند المقاييس الصغيرة جداً.

نشر هذا الخبر في مجلة

Nature, Vol 441, 18 May 2006

جرى أيضاً تطبيق استراتيجية أخرى مشابهة على سطح من الجرمانيوم، ولكن مع اختلافات مهمة. فبدلاً من تجميعية البور والبتاسيوم، استخدمت طبقة تغطية وحيدة من الرصاص لتزويد العدد نفسه من الإلكترونات. وعندما بُردت منظومة الرصاص والجرمانيوم هذه إلى ما دون 100 كلفن، ظهرت فرجة طاقة صغيرة، لكنها كانت مصحوبة بميزات جديدة تتمثل في تشوه دوري متغصن لطبقة التغطية الرصاصية [7]. وعندما أضيفت بدلاً من ذلك نرات قصدير (ذات العدد نفسه من إلكترونات التكافؤ الخاص بالرصاص)، لوحظ التغصن نفسه، لكن الفرجة كانت غائبة بصورة غامضة [8]. لقد قام جدل مقنع [9] بأن التغصن الذي شوهد عند درجات حرارة منخفضة في المنظومتين هو في الحقيقة تجمد طراز اهتزازي تعاني فيه نرات القصدير، عند درجات حرارة أعلى، اهتزازات سريعة إلى الأعلى والأسفل. ولكن السؤال الأكبر (وهو: لماذا أبدت منظومة قصدير-جرمانيوم أنها ليست عازلاً من عوازل موط) بقي من دون حل.

إن مساهمة كورتية وزملائه [3] في القصة ذات شقين. فهم، أولاً كرّسوا كون الجرمانيوم المغطى بالقصدير هو بالفعل عازل من عوازل موط، ولكن عند درجات حرارة منخفضة جداً فقط. وهم ثانياً قدموا معطيات إصدار فوتوني ذات مَيز زاوي تعطي صورة مفصلة خاصة للتحوّل من معدن إلى عازل، مضيفين بذلك وزناً إلى الاكتشافات السابقة في منظومات ثنائية

الترتيب النوعي للإلكترونات ضمن الجامد يملئ مديات الطاقة المسموح بها-بمعنى عصائب للنظرية العصبية. فالإلكترونات يجب أن تشغل العصائب المتاحة بشكل سردي، بدءاً من العصابة الأخفض طاقياً ثم تتابع نحو الأعلى. وتستطيع كل عصابة أن تستوعب إلكترونين يمتلك كل منهما سببياً يعاكس الآخر. وينتج عن ذلك أنه إذا كان الجامد أو بالأحرى خلية الوحدة الواحدة من الجامد تخصيصاً تحتوي على عدد فردي من الإلكترونات، فعندئذ ينبغي أن تكون عصابة واحدة على الأقل غير ممتلئة كلياً. إن مادة كهذه ينبغي أن تكون، يقيناً، مادة معدنية وفق نظرية العصائب.

بدأ البحث وبصورة جديّة عن السطوح التي تحقق هذه الشروط، وإن تكن لا تبدي سلوكاً عزلياً، في التسعينيات من القرن الماضي. ففي إحدى التجارب التقليدية تمت هندسة عازل موط على سطح من السليكون وذلك باستنفاد إلكتروناته أولاً عن طريق استخدام بور مغترس. ثم جرى بعد ذلك امتزاز البوتاسيوم للإمداد بالإلكترونات إلى الحد الكافي الذي يحقق معيار بلوخ-يلسون للمعدن [5]. لكن المعطيات المأخوذة من مطيافية الإصدار الفوتوني (التي تستخدم الضوء لطرد الإلكترونات من المادة وتبيان توزع طاقاتها) أظهرت وجود فرجة بين العصائب المملوءة والعصائب الفارغة. إن هذا التناقض مع نظرية العصائب أعطى دليلاً قوياً (تم تأكيده أخيراً بصورة نظرية [6]) بأن سطح السليكون المغطى بالبوتاسيوم هو عازل موط.

## References

- [1] Bloch, F. Z. Phys. 52, 555-600 (1928).
- [2] Wilson, A. H. Proc. R. Soc. Lond. A 133, 458-491 (1931).
- [3] Cortés, R. et al. Phys. Rev. Lett. 96, 126103 (2006).
- [4] Mott, N. F. Metal-Insulator Transitions (Taylor and Francis, London, 1974).
- [5] Weitering, H. H. et al. Phys. Rev. Lett. 78, 1331-1334 (1997).
- [6] Hellberg, C. S. & Erwin, S. C. Phys. Rev. Lett. 83, 1003-1006 (1999).
- [7] Carpinelli, J. M. et al. Nature 381, 398-400 (1996).
- [8] Carpinelli, J. M. et al. Phys. Rev. Lett. 79, 2859-2862 (1997).
- [9] Avila, J. et al. Phys. Rev. Lett. 82, 442-445 (1999).



# إنفلونزا الطيور



## و العالم الجديد

لم يصل فيروس إنفلونزا الطيور H5N1 بعد إلى مناطق أمريكا الشمالية وأمريكا الجنوبية. ما الذي يمكن أن يحدث إذا حصل ذلك؟

بشكل جيد لوصول فيروس H5N1، يجادل آخرون بأنهم- برغم ذلك- يجب أن يُعدّوا العدة لهذا التحديّ بمداه الكامل. يقول مارك كاكلر M. Cackler، وهو مدير في البنك العالمي للزراعة في أمريكا اللاتينية والبحر الكاريبي: "عندما يصل فيروس H5N1، فهو سيجعل العقول تركز على نحو عجيب".

صحيح أن العالم الجديد لم يصب بسوء حتى الآن، ولكن العديد من الخبراء يعتبرون وصول الفيروس إلى أمريكا الشمالية وأمريكا الجنوبية أمراً محتوماً. فهذه المنطقة هي الموطن الأساسي لأكبر مصدري الدواجن في العالم، أي البرازيل والولايات المتحدة. وعلى الرغم من أن الحكومة ومسؤولي الصناعة يقولون أنهم مستعدون

لقد بدأ فيروس H5N1 في وقت ما مشكلةً تكمن في مزرعة الفناء الخلفي لبلدٍ ما آخر غير أمريكا. ولكن منذ الصيف الماضي، اندفع فيروس الإنفلونزا المميت من جنوب شرق آسيا مجتاحاً أوروبا والشرق الأوسط وإفريقيا. وقد واجهت 51 دولة (ومنها 36 دولة في هذا العام فقط) جائحات حالياً.

كداء الحمى القلاعية. ويشتمن لوبروث هذه القارة عالياً لامتلاكها "الوعي الكبير لصالح الكشف والاستجابة السريعين".

أما صناعة الدواجن في البرازيل فإنها أكبر حجماً منها في الولايات المتحدة. إذ تنتشر مزارع الساعات الخلفية للمنازل في الجزء الشمالي الشرقي الفقير من البلد، كما تتوزع الملكيات الصغيرة في أنحاء المناطق المدنية وعلى ضفاف نهر الأمازون. ولكن يبقى إنتاجها الأساسي في المزارع التجارية الكبرى، والتي تدرك تماماً المخاطر الاقتصادية لفيروس H5N1، على حد قول لوبروث. إذ يقول متنبئاً: "إذا ما دخل فيروس H5N1 صناعة الدواجن في البرازيل، فإنه سرعان ما سيُسحق بغية حماية هذه الصناعة الرئيسة".

يجادل كاكلر Cackler، الذي يعمل في الوحدة المخصصة لمتابعة إنفلونزا الطيور في البنك الدولي بأن تلك الفكرة متفائلة بشكل مفرط. ويقول بأن العديد من دول أمريكا الجنوبية لم تدرك إلا مؤخراً بأن فيروس H5N1 هو أمر ينبغي عليهم التخوف منه. إنه يستذكر حديثه مع وزير الزراعة "إحدى الدول التي لن نذكر اسمها" وذلك في شهر تشرين الثاني/نوفمبر المنصرم، والذي على حد قول كاكلر "لم يستوعب الموضوع، معتبراً أن فيروس H5N1 أمر لا يدعو للقلق". ولكن حينما التقى كاكلر به مرة أخرى في كانون الثاني/يناير، بعدما اجتاح فيروس H5N1 أنحاء أوروبا، يذكر كاكلر أن "الرَّجُل أدرك التخوف هذه المرة".

بشكل جيد، إذ عانت من تفشيات متوالية. أما مصالح الصحة الحيوانية المتطورة في الولايات المتحدة وكندا فقد نفذت إجراءات مشابهةً لتلك التي طبقتها فرنسا، ويتوقع منها على نطاق واسع احتواء أية حالة تفش لفيروس H5N1.

وعلى خلاف أقاليم جنوب شرق آسيا وكذلك إفريقيا، حيث تعيش الدواجن خارج المنازل وتختلط بحرية مع بعضها ومع الطيور البرية، فإن مجموعات الدجاج في الولايات المتحدة تتركز بشكل كبير في مزارع صناعية، حيث تربي الطيور بداخلها معزولة عن الملوثات الخارجية. أما نقطة الضعف المحتملة فإنها تكمن في الأسواق الشعبية النابضة بالحياة في كاليفورنيا والولايات الشمالية الشرقية. ففي الشمال الشرقي من البلاد، عانت تلك الأسواق من فيروس إنفلونزا طيور ذي إمراضية منخفضة، وهو H7N2 منذ عام 1994. ونشير إلى أنه في الماضي، حمل ما تساوي نسبته 60% من الطيور التي جرى اختبارها فيروسات الإنفلونزا، وذلك رغم كون إجراءات المراقبة قد خفضت من مستوياته.

وقد قال دافيد سواين D. Swayne ودافيد سورايز D. Suarez من المخبر الأساسي للأبحاث الخاصة بالدواجن في وزارة الزراعة الأمريكية في مدينة Athens في جورجيا، وذلك في ورشة عمل هامة في عام 2004 حول التخطيط الوبائي تم تنظيمها من قبل الأكاديميات الوطنية الأمريكية: "ما تزال مثل أسواق الحيوانات النابضة بالحياة هذه تمثل مصدراً أساسياً لفيروسات إنفلونزا الطيور وتشكل خطورة في إدخال التعديلات على الأشغال التجارية الخاصة بالدواجن".

وحسب قول الخبراء، فإن أمريكا الجنوبية تواصل الاستعداد بشكل جيد كذلك. إذ إنها تملك عقوداً من الخبرة في معالجة أمراض أخرى شديدة العدوى،

وتشكل التجارة والتهريب والطيور المهاجرة جميعها طرقاً محتملة لوصول H5N1 إلى الأمريكتين. أما كيف يصل فإنه في النهاية شأن أقل أهمية من وقف ما يلحق ذلك من المرض، حسبما يقول جوان لوبروث J. Lubroth من المنظمة العالمية للأغذية والزراعة. وهنا لا يوجد أي نقاش فيما يخص ماهية سبب الانتشار، حيث يضيف قائلاً: "إنها ليست الطيور المهاجرة، بل هي الأفعال البشرية وممارسات الزراعة والتجارة".

هذا وتقدم الخبرة في آسيا وأوروبا أفضل ممارسات التحكم بإنفلونزا الطيور، حسبما يقول جيم بتلر J. Butler، وهو المدير العام لمعهد التعاون الزراعي الأمريكي في سان خوسيه بكوستاريكا "لسنا بحاجة إلى إعادة ابتكار كل شيء". بل إن واجب الأمريكتين ينصب بشكل أكبر على "بناء الوعي" للمخاطر وإيجاد أفضل الممارسات.

وتتضمن مثل هذه الممارسات تأسيس قدرات المسح والتشخيص التي تستطيع أن تكشف بسرعة كل تغشٍ أولي للمرض. ولكن على الرغم من كل الجهود الجادة، ستمضي بعض الفيروسات دون كشف، وبذلك ينبغي أن يكون لدى الدول سياسات جاهزة لجعل منظوماتها الفلاحية أكثر مرونة.

وقد تكون سياسات كهذه بسيطةً كبساطة مطالبة صناعة الدواجن بتعقيم جميع المواد والأشخاص الذين يتحركون دخولاً وخروجاً من وإلى المزارع. ومطالبة أخرى بإعادة تنظيم صناعات الدواجن الوطنية في "خلايا" إقليمية تعمل بشكل مستقل إحداهما عن الأخرى، بحيث إنه إذا أصيبت إحدى هذه الخلايا بفيروس H5N1، فإن البقية لن تصاب.

لقد استعدت فرنسا بتطبيقها كالتا المقاربتين، وقد تم حتى الآن وقف فيروس H5N1 في حدوده الحالية. ولم تفلح تركيا

نشر هذا الخبر في مجلة:

Nature, Vol 441, 11 May 2006



## يدعي الاقتصاديون أن تخفيضات الكربون لن تضعف البنك الدولي

التي صدرت في أواخر الشهر الماضي، فإن تكاليف المحافظة على استقرار مستويات ثاني أكسيد الكربون يمكن أن تكون ضئيلة جداً - أي ما يعادل تأخير النمو العالمي لمجمل الناتج المحلي (GDP) بنسبة تقل عن 1% طيلة 100 سنة. مع العلم بأن نسبة النمو لمجمل الناتج المحلي العالمي تبلغ على العموم ما بين 2-3% كل سنة. وفي بعض الحالات، يمكن للسياسات الصحيحة المتبعة للحد من انبعاث الكربون أن تؤمن أرباحاً مدهشة (أي

إن عملية تحويل صناعة الطاقة العالمية من أجل إيقاف وابل غازات الدفيئة إلى داخل الغلاف الجوي يمكن أن تكون بحق رخيصة جداً.

وغالباً ما يرد ذكر أرقام بعشرات التريليون من الدولارات في صدد الاستفسار عما إذا كانت إجراءات مثل معاهدة كيوتو التي تسعى للحد من انبعاث الكربون باهظة الثمن جداً. ولكن وفقاً لمجموعة النماذج (الموديلات) الاقتصادية

.....  
**"سيكون تخفيض غازات الدفيئة رخيص الكلفة نسبياً، ولكن فقط إذا فعلنا الأشياء الصحيحة".**  
 .....

وضعاً رابحاً) مما يؤدي إلى المحافظة على استقرار وضع غازات الدفيئة وإلى زيادة في الثروة العالمية.

إنه استنتاجٌ خلافِي لا يوافق عليه الجميع ولكن ما يقوله المُنمذجون يجب أن يكون بمثابة قوت لأفكار صنّاع السياسات. ويقول مايكل غراب M. Grubb الذي يعمل كخبير في مجال السياسة المناخية لدى إمبريال كوليدج في لندن: "إذا قمنا بالتحضير بشكل ملائم وسلمنا بإمكانية كبح الكربون، فسيكون ذلك رخيصاً بشكل نسبي"، وأضاف "ولكن فقط إذا فعلنا الأشياء الصحيحة".

تحاكي هذه الموديلات قضية معقدة في الاقتصاد مفادها: كيف يمكن لسياسات الحكومة حول المناخ، مثل الاستثمار البحثي أو تنظيم انبعاث غازات الدفيئة أن تُحقق تطوراً تقنياً. ومن الواضح أن التقانات تتطور، لكن العمليات ذات الصلة لم تُحلّ إلى عواملها في الموديلات الاقتصادية إلا منذ أواخر التسعينيات، ويعود السبب في جزء منه إلى صعوبة تفسير كيفية حدوث التطورات. أما مشروع مقارنة النمذجة المُستحدث الذي نُشر في إصدار خاص من Energy Journal، فإنه جهد استمر لسنتين ويتضمن 11 موديلًا مختلفًا لتمثيل آخر ما توصل إليه التفكير في هذه المشكلة. لقد جاءت النتائج مدهشة - إذ إن تسعة من هذه الموديلات تتنبأ بأن تثبيت مستويات ثنائي أكسيد الكربون عند نسبة 450 جزءاً من المليون (الذي يُشكّل رقماً يُنظر إليه على نحو واسع بأنه الغاية الأكثر طموحاً التي تستحق المناقشة) سيخفض مجمل الناتج المحلي GDP العالمي بنسبة تقل عن

0.5% تقريباً بحلول العام 2100 (مع العلم أن الرقمين الحاصلين الآخرين هما 2.1% و6.2%). وفي كل سيناريو، يقنع تنظيم انبعاثات غازات الدفيئة القطاعات الخاصة بتحويل الاستثمار نحو تقانات خفض الكربون، التي ستصبح منافسة للمصادر التقليدية للطاقة.

وفي بعض الحالات، يعمل هذا التحويل في الاستثمار على تحفيز النمو وتعزيز إجمالي الثروة بشكل فعلي. فعلى الأقل، هذه هي نتيجة اثنين من الموديلات، تم تطوير أحدهما في جامعة كامبردج في المملكة المتحدة، والآخر في مؤسسة فوندازيون إنريكو ماتيه Fondazione Eni Enrico Mattei التي تعدّ مركزاً لبحوث التنمية المستدامة في إيطاليا. وتوحي هذه الموديلات بأن سياسات الاستقرار ستؤمّن دفعا إضافياً لمجمل الناتج المحلي GDP بواقع يصل حتى 1.7% على مدى مئة سنة. وتفتقر تلك الموديلات أن مثل سياسات المناخ هذه ستؤمّن منافع جانبية، مثل زيادة الاستثمار في مجال التقانات الجديدة.

هذا ويقول أوتمر إيدنهوفر O. Edenhofer وهو اقتصادي في معهد بوتسدام لأبحاث تأثيرات المناخ في ألمانيا الذي حرر العدد مع غراب Grubb وآخرين بأن التقديرات الجديدة لمجمل الناتج المحلي المفقود تقل بشكل ملحوظ عن التقديرات السابقة التي حدّدت المجال بين 3 و15%. ويوافق تيري باركر T. Barker (الاقتصادي الذي ساعد في تطوير موديل كامبردج) على أن هذه الموديلات توحي بأن التكاليف ستكون أقل بكثير، لاسيما وأن هذه التكاليف سيتم نشرها على مدى 100 سنة.

ومن المحتمل أن تؤثر هذه الموديلات على التقرير القادم للجنة الحكومات حول تغير المناخ، المتوقع إصداره في السنة القادمة. كما يأمل المؤلفون بأن النتائج ستسرّب

حينذاك إلى الحكومات. ويقولون أنه لا يمكن تحقيق أرخص طريق للاستقرار إلا إذا أعطيت الصناعات إشارة قوية بمواصلة تقييد انبعاثات الكربون. وهذا يعني أنه يجب على الولايات المتحدة أن تنضم لنسخة مستقبلية من بروتوكول كيوتو. ويقول المؤلفون كذلك أن على أوروبا أن تفعل المزيد، لاسيما بخصوص الاستثمار في تقانات الطاقة حيث إنها تتلأ خلف الولايات المتحدة.

غير أن بعض الاقتصاديين متخوفون من النتائج، فما هو جيه إدموندز J. Edmonds الذي يعمل في مختبر باسيفيك نورث ويست ناشنال Pacific Northwest National في ريتشلند بواشنطن، يصف تلك الموديلات بأنها "تجربة فكرية" قيمة. لكنه يتحرى حقيقة كون معظم الموديلات تؤكد على التعلم عن طريق الممارسة وهي عملية تصبح التقانات بواسطتها أرخص كلفة كلما تعلمت الصناعة كيفية إنتاجها بكفاءة أكبر.

وعلى سبيل المثال يُشير إدموندز إلى أن العديد من أشكال التقدّم التي حدثت في مجال المركبات الهجينة hybrid vehicles أصبحت ممكنة التحقيق بفضل إنجازات في مجالات خارج نطاق صناعة السيارات. فمن الصعب تمييز هذه الإنجازات من تلك الناتجة عن التعلم عن طريق الممارسة أو عن الأبحاث التي تجربها شركات السيارات. ويحذر إدموندز أنه فيما لو نُسبت الإنجازات إلى إحدى هاتين الآليتين حصراً، فإنه يمكن أن يُبالغ في تقييم فوائد العملية وأن يبخس تقدير التكاليف: "إننا لا نملك بالضرورة معرفة جيدة عن مدى أهمية العوامل المختلفة وعن كيفية تأثرها بعضها مع بعض".

نُشر هذا الخبر في مجلة:

Nature, Vol 441, 18 May 2006

## المضادات الحيوية

### تواجه مستقبلاً مشكوكاً به

مضادان حيويان هما تريكلوزان triclosan وأيزونيازيد isoniazid، اللذان يستهدفان أنزيمًا آخر يعمل في اصطناع الحموض الدسمة، ولكن هذين المضادين لا يقتلان الصفييف نفسه من البكتريا.

توصل الباحثون في مخابر بحوث شركة ميرك Merck في راهوي Rahway، بنيجيرسي، إلى اكتشاف البلاتينسيمايسين عن طريق إحياء وتوليف استراتيجية متبّعة. فقد قاموا بالبحث عن مركبات موجودة أصلاً بشكل طبيعي، تصنعها الميكروبات نمطياً من أجل قتل البكتريا المجاورة.

وهذه التقنية تعطي في الأصل عدة مضادات حيوية قوية، ولكن العديد من شركات الأدوية عزف عنها بسبب تساؤل نسبة الأرباح، وتمّ استبدالها بطرائق أخرى لتوليد جزيئات تركيبية مستحدثة. وبشكل تقليدي، يختبر الباحثون ما إذا

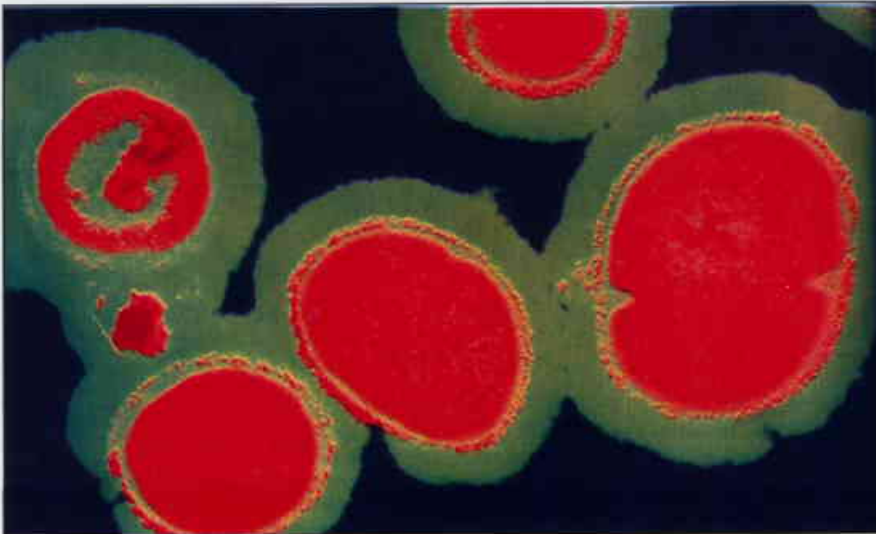
تمّت الموافقة على استخدامهما منذ أوائل الستينيات: وهما الدايتومايسين daptomycin واللاينزوليد linezolid. إن معظم المضادات الحيوية المستخدمة حالياً كانت قد اكتُشفت في الأربعينيات والخمسينيات من القرن المنصرم، أما النسخ الأحدث فقد صنّعت بشكل رئيسي عبر التسابق الكيميائي nipping and tucking بين هذه المركبات. وفي العادة تقتل المضادات الحيوية البكتريات عن طريق منعها من إنتاج البروتينات، أو الدنا DNA أو الجدار الخلوي للبكتريا.

يمتلك البلاتينسيمايسين بنية كيميائية مستحدثة ويعمل بشكل يختلف عن المضادات الحيوية التجارية الأخرى المتاحة بكونه يعطل الأنزيم البكتيري FabF الداخل في تصنيع الحموض الدسمة. وهكذا يمنع هذا العقار البكتريا من صنع الأغشية الخلوية الدهنية التي تحتاجها للنمو. ويتوافر بالأسواق أيضاً

ثمة مضاد حيوي جديد يبعث الإثارة والإحباط في أن معاً. إنه الصنف الكيميائي الأول والجديد من المضادات الحيوية الذي يُعثر عليه في زمنٍ يفوق عقدين من السنين، لكن الخبراء يخشون إمكانية أن تعني عوائق تحويل هذا المركب إلى عقار فعّال تجارياً، الانتهاء به إلى جمع الغبار على الرف.

يقتل هذا العقار المسمى بلاتينسيمايسين platensimycin، بضع بكتريات رئيسية مقاومة للعقاقير تجتاح المشافي. وترد في هذا السياق البكتريات العنقودية الذهبية المضادة للميثيسلين (MRSA) methicillin وكذلك البكتريات المقاومة للفانكوميسين vancomycin التي تُمثّل واحداً من الخطوط الدفاعية الأخيرة للمضادات الحيوية.

لم يُكتشف سوى صنفين كيميائيين جديدين آخرين من المضادات الحيوية، وقد



لقد تمّ اكتشاف مضاد حيوي يقتل العنقوديات الذهبية الضعيفة المقاومة للميثيسلين.

## "إن اكتشاف البلاتينسيسمايسين يُبرز حقيقة أن المركبات ما تزال تنتظر اكتشافها"

كانت كمية صغيرة جداً من مادة كيميائية ما، تستطيع أن تبيد زمرة بكتريات على شريحة زجاجية. ولكن من خلال جعل البكتريات أكثر حساسية، فتش باحثو شركة ميرك عن منتجات طبيعية قد تكون افترقت في مثل هذه المقاييس المتبعة. لقد هندسوا engineered بكتريات عنقودية ذهبية تستطيع تصنيع كمية من الأنزيم FabF تقل عن الكمية الطبيعية وذلك باستخدام قصاصة من الرنا RNA تمنع إنتاج هذا البروتين.

وبعد ذلك قام الباحثون باختبار ما إذا كان أي من الـ 250.000 مستخلص طبيعي يمكنه أن يوقف نمو السلالة العاجزة، ومن ثم استخرجوا البلاتينسيسمايسين، الذي هو جزيئة صغيرة تصنعها بكتريات Streptomyces platensis الموجودة في عينة تربة من جنوب إفريقيا. يقول ستيفن سوايسون، أحد قادة الباحثين: "لقد أتاحت لنا أن نجد إبرة في كومة قش، وشيئاً ما يمكن أن نكون قد افترقناه بطريقة أخرى من الاستقصاء".

ثمّة علماء آخرون مبهجون بالمركب الجديد، ويقولون بأنه قد يستثير اهتماماً متجدداً بالمركبات الطبيعية وبطريقة مهاجمة مسار اصطناع الحموض الدسمة. يقول ستيفن بروجان S. Projan من مركز أبحاث وايت في بيرل ريفر، بنيويورك: "ومن وجهة نظر علمية هذا هو ما تريده، صنف جديد ضد هدف جديد". ولكن عالم الأحياء الدقيقة كارل ناتان C. Nathan من كلية ويل الطبية في جامعة كورنيل Cornell في نيويورك يحذر قائلاً: "إن الخطوات التالية محفوفة بالخطر" ويضيف: "إن العوائق مخيفة بحق".

يمكن أن يصطدم البلاتينسيسمايسين بواحدة من عدة عقبات علمية، سواء العقبات المالية أو التنظيمية. إن أحد الهموم هو أن المضادات يمكن أن تكون غير مستقرة في الجسم، لأن فريق البحث كان عليه تشريب العقار بشكل مستمر داخل الفئران كي يُجنّبها الإصابة بخرمخ العنقودية الذهبية. وقد يحتاج هذا المركب الكيميائي تحويراً modification واسعاً لجعله أكثر ثباتاً. وقد يتبين عدم جدواه إذا كانت له تأثيرات جانبية سامة.

يقول فرانك تالي F. Tally، وهو الموظف العلمي المسؤول في شركة Cubist Pharmaceuticals في ليكسنغتون بولاية ماستشوسيتس، الذي طور مركب الدابتومايسين Daptomycin: "إن اختبار المضادات الحيوية في التجارب الطبية هو أيضاً عمل شاق وباهظ الكلفة. ويعود ذلك جزئياً إلى أن إدارة الغذاء والدواء الأمريكية (FDA) لا تمتلك توجيهات واضحة للمصادقة على المضادات الحيوية الجديدة. وحتى لو تمت الموافقة على عقار البلاتينسيسمايسين لغرض الاستخدام البشري، فإنه على الأرجح سيلاقى مصير أسلافه طالما أن البكتريات سرعان ما تكتسب مقاومة تجاهه. يقول ناتان: "يمكن أن يدفع به إلى العيادات، ومن ثم يتضاعل استعماله بسبب مقاومة العقار".

وإذ ننتظر مثل هذه المهمة المهولة قدماً، يخشى بعض علماء الأحياء الدقيقة microbiologist أن لا يتبقى أمام شركة ميرك سوى دافع قليل لتطوير هذا العقار. ليس فقط لأن تكاليف العملية باهظة جداً، ولكن لمحدودية السوق المحتملة لمضاد حيوي جديد والذي غالباً ما يُستخدم بشكل حريص ولا يُعطى كدواء إلا لمدة أسبوع أو أسبوعين. وهذا ما استحثت عدداً من شركات المستحضرات الصيدلانية الضخمة لإنقاص برامجها في أبحاث المضادات

الحيوية خلال الأعوام الأخيرة.

يرفض باحثو شركة ميرك الإفصاح عن خططهم بخصوص البلاتينسيسمايسين، مع أنهم ينوّهون بأنهم يعملون في هذا المجال. يقول شيو سينغ S. Singh (وهو أحد قادة باحثي شركة ميرك): "نحن ما نزال منهمكين في إجراء أبحاث المضادات الحيوية، وما كنا لننشغل لولا أننا لا نريد تطوير مركباتنا الخاصة".

لقد اقترحت عدة حلول للإبقاء على العقاقير الجديدة تتدفق على العيادات الطبية طالما أن الأحياء الدقيقة تتغلب على العقاقير القديمة. وقد اقترحت الجمعية الأمريكية للأمراض المعدية مصفوفة من المعايير التنظيمية في العام 2004 يمكن أن تستميل شركات العقاقير لتطوير مضادات حيوية مثل المعايير التي نَقحتها الجمعية الأمريكية للأمراض المعدية (FDA) لغرض الموافقة على المضادات الحيوية ولغرض الحصول على تخفيضات ضريبية في مجال صناعة العقاقير. ونشير إلى أن بعض الباحثين أخذ يعود إلى إجراءات بديلة لمحاربة البكتريات المهتدة للحياة، مثل العاثيات bacteriophage القاتلة للميكروبات وكذلك اللقاحات.

ولكن ما يزال العديد من العاملين يعتقدون أن المضادات الحيوية المستحدثة تبقى أفضل الطرق المُجرّبة والمختبرة لمكافحة الميكروبات. وهم يقولون بأن اكتشاف البلاتينسيسمايسين يُبرز حقيقة أن هذه المركبات ما تزال تنتظر اكتشافها. يقول تالي Tally: "بورقة علمية كهذه، يمكن أن يبدأ الناس بالعودة إلى الاستثمار في هذا القطاع، مادامت تبين إمكانية العثور على جزيئات جديدة في مصادر معروفة جيداً.

نُشر هذا الخبر في مجلة:

Nature, Vol 441, 18 May 2006

# منمّشات النانو تحقق بصماتها

حسبما يشرحه كولين ويلش C. Welch وجون بوجوين J. Burgoyne، فإن تقنيات تنميش البلازما لتصنيع الأدوات أخذت تقطع خطوات واسعة ضخمة إلى الأمام على المستوى النانوي

المتفاعل RIE. وأصبحت البلازما المقرونة تحريضاً (ICP) inductivity coupled plasma التقنية السائدة نتيجة لبساطتها وارتقاها التدريجي scalability. هذا، وتتألف منظومة ICP النمطية من أنبوب عازل ذي وشيعة خارجية راديوية التواتر تعمل كإلكترود علوي وإلكترود مسنّن سفلي توضع عليه المادة. ويتفكك غازٌ خاملٌ ناجمٌ عن العملية إلى جذور radical وأيونات متفاعلة بواسطة الحقل الكهربائي على أن يكون الغاز المختار يغطي نواتج متطايرة في تفاعلها مع سطح المادة. هذا، وتتحول المادة الصلبة إلى غاز تجري إزالته بمنظومة تخلية. ونشير إلى أنه عند الضغط المنخفض بشكل كافٍ، يمكن بشكل نموذجي توليد كثافة بلازما عالية تفوق بـ 10 إلى 100 مرة كثافة بلازما RIE التقليدية.

يُقدّم الترتيب (ICP) سرعة تنميش أعلى بكثير من RIE التقليدي وكذلك بضغط

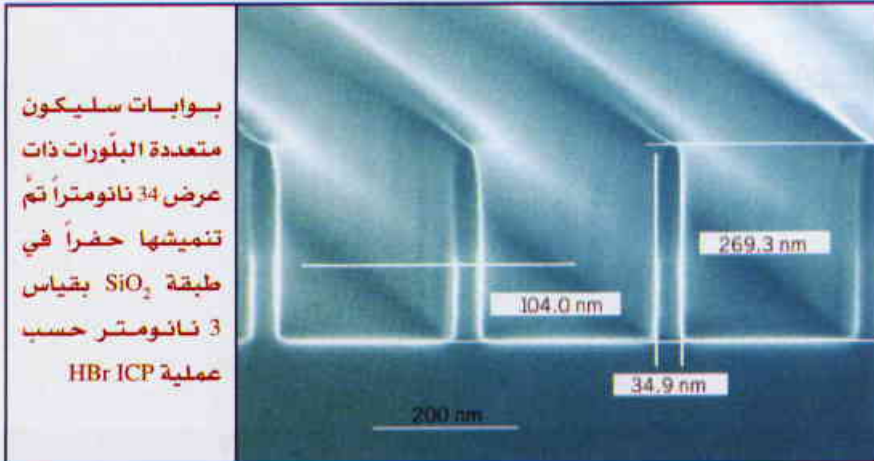
السليكوني في المنظومات المذكورة آنفاً (MEMS)، انتقل الاهتمام مؤخراً إلى حجوم معالم تحت ميكرونية submicron وإلى أعماق أفاق التطبيقات الحقيقية لتقانة النانو.

وحتى وقت قريب، كان استخدام تقانة التنميش البلازمي، وبخاصة التنميش الأيوني المتفاعل RIE من أجل هندسة معالم تقل حجمها عن 100 nm، أمراً تقنيه صعباً إنجاز عمليات تنميش انتقائية ومثسقة بقدر كافٍ، كما تقنيه صعبة تحقيق النسبوية العالية المطلوبة للمظهر. لكن النجاحات الحديثة في التنميش البلازمي جعلت تحقيق هذه الأهداف ممكناً في تطبيقات مثل التنميش النانوي السليكوني لبلورات فوتونية ذات بُعدين وطبقات سليكون نانوية المقياس على عوازل MOSFETs.

لقد تمّ تطوير منظومات بلازمية عالية الكثافة (HDP) لتخطي قيود التنميش الأيوني

كان تنميش المواد الإلكترونية الدقيقة بواسطة بلازما الغاز جزءاً أساسياً في تصنيع الأدوات لمدة تفوق الـ 30 عاماً. وقد حل تنميش البلازما محل التنميش الكيميائي الرطب في العديد من التطبيقات الحديثة وذلك بسبب قدرته على تنميط الأجسام بتحكم دقيق في حجم وشكل المعلم المراد ولاسيما قدرته على إجراء التنميش على نحو متباين الأوضاع. ولقد تمثل المجال الرئيسي الأول لاستغلال التنميش البلازمي في تقانة CMOS المبنية على السليكون، غير أنه مرّ وقت طويل على توسيع منافعها لتشمل نطاق أنصاف النواقل المركبة مثل: (GaAs, GaN, InP... الخ). وكان التنميش الأيوني المتفاعل (RIE) reactive ion etching أول تقانة بلازمية رئيسية تُستخدم في هذه المجالات، ويستمر بالفعل استخدامها في تطبيقات عديدة.

ورغم أن السليكون يبقى في لبّ الإلكترونيات الدقيقة على شكل CMOS، ثمّة مدى متزايد من النطاق الدقيقة والنانوية مبنية على السليكون المنمّط patterned silicon. ولقد ترسّخ بشكل جيد استخدام التنميش البلازمي في تصنيع منظومات كهربائية وميكانيكية دقيقة (MEMS): إذ تمّ استخدام نطاق MEMS كمقاييس تسارع accelerometers في محافظ الهواء الخاصة بالسيارات وفي منظومات حماية القرص الصلب في الكومبيوترات الشخصية laptop. ولكن بعد أن نضج التنميش



متباين الأوضاع فيما يخص نسب الناحية العالية. ويمكن تأمين اصطفائية كبيرة جداً فوق كل من المقاوم للضوء والأكسيد.

تثبت إتاحة الاستراتيجيات المتعددة للتنميش السليكوني النانوي قيمتها في التطبيقات الجديدة النانوية التقانة. فعلى سبيل المثال، يمكن استخدام مصفوفات من دعائم سليكون نانوية من أجل احتجاز الـ DNA. ونظراً للإغراء المتمثل في كون السليكون رخيصاً ومفهوماً بشكل جيد ومتوافراً بشكل كبير كمادة هندسية، فمن المحتمل استمرار الأهتمام به، وستتيح قابلية البنى الهندسية النانوية صنع العديد من النماذج والتطبيقات الجديدة والعديدة.

نشر هذا الخبر في مجلة:

PhysicsWorld, June 2006

undercutting على السليكون أمراً مهماً. ويشمل ذلك البلورات الفوتونية ذات البعدين، حيث تؤمن إضافة طبقة عازل  $SiO_2$  حصراً confinement عمودياً للضوء في السليكون.

هذا، ويستفيد الخيار الثاني (التنميش بكيمياء التفلور بدرجة حرارة الغرفة) من كيمياء لا تاكلية ( $SF_6$ ,  $C_4F_8$ , etc) بدرجة حرارة الغرفة ومن اصطفائية أكبر لسرعة تنميش السليكون فوق أقنعة مقاومة للضوء، لكن هذا التنميش يكون ذا اصطفائية أقل فوق الأكسيد منه في عملية HBr.

أخيراً، تؤمن عملية التنميش السليكوني القري cryogenic أداءً عالياً باستخدام درجات حرارة للمعالجة نون 175 K بالترابط مع كيمياء أكسجين هيكسافلوريد سلفور عديم التآكل. وفي درجات الحرارة المنخفضة هذه، يكون ناتج التنميش متطابقاً هامشياً ويعمل على وقاية الجدران الجانبية للمعلم المنمّش، الأمر الذي يمكن من إجراء تنميش

عمليات أقل، مما يسمح بتحكم ممتاز بالحجم والإطالة. ويستخدم ICP بشكل واسع في تطبيقات التتميط العالية (مثل MEMS).

الجدير بالذكر أن هناك الآن حاجة لتطوير استراتيجيات عملياتية تخص أحجام معالم أصغر قدماً (أقل من 100nm) يتطلبها الجيل اللاحق من النماذج الميكروية المقياس والنانوية المقياس. وقد تم تطوير ثلاث استراتيجيات من هذا القبيل في شركة Oxford Instruments بالتعاون مع زبائن أدوات منظومة بلازمالاب التابعة للشركة.

تكون عملية السليكون على العازل Silicon-on-insulator (SOI) المعتمدة على بروميد الهدروجين مفيدة حينما يكون المطلوب إحداث تنميش عالي الانتقائية للسليكون فوق عازل  $SiO_2$ ، كما في MOSFETS بقياس نانو حيث يكون أكسيد البوابة رقيقاً جداً. وهذا أيضاً مناسب لتطبيقات SOI أخرى حين تكون الحرية المتوفرة من القط التحتي

## عن أشربة كمومية

## البحث

هل الأشربة الكمومية موجودة أم لا؟ ثمة مزيد من الأدلة المباشرة على السلوك الخلفي للإلكترونات في النواقل الفائقة بدرجات الحرارة العالية تأتي من قياسات اهتزازات الشبكة الذرية.

النحاس المشهور استخدامها كنواقل فائقة عند درجات الحرارة العالية. ومن المفترض أن تشكل هذه المواد نماذج أو طرزاً منتظمة organized patterns إلى حد كبير تدعى الأشربة الكمومية quantum stripes - لكن ذلك فقط في مقياس زمني بالبيكوثانية، حيث يتشتت متوسط الطرز

منذ 1995 و"حروب الأشربة stripe wars" تستعر في عالم الناقلية الفائقة عند درجات الحرارة العالية. إن هذا النزاع القوي، الذي استخدم أمضى الأسلحة في الفيزياء التجريبية، كان له سابقة ادعاء ثار فيه جدل حام حول الطريقة التي تسلكها الإلكترونات في مواد أكسيد



فوق فترات أطول خلال الرقص الكوموي الثابت للإلكترونات.

دام الجدول طويلاً، فقط، بسبب صعوبة إثبات مثل هذا السلوك الكوموي الأصيل. بيد أن رزنيك وآخرين [1] Reznik et al. يقدمون، أدلة أخرى في هذه القضية لتأييد الأشرطة الكوموية quantum stripes. فهم يبينون أن الاهتزازات الجماعية للشبيكة الذرية لأكاسيد النحاس الفائقة النقل تسلك بطريقة يصعب تفسيرها - ما لم نفترض أن الحركات المميّزة لوجود الأشرطة الكوموية تقوم بهزّ الشبيكة الأيونية. وهنا نتساءل: هل تلوح نهاية الخصومات في المنظور؟

من المعلوم من الخبرة اليومية، في المنظومة المتعددة الأطراف أنه تنشأ سلوكيات جماعية لا ترتبط إطلاقاً بسلوكيات الأطراف التي تتألف منها. فتطور اقتصاد أمة من الأمم، على سبيل المثال، يصعب التنبؤ به من البواعث المتصارعة الكثيرة لأفراد البشر المكونين لهذه الأمة. وتطبق المبادئ نفسها على الفيزياء الكوموية. لكن القواعد الصحيحة التي تحكم الانبثاق الكوموي quantum emergence ضعيفة الفهم من قبلنا؛ إن الكشف عن هذه القواعد هو صميم شغل الفيزياء الحديثة.

إن النواقل الفائقة التقليدية - أي تلك التي تعمل فقط عند درجات الحرارة القريبة جداً من الصفر المطلق - لا تعرض إلا الشكل الأدنى للانبثاق الكوموي. وفي مثل هذه المواد تتضاعل التأثيرات بين الإلكترونات عند درجة الحرارة المنخفضة، وتتحوّل منظومة الإلكترونات الجهرية macroscopic electron system إلى غاز كوموي قريب من المثالي (غير متأثر) من "أشباه" إلكترونات quasi-electrons. ويعمل تآثر جذبي متبقي صغير على ربط أشباه الإلكترونات هذه أزواجاً أزواجاً، ثم يتداعى هذا الأخير بدوره إلى حالة كوموية واحدة في عملية تعرف باسم تكثف بوز-نشتاين Bose-Einstein condensation.

رغم أن هذه النظرية في الناقلة الفائقة، والمعروفة بموديل باردين-كوپر-شريفر (اختصاراً BCS)، تصلح تماماً بالنسبة للنواقل الفائقة التقليدية، فإنه يصعب عليها تفسير أي شيء يتعلق بالنواقل الفائقة عند درجات الحرارة العالية. إن اكتشاف هذا الشكل من الناقلة الفائقة القوي استثنائياً والذي تم منذ عشرين عاماً قد أزعج الستار عن دراما ذات صلة أوسع بالموضوع: ذاك أن العدد الضخم من الإلكترونات المتأثرة بقوة في طبقات أكسيد النحاس كانت تبدي بوضوح نوعاً مجهولاً من الفيزياء الكوموية الجماعية collective quantum physics [2]. ولقد تم في العام 1995 اكتشاف [3] وهو أن التغيرات الصغيرة في البنية البلورية للنواقل الفائقة عند درجات الحرارة العالية يمكن أن تؤدي إلى اختفاء الناقلة الفائقة، مع الاستعاضة بطور غريب هو طور الشريط السكوني "static stripe phase" (الشكل 1). وهنا تعمل التأثيرات القوية والحركات الكوموية جنباً إلى جنب لتشكيل طُرز من الإلكترونات تتحرك في طوابير متراسة. وتفصل بين "أنهار الشحنة" هذه قطاعات تتوقف فيها الإلكترونات بشكل تام (الشكل 1b).

إن وجود الأشرطة السكونية، الذي كان في البدء مثيراً للنزاع، أصبح الآن مقبولاً على وجه العموم. لكن الأشرطة الكوموية أكثر تطرفاً وإثارة للجدل. ويرى أعضاء من حزب الأشرطة الكوموية أن هذه الأشرطة موجودة دوماً في حقيقة الأمر. وحينما تقوم مادة ما بالنقل الفائق، لا تختفي هذه الأشرطة؛ بل على العكس من ذلك، يتشكل تراكب كوموي ميكانيكي لعدد لا يحصى من حالات أشرطة غير منتظمة (الشكل 1a)، بحيث توافق الحالة الإجمالية حالة سائل كوموي فائق النقل [4].

كيف إذن نستطيع إثبات الأشرطة الكوموية تجريبياً؟ لننظر في قطة إروين

شرودينغر المختبئة في صندوق مغلق والتي يستشهد بها أحياناً (الشكل 1c). فمن الناحية الكلاسيكية يجب أن تكون القطة إما ميتة أو حية، أما من وجهة نظر ميكانيك الكم فهي تراكب حالي الموت والحياة. في الحالة الكوموية تتأرجح القطة جيئةً وذهاباً بين حالي الحياة والموت. وهذا التأرجح يستغرق زمناً محدوداً. وعليه، فبأخذ لقطات بسرعة كافية، يستطيع المرء أن يرى إما قطة ميتة أو قطة حية. وتصدق الخطة ذاتها بشكل متساوٍ في حالة تراكبات لا حصر لها من تكوينات configurations الإلكترونات. وهنا يأخذ كل تكوين كوموي دور حالة "موت أو حياة" كلاسيكية (الشكل 1c).

يقع زمن تأرجح الأشرطة الكوموية في مجال البيكوثانية ( $10^{-12}$  ثانية)، وتتمثل المشكلة التي تواجه المجرّب في كيفية انتزاع صورة لطُرز معقدة من الإلكترونات المكانية (الحيزية) في وقت قصير كهذا. إن إحدى الطرق لعمل ذلك تتمثل في رصدنا التغير في الطاقة الحركية للإلكترونات التي تتبعثر تبعثراً لامرناً من المادة. ولقد انضمت تجارب التبعثر النتروني هذه، منذ العام 1995، إلى متن الأدلة التي تدعم مسألة الأشرطة الكوموية [5]. أما نقطة الضعف، فهي أن هذه الدراسات عوّلت على معلومات حول اتجاه سبينات الإلكترون الذي كان (أي الاتجاه) مفتوحاً لتفسيرات بديلة، بما في ذلك البعض الذي يتوافق مع صورة BCS التقليدية [6]. وهكذا، فإن الأشرطة الكوموية لم تعتبر كحقيقة ثابتة حتى الآن بالرغم من أخذها على محمل الجد.

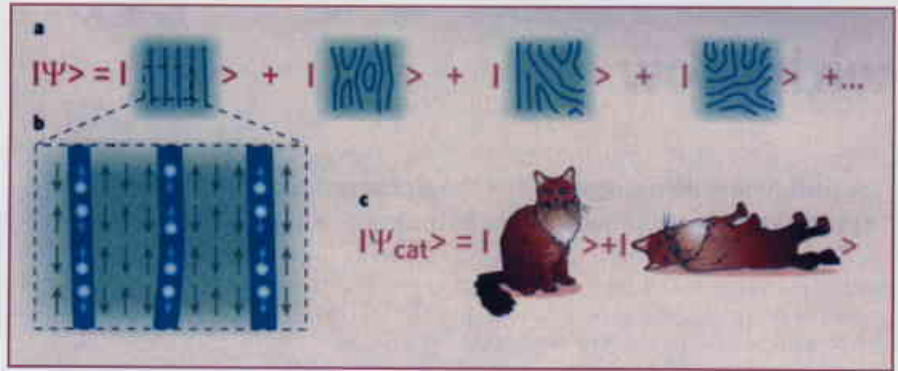
يقدم رزنيك وآخرون [1] مؤشراً جديداً للأشرطة الكوموية من خلال استغلال حركات الأيونات التي تشكل شبيكة أكسيد النحاس. فهذه الحركات تسبب اهتزازات شبيكية كمّاة quantized lattice vibrations، تعرف باسم فونونات phonons، ويمكن مشاهدتها بسهولة بواسطة التبعثر النتروني اللامرّن

لاحظه رزنك وآخرون [1]: ومفاده أنه حتى في أفضل النواقل الفائقة، التي لا تبدي أي علاقة للأشرطة السكونية، فإن الشذوذ يكون ضبابياً ولكن يبقى قابلاً للتمييز بوضوح.

إذن هل هذه هي نقطة التحول في حرب الأشرطة؟ فالرغم من أن الأشرطة الكمومية أكثر مروعة من الغواصات النووية إذ إن جميع الإشارات الدالة عليها كانت غير مباشرة حتى الآن -فإن قوة هذه الفكرة تتمثل في كون هذه الفرضية الوحيدة تفسر عالماً ذا سلوكيات غريبة. وبالنظر من تلك الزاوية، فإن المدافعين عن موديل BCS التقليدي قد يبدون على شاكلة مدافعي القرون الوسطى عن كون أرضي المركز geocentric cosmos تجبرهم المشاهدات على أن يضيفوا فيه باستمرار أفلاك تدوير epicycles إلى كونهم universe المبهرج أصلاً. ومن ناحية أخرى، لا توجد حاجة استدلالية لأن تسلك الإلكترونات في البلورات أساليب استرضائية من الناحية الجمالية؛ إذ إن أفلاك التدوير تبقى هي الحقيقة. ولكي يربح الحرب أحد الطرفين أو الطرف الآخر، ينبغي إيجاد طريقة للقيام بحملة مباشرة لاستكشاف الأشرطة الكمومية.

نشر هذا الخبر في مجلة:

Nature, Vol 440, 27 April 2006



الشكل 1: اصطلياد الأشرطة. في بعض الأحيان تشكل الإلكترونات في مستويات أكسيد النحاس لنواقل فائقة عند درجات حرارة عالية طرزاً من أشرطة سكونية ليست فائقة النقل. a: يُعتقد أن هذه الأشرطة تبقى في حالة النقل الفائق كجزء من تراكم كمومي لحالات أشرطة فوضوية لا حصر لها والتي تشكل سائلاً كمومياً فائق النقل خاملاً بمجموعه. b: تبدو الأشرطة في صورة مأخوذة عن قرب، مؤلفة من إلكترونات منازحة عن مواضعها "أنهار من الشحنة" تفصلها مناطق ذات إلكترونات متموضعة تبدي ترتيباً لسبين مميز. c: إن مبدأ التراكم الكمومي الذي تحتجب بموجبه حالات الأشرطة عن الرؤية في طور النقل الفائق هو أيضاً مصدر الارتياب في مصير قطة شرودينغر. إن الإمساك بالقطعة الكمومية أو الأشرطة الكمومية في حالة نهائية يتطلب لقطات مأخوذة على مقياس زمني يعد قصيراً بالمقارنة مع المقياس الزمني للتأرجحات الكمومية بين الحالات المترابطة (ميتة أم حية: مخططة أم غير مخططة). وباستخدام الاقتران بين اهتزازات الشبكة العالية التواتر واهتزازات الأشرطة، يقدم رزنك وآخرون [1] تنويعاً بالأشرطة الكمومية.

يتمثل المفتاح في كون هذه الشذوذات تحدث على مقياس زمني يقل عن زمن التآرجح الكمومي للأشرطة الكمومية المنزاحة عن مواضعها. لذا فإن الأشرطة الكمومية ستبدو في حالة توقف عند النظر إليها من خلال الفونونات، وينبغي أن يستمر شذوذ الفونون حتى في حال وجود إشارة للأشرطة السكونية. هذا هو بالضبط ما

مجدداً. ويجب أيضاً أن تعاني الأشرطة الإلكترونية اهتزازات مترابطة، ولكن لا يمكن رؤيتها بشكل مباشر. وحينما تدخل الفونونات واهتزازات الأشرطة في حالة التجاوب يُتوقع منها، أن تتأثر interact بقوة وتسبب شذوذاً مميزاً في طيف الفونونات. ويلاحظ رزنك وزملاؤه ظاهرة كهذه فقط في أكسيد النحاس من خلال أشرطة سكونية.

## References

- [1] Reznik, D. et al. Nature 440, 1170-1173 (2006).
- [2] Nature Phys. 2, 138-143 (2006).
- [3] Tranquada, J. M. et al. Nature 375, 561-563 (1995).
- [4] Zaanen, J., Nussinov, Z. & Mukhin, S. L. Ann. Phys. (NY) 310, 181-260 (2004).
- [5] Kivelson, S. A. et al. Rev. Mod. Phys. 75, 1201-1241 (2003).
- [6] Eremin, L. et al. Phys. Rev. Lett. 94, 147001(2005).

# كسر حاجز الانعراج

تمّ تحدي التقييدات الضوئية التقليدية لمجهرات التفلور وصولاً إلى تحقيق ميز resolution نانوي المقياس لعُضَيَات حويصلية فرادي عند ملتقيات الخلايا العصبونية.

العام 1999، ثم ارتقت إلى ثلاثة أبعاد في العام الذي تلاه.

يستخدم جان وزملاؤه الآن هذه الطريقة لدراسة النقل الحويصلي في العصبونات الحية من خلال ميز حويصلة واحدة. ففي العصبونات تكون الحويصلات مسؤولة عن نقل الكيماويات العصبونية إلى سطح الخلية حيث تندمج مع غشاء الخلية وتفرغ محتوياتها داخل المشابك أو الفضوات بين العصبونات وبذلك تبث المعلومات من عصبون إلى العصبونات المجاورة له. وبعد الاندماج تتم إعادة تدوير غشاء الحويصلة رجوعاً إلى داخل الخلية بغية تشكيل حويصلة جديدة يجري ملؤها مجدداً بناقل عصبي neurotransmitter جاهز للجولة التالية من الاتصال. ونشير إلى أن المصير الأولي للحويصلة حالما تُطلق محتوياتها هو مسألة على شيء من الخلاف. فإحدى النظريات -المسماة "قَبْلَ واهرب" تقول بأن غشاء الحويصلة يبقى ككيان منفصل عن الغشاء البلاسمي الرئيسي، أشبه ما يكون بنقطة زيت في الماء، الأمر الذي يسمح بإعادة تدوير recycling فعالة للجزيئات والبروتينات المرتبطة بالغشاء والتي تستخدمها الحويصلات من أجل تحديد الهوية identification والاندخال docking والاندماج fusion.

تثير الحزمة الأولى الجزيئات تماماً كما في مجهرية التفلور التقليدية -فحينما تمتصّ الجزيئة الطاقة من الضوء ترتقي نحو حالة طاقة أعلى وحينما تسترخي عائدة إلى الحالة الأصلية تقوم بإطلاق الطاقة على شكل ضوء. أما الحزمة الثانية التي تتصف بطول موجي مختلف فإنها تكبت هذا التفلور عبر "إصدار منشط" يتم فيه إفراغ الجزيئات بشكلٍ فاعل خارج الحالة المثارة بالضوء (بمعنى تنفيس الامتصاص). ونشير إلى أنه في الحقول الضوئية الكثيفة بقدر كافٍ، يصبح الإصدار المنشط أكثر فاعلية من التفلور ويكون هو التأثير المسيطر المخفض للتفلور بشكل شديد المفعول.

ينكبت التفلور الاعتيادي في مجهرية STED عبر حزمة استنفاد depletion beam تأخذ شكل كعكة وتحتوي على عقدة صفيرية الشدة (أو حفرة hole) في المركز البؤري. وكذلك، فإن أي ضوء متفلور يتم اكتشافه إنما ينشأ من هذا الثقب البالغ عرضه 50 نانومتراً تقريباً حيث تختفي حزمة الاستنفاد (الشكل 1). ويسمح مسح scanning نقطة المشاهدة الضيقة هذه في البعد العرضي للعينة ببناء صورة أكثر ميّزاً، أشبه ما تكون بشاشة حاسوب مصنوعة من بيكسيالات pixels صغيرة تحقق صورة حادة. ولقد تمّ تبيان أول مجهرية STED في بُعد واحد في

لا تستطيع المجهرات الضوئية التقليدية أن تُميّز بسهولة الأشياء المنفصلة بأقل من نصف طول موجة الضوء المرئي. وعلى سبيل المثال، فإن قياسات جسيمين متفلورين يقرب أحدهما من الآخر أكثر من "حاجز الانعراج diffraction barrier" وهذا يولد عموماً نقطة مضيئة واحدة غير واضحة. وهذا من الناحية العملية يساوي أقصى ميز يوافق مسافات تبلغ حوالي 200 نانومتر لغرض التصوير البيولوجي باستخدام الضوء المرئي. لكن ستيفان هيل S. Hell وزملاءه أوجدوا تقنية تتغلب على حاجز الانعراج وتستطيع أن تحقق الميز بين أشياء منفصلة بأقل من 40 نانومتراً. وقد استخدم جان Jahn وهيل Hell وزملاؤهما هذه التقنية لتقديم أول صور في المختبر in vitro لحركات حويصلات عصبونية وحيدة تشمل عضيات فقاعية الشكل محاطة بغشاء وتتوسط الاتصال بين الخلايا العصبونية، مع العلم بأن صور هذه الحويصلات تفيد في إقرار مسألة كانت تشغل علماء بيولوجيا الخلية لبعض الوقت.

تستخدم أحدث مقاربة في هذا الشأن مجهرات الإصدار المستنفد المحفز stimulated emission depletion (اختصاراً STED) وهي تقنية تستند إلى تراكم حزمتين ضوئيتين خفيفتين في المنطقة البؤرية. وهنا

الأكثر أهمية هو عدم وجود حدود جوهريّة أمام الميّر الحيّزيّ الذي يمكن تحقيقه بواسطة STED. ومن حيث المبدأ، فإنّ زيادة شدة حزمة الاستفاد ستزيد عموماً درجة الحصر الحيّزيّ spatial confinement.

ولكن ليست مقارنة الـ STED قابلة للتطبيق على كل منظومة جزيئية. ففي العادة تتطلب عملية الإصدار المنشط أن تتفولور الجزيئات. وهذه لا تشكل مشكلة في مجهرية التفولور، لكنها يمكن أن تكون موضوعاً بالنسبة لتطبيقات أخرى يكون فيها من المرغوب به استثارة محدودة لانعراج ثانوي، مثل التصوير الصخري الضوئي photolithography. يضاف إلى ذلك، أن سيماء profile الإصدار التفولوري للجزيئات يجب أن تختلف عن سيماء تهيج هذه الجزيئات بقدر كاف لضمان الامتصاص والتهيج في الحد الأدنى من طرف حزمة STED ذاتها.

وهناك دائماً خطر حدوث تلف للعيّنة بفعل التسخين لدى استخدام ليزرات نبضية عالية الشدّة، لكن القدرات الكهربائيّة الليزرية اللازمة لـ STED تشبه تلك التي تُستخدم بشكل روتيني للتصوير التفولوري المتعدد الفوتونات. وعلاوة على ذلك، يمكن أداء مقاربات ذات صلة عند قدرة كهربائيّة ليزرية أقل بشكل كبير لاستكمال تقنية STED. وسيكون من المثير مشاهدة ابتكارات وتطبيقات تستولدها STED خلال العقد القادم - إذ إن قابليات هذه التقنيات الضخمة البارزة ما تزال في طور البداية نحو التحقيق.

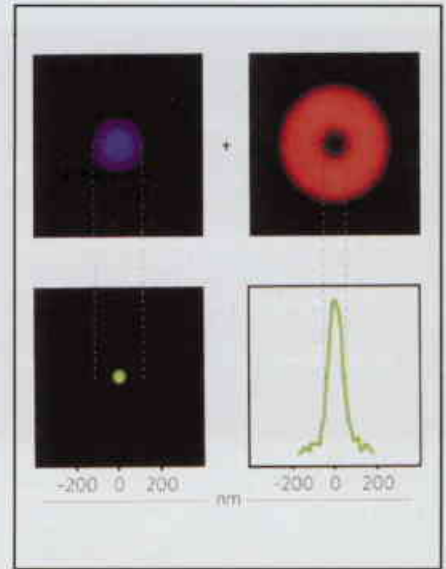
نشر هذا الخبر في مجلة:

Nature, Vol 440, 13 April 2006

لقد استطاع جان وزملاؤه وسم بروتين غشاء الحويصلة المسمى سينابتوتاغمين synaptotagmin بواسطة استخدام مجهرية STED استطاع أن يتابع اندماج حويصلات فرادي بالغشاء البلاسمي. وتقدّم دراستهم بعضاً من أقوى الأدلة حتى اليوم الحاضر على أن بعض مكونات الغشاء على الأقل تبقى متجمعة بعضها مع بعض بعد اندماج الحويصلات بالغشاء البلاسمي (بدلاً من أن تنتشر بشكل حرّ داخل الغشاء مثل قطرة ماء فوق الماء)، الأمر الذي يتوافق مع نظرية "قَبْل واهرب".

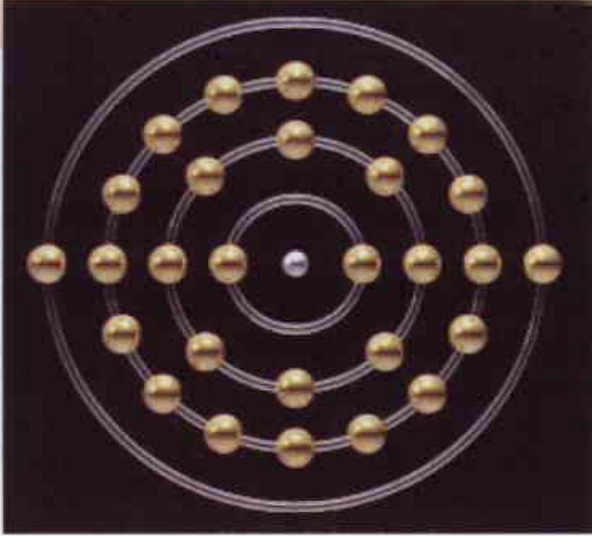
ومع أن STED ليست التقنية الأولى التي تكسر حدود حاجز الانعراج، فإنها جديلاً إحدى أفضل التقنيات ملائمة للتصوير البيولوجي. فعلى مدى عقدين من السنين تقريباً قدمت المجهرية الضوئية المساحة صوراً ذات ميّر حيّزيّ spatial resolution وصل في صغره حتى 15 نانومتراً تقريباً. وعادة ما يتحقق المسح عن طريق السماح للضوء بالمرور عبر فتحة بالغة الصغر في أسلة tip مغطاة بالمعدن. وكذلك تبشّر مواد ذات قرائن انكسار سالبة بأنها تصلح لتصوير ضوئي فائق الميّر. ولكن هذه التقنيات تتطلب عموماً أن تكون العينة محاذية تماماً لعنصر التصوير. ونشير إلى أن تصوير السطوح البنيّة المنظّمة في الخلايا الحية سيكون مفيداً إلى حد التحريم باستخدام هذه الاستراتيجيات.

وبالمقارنة، تعتبر تجهيزات STED متماشية بشكل مباشر مع المقاربات الراهنة في شأن المجهرية الضوئية البيولوجية. فالميّر على طول محور Z هو بالفعل أفضل منه في المستوي X-Y، مما يجعل STED ملائماً لتصوير يتطلب تحكماً بعمق الحقل، مثل عمل مقاطع sectioning وحيدة البؤرة، وملائماً كذلك لعمل تشكيلات ثلاثية الأبعاد عن طريق تكديس المقاطع X-Y. وربما يكون



تثير حزمة التهيج الزرقاء حامل الفلورة fluorophore الموجود تحت المشاهدة، وتتركز على بقعة انعراج محددة. أما حزمة STED البرتقالية فإنها تنزع تهيج الجزيئات عن طريق تنفيسها إلى خارج الحالة المستثارة قبل أن تتفولور. وتكون الحزمة على شكل كعكة ذات فتحة في المركز. وبواسطة فرض حزمة STED على حزمة التهيج يتم تخفيض المنطقة التي ستفولور منها حوامل الفلورة المستثارة إلى نحو 50 نانومتراً بواسطة حزمة STED - وهي مسافة أصغر بكثير من حد الانعراج. يستخدم جان وهيل وزملاؤهما هذه التقنية لتتبع الحويصلات حين اندماجها مع الغشاء البلاسمي للعصبونات الحية بميّر resolution يسمح باستيضاح حويصلات فرادي.

# النيكل



Ni	الرمز:
28	العدد الذري: (عدد البروتونات في النواة)
59	الوزن الذري: (موجود طبيعياً)

## ماهيته

النيكل معدن قاس أبيض اللون مائل إلى الفضي، وهو قابل للطرق والسحب. إنه يوجد في البيئة في خمسة نظائر مشعة مستقرة، (مع العلم بأن النظائر أشكال مختلفة لأحد العناصر تملك نفس العدد من البروتونات في النواة ولكنها ذات عدد مختلف من النيوترونات). ويعد النيكل-58 الشكل الأكثر انتشاراً، إذ يؤلف ما يقرب من ثلثي النيكل الطبيعي. أما النظائر الأربعة المستقرة الأخرى ووفرتها النسبية فهي كالتالي: النيكل-60 (26%)، والنيكل-61 (1.1%)، النيكل-62 (3.6%)، والنيكل-64 (0.9%).

ويمتلك اثنان فقط من نظائر النيكل المشعة السبئية الرئيسية (وهما النيكل-59 والنيكل-63) عمر نصف طويل بما يكفي لتسويغ أهميتها. أما أعمار النصف الخاصة بباقي نظائر النيكل فتقل عن ستة أيام. وتذكر في هذا الصدد أن النيكل-59 يضمحل بعمر نصف يساوي 75000 سنة عبر الأسر الإلكترونية كما يضمحل النيكل-63 بعمر نصف يساوي 96 عاماً عبر إصدار جسيم بيتا. ويوجد هذان النظيران للنيكل في النفايات الناجمة عن عملية إعادة معالجة الوقود النووي المستنفد. ويعد النيكل-63 النظير الأكثر شأناً بشكل عام في مواقع الإدارة البيئية

لوزارة الطاقة (DOE) مثل هانفورد. إذ أن عمر النصف الطويل للنيكل-59 (مع نشاطه النوعي المنخفض الناشئ عن ذلك) إذا ما جُمع إلى طاقة اضمحلاله المنخفضة يحد من الأخطار الإشعاعية المرتبطة بهذا النظير.

## مصدره

يوجد النيكل بشكل طبيعي في خامات متنوعة وعلى نطاق أقل في التربة. ويوجد في معادن مثل الغارنيريت والميليريت (كبريت

الخواص الإشعاعية لنظائر النيكل الأساسية						
طاقة الإشعاع (MeV)			نمط التحلل	النشاط النوعي (Ci/g)	عمر النصف (yr)	النظير
ألفا	بيتا	غاما				
0.0024	0.0046	-	EC	0.082	75.000	Ni-59
-	0.017	-	$\beta$	60	96	Ni-63

EC=أسر الإلكترونات، Ci=كيوري، g=غرام، MeV=مليون فولط إلكتروني: الشُرطة - تعني ان العملية غير قابلة للتطبيق. تم إعطاء القيم مقربة إلى منزلتين عشريتين فقط.

النيكل) والنيكولايت والبينتلاندايت والبيروتيت، مع الإشارة إلى كون الاثنين الأخيرين خامتين رئيسيتين. وقد تم أيضاً اكتشافه في أغلب النيازك، وغالباً ما يفيد كأحد معايير تمييز النيزك عن المعادن الأخرى. ويجري تعدين معظم الإمداد العالمي من النيكل في كندا، كما يشمل هذا الإمداد مصادر أخرى مثل كوبا والاتحاد السوفييتي السابق، والصين وأستراليا. ولا تمتلك الولايات المتحدة توضعات كبيرة من النيكل إذ يقدر إنتاجها بأقل من نسبة 1% من الإنتاج العالمي السنوي. وتستورد الولايات المتحدة معظم النيكل المستخدم لديها، كما أن حوالي 30% من الاستهلاك السنوي للنيكل يأتي من مصادر معادة التدوير recycled.

يتم إنتاج كلا نظيري النيكل المشعّين المتّصفين بأهمية كامنة بواسطة تنشيط تروني لمكوّنات في المفاعلات النووية. فحينما ينشطر نكليد انشطاري مثل اليورانيوم-235، فإنه ينقسم بشكل عام على نحو

لا تناظري asymmetrically إلى شدفتين كبيرتين (بمعنى ناتج انشطاريين يتصفان بعدد كتلة يقع في حدود ما بين 90 إلى 140) بالإضافة إلى ترونين أو ثلاثة. (عدد الكتلة هو مجموع عدد البروتونات والنترونات في نواة الذرة). ويمكن أن تسبب هذه الترونات انشطارات إضافية (تولد تفاعلات متسلسلة)، فتقلت من المفاعل، أو تُشعّ المواد القريبة. هذا، ويتألف عدد من مكونات المفاعل من سبائك مختلفة من الفولاذ وتحتوي على الكروم والمنغنيز والنيكل والحديد والكوبالت، وتستطيع هذه العناصر أن تمتص الترونات مُسببةً نظائر مشعة تتضمن النيكل-59 والنيكل-63. ويعد كل من النيكل-59 والنيكل-63 نكليدات مشعة ذات شأن في الوقود النووي المستنفد (باعتباره مكوّنًا لعتاد hardware الوقود) وفي النفايات المشعة المصاحبة للمفاعلات النووية العاملة ولحطات معالجة الوقود. ويوجد النيكل-63 بتركيز أعلى بكثير من النيكل-59.

## استخداماته

يستخدم النيكل في العديد من العملات المعدنية كما يستخدم كمكوّن لعدد من السبائك، بما في ذلك النيكروم nichrome والبيرمالوي permalloy، وفي بعض أنواع الفولاذ المضاد للصدأ. ويتم استخدام ألتايكو alnico، وهي سبيكة من الألمنيوم والنيكل والكوبالت وبعض المعادن الأخرى، في صنع مغناط دائمة ذات قوة عالية. كما يتم استخدام أنواع سبائك النيكل والفولاذ في الماكينات الثقيلة، والمصنوعات والأسلحة والأدوات والتجهيزات المستخدمة مع الحرارة العالية، بما في ذلك التوربينات (العنفات) الغازية والنبائط البيئية المستخدمة في التحكم بالانبعاثات كأجهزة غسل الغازات. ويستخدم النيكل كذلك كطبقة تلبس واقية وتزيينية للمعادن المعرضة للتآكل، ولاسيما بالنسبة للحديد والفولاذ. إذ يتم ترسيب طبقة النيكل عن طريق التحليل الكهربائي في محلول نيكل، ويمكن جعله لامعاً بدرجة عالية.

## وجوده في البيئة

يوجد النيكل في صخور القشرة الأرضية بتركيز يبلغ حوالي 90 ملغراماً لكل كيلوغرام (mg/kg). كما يبلغ تركيزه في مياه البحر حوالي 2 ملغراماً لكل لتر (mg/L). وتوجد كميات من النيكل-59 والنيكل-63 بمقادير ضئيلة في أنحاء العالم وذلك من السقوط النووي المشع. ويمكن كذلك أن يوجد في منشآت نووية معينة كمادة ملوثة من تشغيل المفاعلات ومن معالجة الوقود المستنفد. ويعد النيكل عموماً واحداً من المعادن المشعة الأقل حراكاً في البيئة. كما وتعد النسبة النمطية لتركيز النيكل في النباتات بالنسبة لتركيزها في التربة منخفضة، وتقدر بحوالي 0.06 (أو 6%). كذلك يلتصق النيكل بشكل جيد جداً بالتربة. ويفوق تركيز النيكل المرتبط بالتربة الرملية نمطياً ما مقداره حوالي 400 ضعف تركيزه في المياه الخلالية (في الفراغات المسامية ما بين جزيئات التربة)؛ حتى أنه (أي النيكل) يرتبط بشدة أكبر مع التربة الطينية حيث يمكن لنسب التراكيز أن تتجاوز 600. وهكذا، فلا يعد النيكل عاملاً ملوثاً رئيسياً في المياه الجوفية في مواقع وزارة الطاقة DOE. تكون أعلى تراكيز



النیکل في هانفورد في المناطق التي تحتوي على نفايات ناجمة عن معالجة الوقود المشع، وبشكل رئيسي في المعدات المرتبطة بالوقود المستنفذ.

## سيرورته في الجسم

يمكن للنیکل أن يدخل الجسم عن طريق تناول الطعام، أو شرب المياه أو استنشاق الهواء. ويعد الامتصاص المعوي المعدي من الغذاء أو الماء المصدر الأساسي للنیکل المترسب داخلياً بين عموم السكان. ويتم امتصاص حوالي 5% من الكمية المبتلعة إلى مجرى الدم عبر الأمعاء، بينما يمكن امتصاص ما نسبته تتراوح بين 20-35% عن طريق الرئتين. ويتم التخلص سريعاً مما نسبته 68% من النیکل الذي يصل إلى الدم وذلك في البول، بينما يتبقى 2% منه في الكليتين حيث يكون عمر النصف البيولوجي له قصيراً جداً ويساوي 0.2 من اليوم (أي حوالي 5 ساعات). أما الـ 30% المتبقية فهي تتوزع في بقية أنسجة الجسم، بما في ذلك الكليتين، وتتم تصفيتها بعمر نصف بيولوجي يساوي 1200 يوم. هذه المعلومة تخص موديلات مبسطة لا تعكس إعادة توزيع انتقالية).

## تأثيرته الصحية الأساسية

يعد النیکل خطراً على الصحة فقط في حال دخوله إلى الجسم. ولا يعد التعرض الخارجي لأشعة غاما أمراً مقلقاً وذلك لكون نظيري النیکل هذين لا يصدران أشعة غاما بكمية مهمة. إذ أن النیکل-63 يضمحل عن طريق إصداره جسيم بيتا كما أن النیکل-59 يضمحل عن طريق أسر إلكترون، يتم فيه إصدار أشعة غاما منخفضة الطاقة. أما في الجسم، فإن النیکل يمثل خطراً صحياً بسبب جسيمات بيتا وأشعة غاما؛ ويرتبط القلق الصحي الأساسي بالاحتمال المتزايد للتسبب بنشوء السرطان.

## خطورته

لقد تم حساب معاملات خطورة الوفاة بالسرطان حسب الفئة العمرية فيما يخص جميع النكليديات المشعة، بما في ذلك النیکل (راجع المؤطر). وبينما تبدو المعاملات بالنسبة للابتلاع منخفضة نوعاً ما بالمقارنة مع ما يقابلها بالنسبة للاستنشاق، فإن الابتلاع بشكل عام يشكل أكثر الوسائل شيوعاً كطريقة للدخول إلى الجسم. وعلى غرار بقية النكليديات المشعة، تعادل معاملات الخطورة فيما يخص مياه الصنبور ما نسبته حوالي 70% مقارنة بما يقابلها في حالة الابتلاع الغذائي.

وبالإضافة إلى الآثار الإشعاعية المحتملة، فقد تبين أن ابتلاع النیکل يسبب نقصاناً في وزن الأعضاء ووزن الجسم لدى الحيوانات، وبخاصة عند الجرعات الكبيرة. ويطلق على قيمة السمية toxicity value لتقدير التأثيرات غير السرطانية المحتملة مصطلح هو الجرعة المرجعية reference dose. (وهي تقييم قيمة) لأعلى جرعة يستطاع تناولها يومياً دون التسبب بآثار مضاد. وتبلغ الجرعة المرجعية (RfD) التي يتم استخدامها لتقدير التأثيرات غير السرطانية بالنسبة للبشر الذين يتناولون أملاح النیکل المنحلة ابتلاعاً قدرها يساوي 0.02 ملغم لكل كيلو غرام من وزن الجسم يومياً. وقد وضعت هذه القيمة عن طريق دراسة حيوانات تجارب أعطيت جرعات عالية نسبياً طوال حياتها، ومن ثم تعديل هذه النتائج وتساويتها على مقياس الملغرام لكل كيلوغرام يومياً. □

نُشر هذا الخبر في مجلة: ANL, October 2001

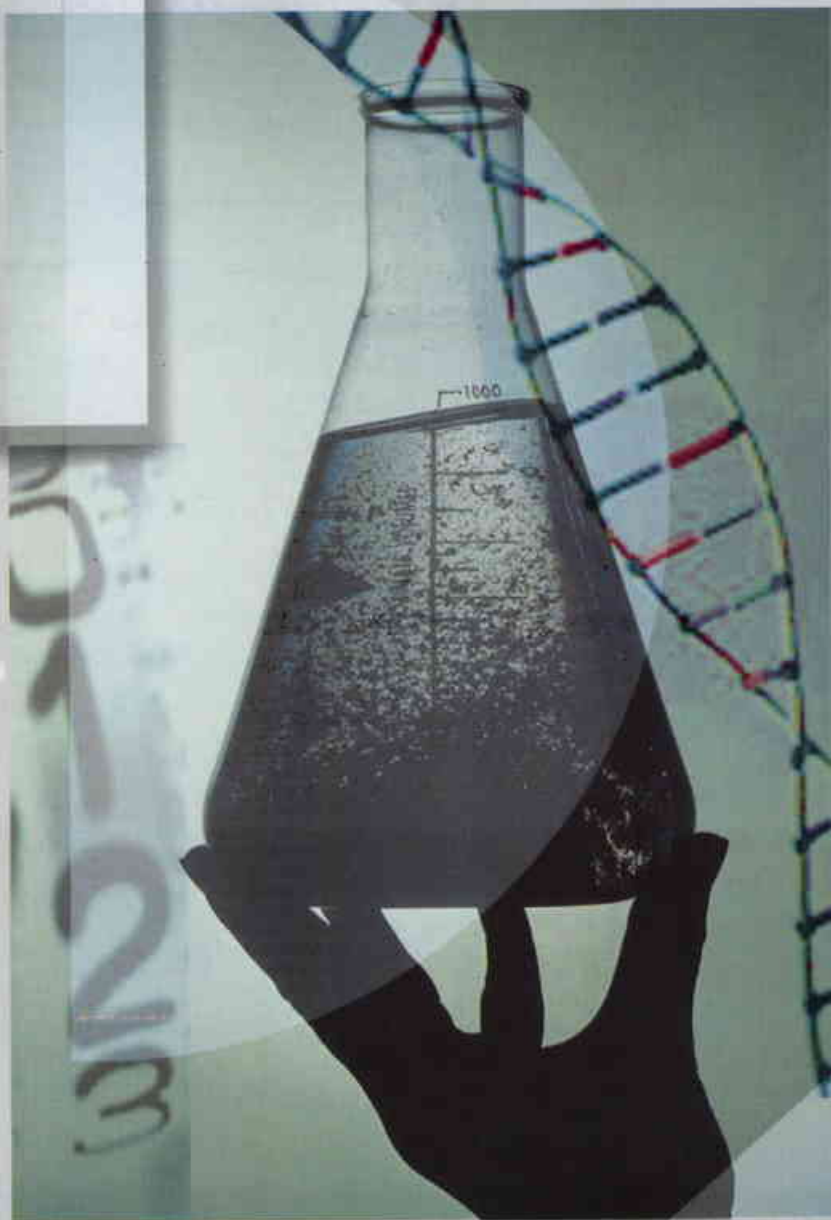
### معاملات الخطورة الإشعاعية

يوضح هذا الجدول بعض القيم لمعاملات الخطورة بالنسبة للاستنشاق والابتلاع. تم استخدام أنماط امتصاص افتراضية موصى بالنسبة للاستنشاق، و تم كذلك استخدام قيم غذائية بالنسبة للابتلاع. وقد أخذت قيم الخطورة بالنسبة للوفاة بالسرطان وفقاً للعمر لكل وحدة إدخال (pCi)، بأخذ معدتها بالنسبة لجميع الأعمار ولكلا الجنسين. ( $10^{-12}$  تساوي جزءاً من ترليون جزء). وتتاح أيضاً قيم أخرى، بما في ذلك ما يخص الوفيات.

مقياس خطورة الوفاة بالسرطان وفقاً للعمر		التنظير
الابتلاع ( $pCi^{-1}$ )	الاستنشاق ( $pCi^{-1}$ )	
$10^{-11} \times 2.3$	$10^{-13} \times 3.6$	نیکل-59
$10^{-13} \times 5.7$	$10^{-12} \times 1.4$	نیکل-63

### قيمة السمية الكيميائية

الأثر اللاسرطاني	صيغة مركب النیکل
الجرعة المرجعية (عن طريق الفم)	الأملاح المنحلة
0.02 ملغم/كغم-d	





## فعالية طين الكاولين ومجموعة من المبيدات الصنعية للسيطرة على حشرة بصيل الفستق الحلبي

### ملخص

لُفِذَت تجربة حقلية على أشجار الفستق الحلبي (*Pistacia vera L., Anacardiaceae*) ولعامين متتاليين 2002 و2003 في شمال غرب القطر لاختبار فعالية طين الكاولين، وكل من التيفلوتيزورون، الفاسايبرمثرين، والثياكلوبريد ضد حشرة بصيل الفستق الحلبي *Agonoscaena targionii* (Lichtenstein). تم تقدير مدى تأثير الطبقة الرقيقة من طين الكاولين والمبيدات الحشرية على العدوى التي تسببها الحوريات في بداية أو منتصف موسم النمو. سُجِلَ وجود أعداد ضعيفة من أفراد البصيل البالغة والحوريات عند معاملة طين الكاولين مقارنة بأعداد الحشرات عند الشاهد غير المعامل. تمكن كل من مبيدي التيفلوتيزورون والثياكلوبريد من حماية أشجار الفستق الحلبي من أضرار حشرة البصيل عندما رقت الأشجار بمعدل مرة كل 30 يوماً اعتباراً من بداية موسم النمو. أدت تغطية الأشجار بالطبقة الرقيقة من طين الكاولين في منتصف موسم النمو، أي بعد أن استفحلت الإصابة بحشرة البصيل، إلى الحد بفعالية من الأضرار التي تحدثها الحوريات، بينما وعلى الرغم من نجاح مبيدي التيفلوتيزورون والفاسايبرمثرين في تخفيض كثافة الحوريات العددية لكنهما أخفقا في كبح تطور حجم مجتمع الحشرة وإبقائه في مستوياته المتخفضة. لم تظهر أية أعراض تسمم على أشجار الفستق الحلبي جراء التغطية بطين الكاولين. بل على العكس، فقد كانت الأشجار المغطاة بطين الكاولين، وعلى مدى سنتي التجربة، أكثر لثاماً وحيوية بمقارنتها مع نظيراتها سواء تلك المعاملة بالمبيدات الحشرية أم الشاهد. تقدم النتائج المتحصل عليها بيانات مقارنة حول فعالية طين الكاولين وتدعم إمكانية تطبيق هذه التقنية كأداة مكافحة بديلة ضد حشرة بصيل الفستق الحلبي.

### الكلمات المفتاحية:

بصيل الفستق الحلبي، طين الكاولين، مبيدات حشرية، فستق حلبي، إدارة الآفات.

### مقدمة

خلال العقد المنصرم [17]. تضع إناث الحشرة البيوض في منتصف شهر نيسان وتتطور بعد فقسها عبر خمسة أطوار من الحوريات غير المجنحة قبل أن تغدو حشرة كاملة مجنحة. تمتص الحوريات والحشرات الكاملة العصارة النباتية وتنتج ندوة عسلية على شكل بلورات سكرية بيضاء اللون. تظهر الإصابة في بداية موسم النمو على الأوراق الفتية وتؤدي الإصابة الشديدة إلى تراجع نمو الأشجار، فقد المبكر للأوراق وجفاف مع فقدان البراعم الثمرية [14].

تزايدت زراعة الفستق الحلبي في بلدان متعددة منها إيران، تركيا، الولايات المتحدة الأمريكية، سورية، اليونان [10]. يستثمر المزارعون في القطر ما يقارب مساحة 60000 هكتار من الأراضي المشجرة بالفستق الحلبي التي تنتج سنوياً حوالي 40000 طن من الثمار [2]. استفحلت حشرة بصيل الفستق الحلبي (*Agonoscaena targionii* (Lichtenstein)) رئيسية لأشجار الفستق الحلبي في منطقة الشرق الأوسط

بين الآفة والنبات العائل. تتم تهيئة طين الكاولين على شكل مُعلَق في الماء، وبعد رشه تتشكل طبقة رقيقة من المسحوق الأبيض على سطوح الأوراق والسوق والثمار. تستخدم تقنية المرشّات التقليدية، كما أن تغطية النباتات بشكل ملائم عملية ضرورية. أثبتت التركيبة القابلة للرش من المنتج والمعروفة تحت الاسم الشائع "تقنية التغطية بطبقة رقيقة" فعّالة ضد مجموعة من الآفات العائدة لمفصليات الأرجل والعوامل المرضية [3]. [5, 7, 11, 15, 16, 24, 25, 26, 30]. يذكر كل من Glenn وزملائه [7] وPuterka وزملائه [23] أن الطبقة الرقيقة من طين الكاولين قد خفّضت من الأضرار التي تحدثها حشرة بسبيل الإجاص *Vincent* *Cacopsylla pyricola* Förster في بداية موسم النمو. وبحسب Vincent وزملائه [31] يشكّل المركّب التجاري لطين الكاولين 30% من مجموع المبيدات الحشرية المستخدمة في الولايات المتحدة الأمريكية على الإجاص. وبين Pasqualini وزملائه [22] تأتّر مقدرة الحشرات الكاملة للبسبيل المشتمية *C. pyri* في وضع البيوض على أشجار الإجاص في شمال إيطاليا نتيجة تغطية بطين الكاولين.

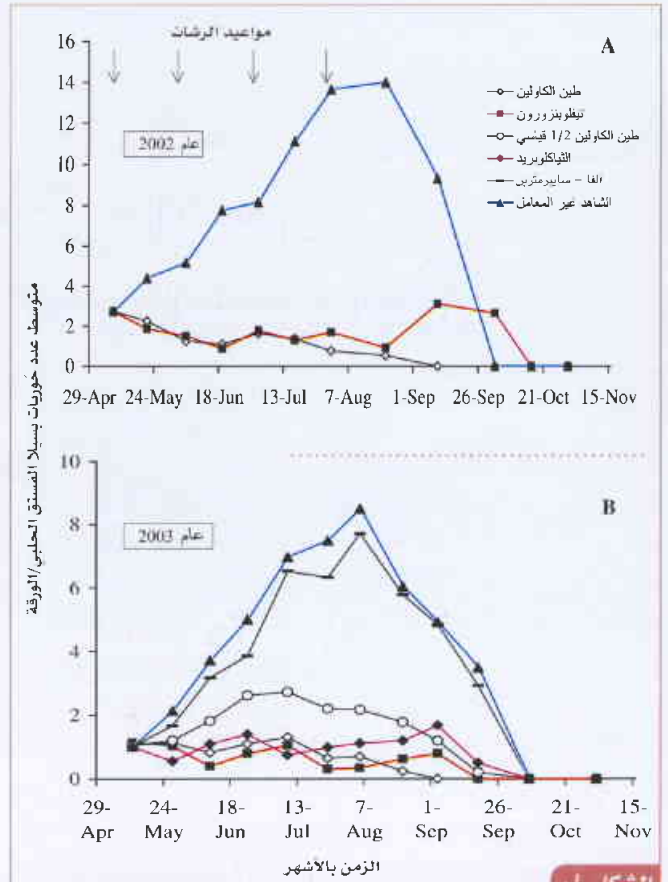
هدفت الدراسة الحالية إلى تنفيذ تجارب حقلية للمقارنة بين فعالية الطبقة الرقيقة من طين الكاولين ومجموعة من المبيدات الحشرية، التي تشمل التيفلوبينزورون والثياكلوبريد وألفا-سايرمثرين في حماية أشجار الفستق الحلبي من أضرار حشرة بسبيل الفستق الحلبي.

#### المواد والطرائق

تم تزويدنا بطين الكاولين المستخدم في هذه الدراسة من مجموعة إنجيلهارد (إيزلين نيوجرسي). حُدثت فعالية كل من طين الكاولين ومجموعة مختارة من المبيدات الحشرية للسيطرة على *A. targionii* في بستان للفستق الحلبي بمساحة 2 هكتار (أشجار غير مثمرة من الصنف العاشوري بعمر 10 سنوات) يقع شمال غرب القطر. ويتمتع البستان المذكور بكثافة أشجار معتدلة (250 شجرة/هكتار). وأشجار البستان (ذات الأطوال والأقطار التي تقارب 2 × 2.5 متر) بعُلية ومزروعة على خطوط متباعدة عن بعضها مسافة 6 أمتار. ويتصف موقع الدراسة بإجهادات بيئية قاسية خلال فصل الصيف وغياب تام للأمطار ودرجة حرارة للهواء تزيد عن 35 درجة مئوية، ورطوبة نسبية لا تتعدى 50% مترافقة مع مستويات عالية من السطوع الشمسي. ويشير واقع البستان إلى استفحال الإصابة بحشرة بسبيل الفستق الحلبي بسبب عدم مكافحة الحشرة بالمبيدات الحشرية بشكل منتظم.

#### المعاملات وتصميم التجربة لموسم 2002

اختيرت 42 شجرة فستق حلبي اعتماداً على تجانس مجموعها الخضري. اختُبرت ثلاث معاملات: (1) الشاهد غير المعامل (2) الأشجار المغطاة بطين الكاولين (بتركيز 5 كغ/100 لتر ماء، التركيز القياسي)، (3) التيفلوبينزورون (نومولت 150 غرام/لتر، 150 مل/100 لتر ماء). تضمنت التجربة أشجاراً إفرادية رُتبت وفق تصميم كامل العشوائية يشتمل على 14 مكرراً لكل معاملة. رُتبت الأشجار بطين



الشكل 1

أعداد خوريات حشرة بسبيل الفستق الحلبي على أوراق أشجار الفستق الحلبي التي خضعت إلى أربع عمليات رش بفواصل 30 يوماً بكل من طين الكاولين بالتركيزين القياسي (5%) ونصف القياسي (2.5%)، والمبيدات الحشرية تيفلوبينزورون، الثياكلوبريد. وبفواصل زمني 15 يوماً لألفا سايرمثرين. إضافة إلى الشاهد غير المعامل. أيار-تشرين الثاني 2002 (A) و 2003 (B). متوسط 14 و 12 مكرراً لتجارب عامي 2002 و 2003 على التوالي، فحصت 12 ورقة عند كل مكرر. تم تحويل القيم المتحصل عليها إلى جذورها التربيعية.

تعد مكافحة حشرة البسبيل بالمبيدات الحشرية عملية مضمّنة في الأجواء الحارة، نتيجة قدرة الحشرة على إحداث الإصابة لفترات زمنية طويلة تخضع خلالها لتغيرات شكلية وبيولوجية وسلوكية [6, 8]. ولكن هذا لا يمنع من استخدام المبيدات الفسفورية العضوية الجهازية، أو تلك ذات المصدر النباتي، أو تلك المماثلة لمنظمات نمو الحشرات على نطاق واسع للسيطرة على حشرة بسبيل الفستق الحلبي في بساتين الفستق الحلبي التجارية، وستستمر هذه المبيدات على ما يبدو في أن تكون أحد المكونات الرئيسة في برامج مكافحة حشرة البسبيل [13].

تتوفر في الأسواق حالياً تحت العلامة التجارية المسجلة® Surround تقنية فريدة لمكافحة الآفات: تغطية النباتات بطبقة رقيقة من طين الكاولين المعالج غير السام (سليكات الألمنيوم  $[Al_2Si_4O_{10}(OH)_8]$  ذات اللون الأبيض الناصع، وحببيات بأقطار  $\leq 2$  ميكرومتر، والمغلّفة بطبقة مناسبة من الهيدروكربونات الصناعية) التي تشكل حاجزاً مسامياً

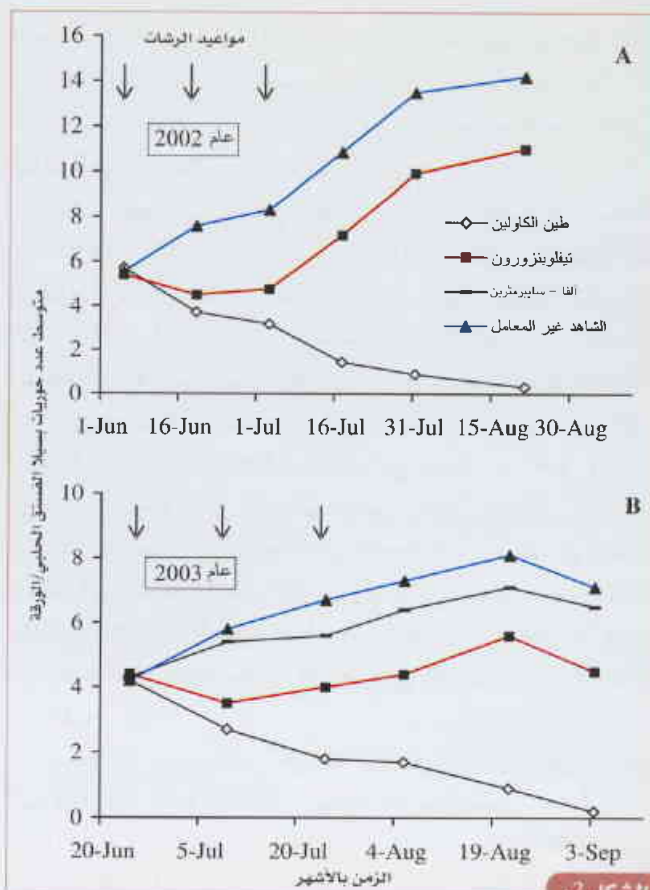
40 مل/100 لتر ماء)، (6) مبيد حشري تقليدي، ألفا-سايبيرمثرين (نومينكس، 5%، 60 مل/100 لتر ماء). وزعت الأشجار في تصميم القطاعات العشوائية الكاملة، بدلاً من التصميم الكامل العشوائية. تضمنت التجربة 12 مكرراً من الأشجار الفردية وب 6 معاملات عند كل مكرر. رُشت الأشجار بطين الكاولين والتيفلوبنزورون والثياكلوبريد أربع مرات في 12 أيار، 9 حزيران، 6 تموز، 7 آب 2003، بينما رشت الأشجار بمبيد ألفا-سايبيرمثرين سبع مرات بفواصل 15 يوماً بين الرشاشات. وبتاريخ 9 حزيران، اختيرت 32 شجرة فستق حلبي إضافية ورتبت في تصميم القطاعات العشوائية الكاملة المؤلف من أربع معاملات: (1) الشاهد غير المعامل، (2) أشجار التيفلوبنزورون، (3) أشجار ألفا-سايبيرمثرين، و(4) أشجار طين الكاولين (بالتركيز القياسي). شملت التجربة ثمانية مكررات من الأشجار الفردية وب 4 معاملات عند كل مكرر كما رُشت الأشجار ثلاث مرات بفواصل 15 يوماً بين الرشاشات.

أعطيت الأشجار المعاملة بطين الكاولين بعد رشها، وخلال موسمي الدراسة، الوقت لكي تجف ثم فحصت وأعيد رشها بغية تحقيق تغطية متجانسة بطين الكاولين لكامل أوراق المجموع الخضري. حددت كثافة حشرة بسبب الفستق الحلبي مرة كل أسبوعين، حيث تم تسجيل وجود الحشرات الكاملة والحوريات على سطوح الأوراق العلوية والسفلية. نفذت عمليات العد على 12 وريقة من ثلاثة فروع رئيسية من الجزء العلوي للمجموع الخضري لكل شجرة من أشجار المعاملات. أخذت العينات في الصباح الباكر، حيث تكون درجات الحرارة منخفضة نسبياً مما يحد من نزعة الطيران عند الحشرات الكاملة للبيسيلا. حددت كثافة مجتمع حشرة بسبب الفستق الحلبي الابتدائية قبل عمليات الرش. استخدمت خمس مصائد صفراء لاصقة (50 سم<sup>2</sup>) لمراقبة الحشرات الكاملة في بستان التجربة. جمعت المصائد وفحصت ثم استبدلت بمعدل مرة كل أسبوعين [9، 12].

تم تقدير الأضرار التي تحدثها حشرة البيسيلا في أشجار الفستق الحلبي خلال الفترة بين شهري أيار وتشرين الأول، حيث أخذت قراءات لتحديد (قراءة مرة كل 15 يوماً) النسبة المئوية للأوراق الخضراء إلى تلك الجافة تماماً والموجودة على الفروع الرئيسية عند كل شجرة معاملة أو غير معاملة.

### التحليل الإحصائي

حددت الفروقات بما يتعلق بكثافة حشرة بسبب الفستق الحلبي بين المعاملات المختلفة بواسطة اختبار t الخاص بالعينات الثنائية. تم تحويل قيم البيانات قبل تنفيذ الاختبار إلى جنورها التربيعية بقصد الحد من درجة التباين. حُددت الاختلافات بما يتعلق بالأضرار الناتجة عن التغذية على أوراق أشجار الفستق الحلبي باستخدام اختبار تحليل التباين (ANOVA) وعلى درجة ارتياب 5% ( $P < 0.05$ ). كما خضعت القيم المعنوية إحصائياً لاختبار أقل فرق معنوي (PLSD) على درجة ارتياب  $\alpha < 0.05$  [11].



الشكل 2، أعداد حوريات حشرة بسبب الفستق الحلبي على أوراق أشجار الفستق الحلبي التي خضعت إلى ثلاث عمليات رش متتالية بفواصل 15 يوماً بكل من طين الكاولين والمبيدات الحشرية تيفلوبنزورون أو ألفا-سايبيرمثرين، إضافة إلى الشاهد غير المعامل، حزيران-يونيو 2002 (A) و2003 (B). متوسط لـ 8 مكررات، فحصت 12 ورقة عند كل مكرر. تم تحويل القيم المتحصل عليها إلى جذورها التربيعية.

الكاولين والتيفلوبنزورون بكمية وافية من سائل الرش أربع مرات: 8 أيار/مايو و5 حزيران/يونيو و2 و31 تموز/يوليو 2002 بواسطة مرش يدوي ظهري (ماركة كاربي، لوديا، إسبانيا).

وبتاريخ 5 حزيران اختيرت 24 شجرة إضافية من أشجار البستان (ثمانية مكررات من الأشجار الفردية) ورشت ثلاث مرات بواقع رشة كل 15 يوماً بطين الكاولين والتيفلوبنزورون والشاهد غير المعامل.

### المعاملات وتصميم التجربة لموسم 2003

نفذت تجربة ثانية في عام 2003 في بستان التجربة المشار إليه سابقاً. وقد اعتمدت بعض التعديلات في المعاملات التجريبية التي شملت رش المواد التالية: (1) الشاهد غير المعامل، (2) طين الكاولين (5 كغ/100 لتر ماء)، (3) نصف التركيز القياسي من طين الكاولين (2.5 كغ/100 لتر ماء)، (4) التيفلوبنزورون، (5) مبيد حشري جديد ينتمي إلى مجموعة الكلورونيكوتينيل، ثياكلوبريد (كالييسو 480،

البيسلا مقارنة بمبيد التيفلوبنزورون والشاهد غير المعامل. تمكن مبيد التيفلوبنزورون من تقليص الكثافة العددية للحوريات ( $P < 0.05$ ) مقارنة بالشاهد غير المعامل، ولكن مع تقدم موسم النمو استمرت أعداد الحوريات بالازدياد (الشكل البياني A 2).

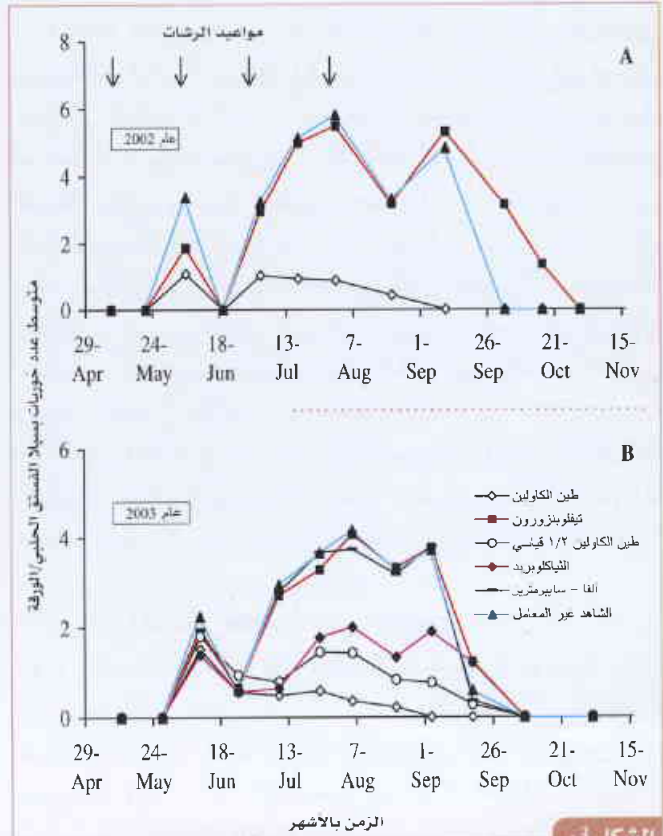
تمت السيطرة بشكل معنوي على الحشرات الكاملة للبيسلا ( $P < 0.01$ ) عند معاملة طين الكاولين مقارنة بمعاملي مبيد التيفلوبنزورون والشاهد اعتباراً من 18 حزيران وحتى 4 تشرين الثاني (الشكل البياني A 3). تم تسجيل أعداد متقاربة من الحشرات الكاملة عند معاملي مبيد التيفلوبنزورون والشاهد. ظهرت ثلاث قمم تدل على وجود كثيف للحشرات الكاملة خلال فترة الدراسة، القمة الأولى في بداية شهر حزيران، والثانية في نهاية شهر تموز، والثالثة في منتصف شهر أيلول (الشكل البياني A 3).

وعلى الرغم من أن دراستنا غير مصممة لدراسة التوزيع الزمني والتغير في الكثافات العددية لحشرة البيسلا، كشفت المصائد اللونية الصفراء اللاصقة المتخصصة لاصطياد الحشرات الكاملة عن وجود ثلاث قمم للنشاط مشابهة لما هو مبين في الشكل البياني 3 (نتائج غير معروضة).

تمكنت كل من معاملي طين الكاولين ومبيد التيفلوبنزورون من المحافظة على مجموع خضري سليم مقارنة بأشجار الشاهد غير المعاملة التي وصلت فيها نسبة الفقد المبكر للأوراق إلى 50% نتيجة للأضرار التي أحدثتها حشرة البيسلا. ومع حلول نهاية الموسم (أواخر شهر تشرين الأول) كانت أشجار الشاهد قد فقدت جميع أوراقها تماماً (الشكل البياني A 4).

#### موسم 2003

تمكن كل من طين الكاولين بالتركيز القياسي ومبيد التيفلوبنزورون ومبيد الثياكلوبريد من الحد بشكل معنوي من تزايد أعداد حوريات حشرة البيسلا الفستق الحلبي في بداية الموسم ( $F = 260.7$ ;  $df = 5, 55$ ) مقارنة بكل من طين الكاولين المستخدم بتركيز 2.5% ومبيد ألفا-سايبيرمثرين والشاهد غير المعامل. كانت أعداد الحوريات منخفضة بشكل معنوي عند معاملة طين الكاولين نصف القياسي مقارنة بمعاملي مبيد ألفا-سايبيرمثرين والشاهد غير المعامل. بينما لم تظهر اختلافات ذات قيمة معنوية بين مبيد ألفا-سايبيرمثرين والشاهد (الشكل البياني B 1). تشير النتائج إلى أن تغطية أشجار الفستق الحلبي بطين الكاولين بالتركيز القياسي (5% مادة فعالة) في فترة منتصف الموسم قد منعت حوريات حشرة البيسلا من النمو والتزايد، بينما أخفق مبيد ألفا-سايبيرمثرين على الرغم من ثلاث عمليات رش متتالية بفاصل 15 يوماً، في الحد من أعداد الحوريات. فقد اختلفت متوسطات أعداد الحوريات بشكل معنوي على الورقة الواحدة لشجرة الفستق الحلبي في 21 آب ( $F = 165.8$ ;  $df = 3, 21$ ) عند معاملة طين الكاولين مقارنة بكل من أشجار ألفا-سايبيرمثرين أو التيفلوبنزورون أو الشاهد (الشكل البياني B 2). ولكن تبين أن متوسط أعداد



الشكل 3:

أعداد حشرات بيسلا الفستق الحلبي الكاملة على أوراق أشجار الفستق الحلبي التي خضعت إلى أربع عمليات رش بفاصل 30 يوماً بكل من طين الكاولين بالتركيزين القياسي (5%) ونصف القياسي (2.5%)، والمبيدات الحشرية تيفلوبنزورون، ثياكلوبريد، وبفاصل زمني 15 يوماً لألفا سايبيرمثرين، إضافة إلى الشاهد غير المعامل، أيار-تشرين الثاني 2002 (A) و2003 (B). متوسط لـ 14 و12 مكرراً لتجارب عامي 2002 و2003 على التوالي، فحصت 12 ورقة عند كل مكرر. تم تحويل القيم المتحصل عليها إلى جذورها التربيعية.

#### النتائج

##### موسم 2002

انخفضت الكثافة العددية لحوريات حشرة البيسلا الفستق الحلبي بشكل مطرد عند كل من معاملي طين الكاولين والتيفلوبنزورون. وفي المقابل، تزايدت كثافة الحوريات بشكل كبير مع تقدم الموسم عند معاملة أشجار الشاهد. كانت الكثافة العددية للحوريات عند كل من معاملي طين الكاولين والتيفلوبنزورون منخفضة وأقل معنوياً مقارنة بالشاهد غير المعامل ( $P < 0.01$ ). انخفضت أعداد حوريات البيسلا بشكل حاد في نهاية الموسم عند معاملة أشجار الشاهد، ولكنها سجلت زيادة طفيفة عند معاملة أشجار التيفلوبنزورون، بينما لم تزد الكثافة العددية للحوريات بل انخفضت حتى وصلت إلى قيمة الصفر في 21 آب عند معاملة طين الكاولين، (الشكل البياني A 1). أدت التغطية بطين الكاولين خلال فترة منتصف الموسم (18 حزيران- 21 آب) إلى تراجع كبير في الكثافة العددية لحوريات

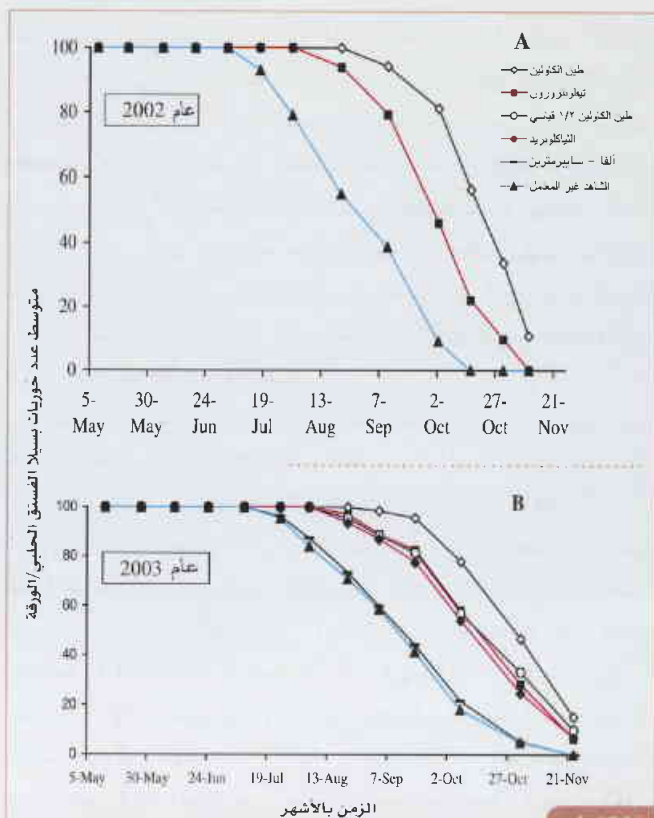
## المناقشة

تؤدي عملية الرش في بداية موسم النمو بكل من طين الكاولين والتيفلوبنزورون أو الثياكلوبريد إلى السيطرة على أضرار حشرة بسبب الفستق الحلبي. يُعزى موت الحوريات في معاملة طين الكاولين إلى التآزر بين كل من فعلي الموت جوعاً والتجفاف [22، 23، 25] بينما يمنع تناول وهضم المادة الفعالة في مبيد التيفلوبنزورون في الأطوار الأولى من طور الحورية تمثيل وبلعمة أو توضع الكيتين. فمن المعروف بأن تثبيط إنتاج الكيتين عند الحشرات يؤدي إلى الموت بدرجة عالية خلال فترة الانسلاخ عندما يتعرض جدار جسم الحشرة (الكيوتكل) إلى الإجهادات الناتجة عن عمليات الانسلاخ [4]. لا تتوفر دراسة، حول تأثير المبيد الحشري الكلورونيكوتينيل على نمو وتطور حشرة بسبب الفستق الحلبي، والثياكلوبريد من المبيدات الحشرية الجهازية والقارضة. إضافة لذلك، فالمركب يتمتع بالصفة الجهازية وبدرجة سمية منخفضة تجاه الثدييات. وتظهر آلية تأثيره من خلال الملامسة أو الهضم كنتيجة لتداخله مع مستقبلات النيكوتين إستيلكولين [29]. تبين من خلال دراستنا أن للثياكلوبريد كفاءة مقبولة في القضاء على طور الحورية لحشرة البسيلا على الرغم من رشه على الأشجار بفواصل 30 يوماً.

أدى التساقط المبكر لأوراق أشجار الشاهد خلال شهر أيلول من عامي 2002 و2003 إلى دفع ما تبقى من حشرات البسيلا لمغادرة هذه الأشجار والانتشار في بستان التجربة. نُفذت الرشة الأخيرة بالمبيدات خلال الأسبوع الأخير من شهر تموز، ومعروف من التطبيق الحقل لمركبي التيفلوبنزورون والثياكلوبريد بأن أعمارها النصف تقدر بحوالي 21 و28 يوماً، على التوالي. وهذا ما يفسر وجود أعداد قليلة من الحوريات على الأشجار المعاملة بالمبيدات المذكورين في فترة نهاية الموسم.

لم يوفر مركب ألفا-سايبيرمثرين (بيروثرويد) حماية مناسبة من الأضرار الناتجة عن حشرة بسبب الفستق الحلبي عندما طبق على الأشجار بواقع رشة كل 15 يوماً، وقد يعزى ذلك إلى قصر مدة فعاليته ضمن الظروف الحقلية أو ظهور مجتمعات مقاومة أو إلى درجة سميتها العالية للمتطفلات والمفترسات [28].

تؤدي التغطية بطين الكاولين في منتصف موسم النمو (بعد ظهور واستقرار الجيل الجديد للحشرة والتداخل في أطوار النمو المختلفة) إلى خفض أعداد مجتمع حشرة البسيلا بشكل عام، ولكنها تمنع بشكل خاص ظهور الأجيال التالية، بينما أخفق مبيد التيفلوبنزورون في القضاء على مجتمع حوريات البسيلا. ومن المعروف أن الحشرات الكاملة والأطوار اليرقية المتقدمة في العمر تكون أقل تأثراً بالمبيدات الحشرية المانعة للانسلاخ. ومع ذلك تقدم النتائج المتحصل عليها دليلاً إضافياً على أن استخدام طين الكاولين في منتصف موسم النمو قد يكون طريقة فعالة



الشكل 4:

متوسط النسبة المئوية للأوراق الخضراء على أشجار الفستق الحلبي التي خضعت إلى أربع عمليات رش بفواصل 30 يوماً بكل من طين الكاولين بالتركيزين القياسي (5%) ونصف القياسي (2.5%)، ومن المبيدات الحشرية تيفلوبنزورون، ثياكلوبريد، وبفواصل زمني 15 يوماً لألفا سايبيرمثرين، إضافة إلى الشاهد غير المعامل، أيار-تشرين الثاني 2002 و2003 (A) و2003 (B). متوسط لـ 14 و12 مكرراً لتجارب عامي 2002 و2003 على التوالي، فحصدت ثلاثة فروع للشجرة عند كل مكرر.

الحوريات عند معاملة الشاهد كانت أعلى معنوياً مقارنة بمعاملة مبيد ألفا-سايبيرمثرين.

لم يسجل على أشجار الفستق الحلبي المغطاة بطين الكاولين وجود لأعداد ذات قيمة معنوية من حشرات البسيلا الكاملة والشاهد غير المعامل (الشكل البياني 3 B). كما كان متوسط أعداد الحشرات الكاملة على الأشجار المعاملة بالثياكلوبريد أقل مقارنة بالأشجار المعاملة بمبيد التيفلوبنزورون وألفا-سايبيرمثرين.

تمكنت عمليات الرش الشهري بكل من مبيد التيفلوبنزورون والثياكلوبريد أو طين الكاولين بتركيز نصف قياسي من حماية أشجار الفستق الحلبي من خسارتها للمجموع الخضري بشكل مبكر مقارنة بأشجار الشاهد وتلك المعاملة بمبيد ألفا-سايبيرمثرين (الشكل البياني 4 B). تفوقت أشجار الفستق الحلبي المغطاة بطبقة رقيقة من طين الكاولين بالتركيز القياسي على نظيراتها المعاملة وغير المعاملة بالنسبة المئوية لحافظة فروعها على الأوراق الخضراء طوال فترة موسم النمو.

فقد ازدادت أطوال أعمار الأوراق نتيجة تغطيتها بطين الكاولين (الشكل البياني 4). إضافة لما ورد فقد أدى إهمال بستان التجربة والإصابة الشديدة المتكررة بحشرة البسيلا إلى تأخر نمو الأشجار وتقرمها. وبالمقابل، تشكلت عناقيد ثمرية عند العديد من أشجار الفستق الحلبي التي تمت تغطيتها بطين الكاولين خلال موسم 2002 و2003. وقد ذكرت مجموعة من الباحثين [19، 20] أهمية محافظة أشجار النقل على مجموعها الخضري سليماً بعد فترة الحصاد مما ينعكس إيجاباً على كل من نمو الجذور وتراكم المدخرات الغذائية وتطور البراعم الثمرية والخضرية.

تمكنا الدراسة الحالية، من منظور إدارة الآفات، من فهم جيد لفعالية وكفاءة طين الكاولين ضمن الظروف الخاصة ببساتين الفستق الحلبي، وتكشف عن قدرته الكامنة في السيطرة على الأضرار التي تسببها حشرة بسيلا الفستق الحلبي. لن يؤدي التطبيق الواسع لتقنية تغطية النباتات بطين الكاولين إلى ظهور مشاكل تتعلق بصفة المقاومة، إذ تعتمد التقنية في منع الإصابة بالحشرات على آليات فيزيائية ولا تشكل بذلك ضغطاً انتخابياً شديداً كالذي تحدته المبيدات الكيميائية [18]. وعلى الرغم من ذلك، معروف عن المساحيق أنها قد تحدث أضراراً لمجموعات الأعداء الحيوية [11]، ولكن قد تختلف درجة تأثير هذه المواد على التوازن البيولوجي تبعاً لأنواع الآفات والمتطفلات والمفترسات التي تهاجمها. فعلى سبيل المثال، بالرغم من رش أشجار بستان التجربة لموسمين متتاليين بطين الكاولين لم يسجل ظهور أية إصابة بأفة ثانوية يعتمد ضبطها على المتطفلات والمفترسات، بل على العكس، فإن من أهم المتطفلات على حشرة بسيلا الفستق الحلبي الطفيل *Psyllaephagus pistaciae* Ferrière (Hymenoptera: Encyrtidae) [27] قد اكتشف من خلال وجود مومياء فارغة لحوريات البسيلا نتيجة التطفل عليها، كما سجل وجود واضح لبعض الحشرات النافعة أمثال حشرات أبو العيد وأسد المن في موقع التجربة.

وأخيراً، لا بد لهذه النتائج المشجعة المتحصل عليها من الدراسة الحالية بأن تدفع إلى المزيد من الدراسات والأبحاث حول تقنية تغطية أشجار الفستق الحلبي بطين الكاولين للقضاء على حشرة بسيلا الفستق الحلبي في بساتين موزعة على مناطق جغرافية متباينة.

للقضاء على العدوى في حين لم تنجح طرائق مكافحة الأخرى في فعل الشيء ذاته.

تعتمد أنواع عديدة من الحشرات التي تتغذى على النباتات على مستقبلات الرؤيا، وخاصة الألوان، في تحديد مواقع العوائل [21]. فعلى سبيل المثال، أظهرت الحشرات الكاملة لبسيلا الإجاجص استجابة إيجابية للمصائد ذات اللون الأصفر بمقارنتها مع تلك ذات اللون الشفاف، وخاصة عندما بدأت تظهر النموات الخضرية الحديثة على أشجار الإجاجص [9، 12]. وفي تجربة مخبرية ضمن أقطاص وجد Puterka وزملاؤه [23] أن حشرات بسيلا الإجاجص الكاملة لا تتردد في زيارة النباتات المغطاة بطين الكاولين ولكن سرعان ما تغادرها نافرة منها. وبالتالي نستطيع أن نفترض بأن التغيرات في الألوان أو البنية الخارجية لسطوح الأوراق قد تكون إحدى الآليات التي تمنع حشرات البسيلا البالغة من الاستقرار ووضع البيوض على الأشجار المعاملة بطين الكاولين. ربما أخفقت حشرة بسيلا الفستق الحلبي في التعرف على الأشجار المغطاة بطين الكاولين وحطت بالمقابل على أشجار الجوار الخضراء. وفي حال صحة وثبوت هذا السلوك، فإنه بالإمكان تطبيقه بنجاح في طريقة مكافحة بواسطة النباتات المصيدة. وبالمقابل، يمكن أن يتسبب طين الكاولين في إحداث اضطراب في سلوكية الحشرات الكاملة للبسيلا من خلال انشغالها في محاولات مستمرة لتنظيف أجزاء أجسامها من حبيبات الطين، أو حتى أن تبقى بدون حراك (في حالة التغطية الكثيفة لأجسامها بطين الكاولين) لدرجة تعيقها عن القيام بأي نشاط لوضع البيوض [7].

تقتصر طرائق مكافحة حشرة بسيلا الفستق الحلبي حالياً على رش الأشجار بمجموعة واسعة من المبيدات الحشرية [13]. ويشير انعدام تسجيل اختلافات معنوية في أعداد حوريات البسيلا بين معاملات طين الكاولين ومبيدي التيفلوبنزورون والثياكلوربيريد إلى إمكانية أن يشكل طين الكاولين بديلاً مناسباً للمبيدات الحشرية. لم يتمكن كل من التيفلوبنزورون وألفا-سايبيرمثرين من القضاء على حشرات البسيلا عندما تم رش الأشجار في منتصف موسم النمو، بينما أدى تراكم طبقات طين الكاولين بعد ثلاث عمليات رش إلى السيطرة على حشرة بسيلا الفستق الحلبي. إضافة لذلك، يبدو أن طين الكاولين تقنية مثالية للسيطرة على حشرة بسيلا الفستق الحلبي في مناطق شرق المتوسط. حيث يقلل الصيف الجاف من إمكانية إزالة طبقة الطين كما أن النموات الخضرية المحدودة بعد منتصف شهر أيار تمنع بسيلا الفستق الحلبي من معاودة مهاجمة الأوراق غير المغطاة.

فحصت أشجار الفستق الحلبي المغطاة بطين الكاولين خلال موسمي التجارب الحقلية، لتحديد الآثار السامة أو الضارة إن وجدت عليها (تعرية مبكرة أو احتراق للأوراق)، لم تظهر أية أضرار أو تأثيرات جانبية على الرغم من أربع عمليات رش. بل على العكس،

د. جورج سبور.

– قسم التقانة الحيوية، هيئة الطاقة الذرية، ص. ب 6091 – دمشق – سورية.

– نُشرت ورقة البحث هذه في مجلة:

*Crop Protection*, 2005

## REFERENCES

## المراجع

- [1] Abacus Concepts, 1994. StatView, version 4.02. Abacus Concepts, Berkeley, 290 CA.
- [2] Anonymous, 2002. Annual Agricultural Statistical Abstract. Syrian Arab Republic, Ministry of Agriculture and Agrarian Reform. Dept. of Agricultural Statistics.
- [3] Arthur, F. H., Puterka, G. J., 2002. Evaluation of kaolinite-based particle films to control *Tribolium* species (Coleoptera: Tenebrionidae). *J. Stored Products Res.* 38, 341-348.
- [4] Cohen, E., 1987. Interference with chitin biosynthesis in insects. In Wright J.E, Retnakaran A. [Eds.], *Chitin and Benzoylphenyl Ureas*. W. Junk, Dordrecht. The Netherlands, pp. 43-73.
- [5] Cottrell, T. E., Wood, B. W. Reilly, C. C., 2002. Particle film affects black pecan aphid (Homoptera: Aphididae) on pecan. *J. Econ. Entomol.* 95, 782-788.
- [6] Dreistadt, S. H., Hagen, K. S., 1994. Classical biological control of the acacia psyllid, *Acizzia uncatoides* (Homoptera: Psyllidae), and predator-prey-plant interactions in the San Francisco Bay area. *Biological Control* 4, 319-327.
- [7] Glenn, D. M., Puterka, G. J., Vanderzwet, T., Byers, R. E., Feldhake, C., 1999. Hydrophobic particle films: a new paradigm for suppression of arthropod pests and plant diseases. *J. Econ. Entomol.* 92, 759-771.
- [8] Horton, D. R., 1999. Monitoring of pear psylla for pest management decisions and research. *Integrated Pest Management Reviews* 4, 1-20.
- [9] Horton, D. R., Lewis, T. M., 1997. Quantitative relationship between sticky trap catch and beat tray counts of pear psylla (Homoptera: Psyllidae): Seasonal, sex, and morphotypic effects. *J. Econ. Entomol.* 90, 170-177.
- [10] Johnson, D. C., 1997. United States is world leader in tree nut production and trade. Economic Research Service, USDA. Fruit and tree nuts situation, outlook/FTS-280/ August, pp. 35-41.
- [11] Knight, A. L., Unruh, T. R., Christianson, B. A., Puterka, G. J., Glenn, D. M., 2000. Effects of kaolin-based particle films on obliquebanded leafroller, *Choristoneura rosaceana* (Harris), (Lepidoptera: Tortricidae). *J. Econ. Entomol.* 93, 744-749.
- [12] Krysan, J. L., Horton, D. R., 1991. Seasonality of catch of pear psylla *Cacopsylla pyricola* (Homoptera: Psyllidae) on yellow traps. *Environ. Entomol.* 20, 626-634.
- [13] Lababidi, M. S., 2002. Effects of neem azal T/S and other insecticides against the pistachio psyllid *Agonoscaena targionii* (Licht.) (Homoptera, Psyllidae) under field conditions in Syria. *J. Pest Science* 75, 84-88.
- [14] Lababidi, M. S., Zebitz, C. P., 1995. Preliminary study on the pistachio psyllid (*Agonoscaena targionii*) (Licht) (Psyllidae: Homoptera) and its associated natural enemies in some regions of Syria. *Arab J. Pl. Prot.* 13, 62-68.
- [15] Lapointe, S. L., 2000. Particle film deters oviposition by *Diaprepes abbreviatus* (Coleoptera: Curculionidae). *J. Econ. Entomol.* 93, 1459-1463.
- [16] Liang, G., Liu, T. X., 2002. Repellency of a kaolin particle film, Surround, and a mineral oil, sunspray oil, to silverleaf whitefly (Homoptera: Aleyrodidae) on melon in the laboratory. *J. Econ. Entomol.* 95, 317-324.
- [17] Mart, C., Uygun, N., Altin, M., Erklic, L., Bolu, H., 1995. Species and pest control methods in pistachio orchards of Turkey. *Acta Horticult. (Pistachio Nut)* 419, 379-385.
- [18] Mazor, M., Erez, A., 2004. Processed kaolin protects fruit from Mediterranean fruit fly infestation. *Crop Protection.* 23, 47-51.
- [19] Nzima, M. D. S., Martin, G. C., Nishijima, C., 1999. Effect of fall defoliation and spring shading on shoot carbohydrate and growth parameters among individual branches of alternate bearing «Kerman» pistachio trees. *J. Amer. Soc. Hort. Sci.* 124, 52-60.
- [20] Oliveira, C., Priestly, C. A., 1988. Carbohydrate reserves in deciduous fruit trees. *Hort. Rev.* 10, 403-430.
- [21] Owens, E. D., Prokopy, R. J., 1986. Relationship between reflectance spectra of host plant surface and visual detection of host fruit by *Rhagoletis pomonella* flies. *Physiol. Entomol.* 11, 297-307.
- [22] Pasqualini, E., Civolani, S., Grappadelli, L. C., 2003. Particle film technology: approach for biorational control of *Cacopsylla pyri* (Rhynchota Psyllidae) in north Italy. *Bulletin of Insectology.* 55, 39-42.
- [23] Puterka, G. J., Glenn, D. M., Sekutowski, G., Unruh, T. R., Jones, S. K., 2000. Progress toward liquid formulation of particle film for insect and disease control in pear. *Environ Entomol.* 29, 329-339.
- [24] Saour, G., Makee, H., 2004. A kaolin-based particle film for suppression of the olive fruit fly *Bactrocera oleae* Gmelin (Dip., Tephritidae) in olive groves. *J. Appl. Ent.* 128, 28-31.
- [25] Showler, A. T., 2002. Effects of kaolin-based particle film application on boll weevil (Coleoptera: Curculionidae) injury to cotton. *J. Econ. Entomol.* 95, 754-762.
- [26] Sisterson, M. S., Liu, Y. B., Kerns, D. L., Tabashnik, B. E., 2003. Effects of kaolin particle film on oviposition, larval mining, and infestation of cotton by pink bollworm (Lepidoptera: Gelechiidae). *J. Econ. Entomol.* 96, 805-810.
- [27] Souliotis, C., Markoyiannaki-Printziou, D., Lefkaditis, F., 2002. The problems and prospects of integrated control of *Agonoscaena pistaciae* Burck. and Laut. (Hom., Sternorrhyncha) in Greece. *J. Appl. Entomol.* 126, 384-388.
- [28] Suh, C. P.-C., Orr, D. B., VanDuyn, J. W., 2000. Effect of insecticides on *Trichogramma exiguum* (Trichogrammatidae: Hymenoptera) preimaginal development and adult survival. *J. Econ. Entomol.* 93, 577-583.
- [29] Tomizawa, M., Casida, J. E., 2003. Selective toxicity of neonicotinoids attributable to specificity of insect and mammalian nicotinic receptors. *Annu. Rev. Entomol.* 48, 339-364.
- [30] Unruh, T. R., Knight, A. L., Upton, J., Glenn, D. M., Puterka, G. J., 2000. Particle films for suppression of the codling moth, *Cydia pomonella* (L.), in apple and pear orchards. *J. Econ. Entomol.* 93, 737-743.
- [31] Vincent, C., Hallam, G., Panneton, B., Fleurat-Lessard, F., 2003. Management of agricultural insects with physical control methods. *Annu. Rev. Entomol.* 48, 261-281.

# القيمة الغذائية لبعض المخلفات الزراعية نتيجة لتأثير معاملات كيميائية ومستويات منخفضة نسبياً من أشعة غاما

## ملخص

أُجريت تجربة لدراسة التغيرات في قيم معامل هضم المادة العضوية في الزجاج (*IVOMD*) والطاقة الاستقلابية (*ME*) في تبن القمح وقشور بذور عباد الشمس وخشب تفل الزيتون وقشور ثمار الفستق السوداني وبذور ثمار البلح، بعد معاملتها بمستويات مختلفة من أشعة غاما (0، 20، 40، 60 كيلوغرام)، أو بعد رشها بكميات مختلفة من حمض هيدروبروميك (47% HBr) وهيدروكسيد الصوديوم (NaOH) حيث (0.3، 6.3، 3.0، 6.3، 3.0) غ NaOH في 25 مل ماء/100 غ مادة جافة). أدت المعاملات الكيميائية إلى ارتفاع معنوي في قيم *ME* و *IVOMD* للعينات المعاملة كافة، باستثناء بذور ثمار البلح. ولم يلاحظ وجود تأثير معنوي للتشعيع على *ME* و *IVOMD*. وُجد أن المعاملات المشتركة للتشعيع و HBr أو NaOH غير فعّالة في زيادة قيم *IVOMD* و *ME*.

الكلمات المفتاحية: مخلف، قيمة غذائية، كيميائية، تشعيع.

## مقدمة

الصوديوم [6] والأمونيا واليوريا [7] و8 و9] والجير [10]، والمعاملات الفيزيائية مثل المعاملة بالبخار [11] وبمستويات عالية من أشعة غاما [12] بغرض تحسين القيمة الغذائية للمخلفات الزراعية اللغوسللولوزية. إن كلفة التشعيع بجرعة عالية (200 كيلوغرام) يمكن أن تكون عاملاً مقيداً لاستخدام المعاملة الإشعاعية [13]. تمّ في العمل الحالي تطبيق سويا منخفضة من أشعة غاما وكميات مختلفة من حمض هيدروبروميك أو هيدروكسيد الصوديوم على بعض المخلفات الزراعية، والتحري عن تأثير تلك المعاملات على معامل هضم المادة العضوية والطاقة الاستقلابية، كمحاولة لتحسين قيمتها العلفية للحيوانات المجترّة.

إن تدوير المخلفات الزراعية واستخدامها في تغذية الحيوانات المجترّة كمصادر بديلة للطاقة هام من وجهة نظر اقتصادية وبيئية. تحتوي هذه المخلفات على كميات عالية من المواد اللغوسللولوزية، ولها معامل هضم وقيمة غذائية منخفضة [1]. إن معامل هضم المخلفات محدود بفعل تبلورية السيللوز والترابط الفيزيائي الوثيق بين المواد الكربوهيدراتية البنيوية ومركب اللغنين [2] و3]. إضافة لذلك، تشكل مجموعات الأستيتل الموجودة على مركب الهيميسللولوز عاملاً هاماً في الحد من الحلمة الأنزيمية للمواد الكربوهيدراتية [4] و5]. تم اختبار المعاملات الكيميائية بهيدروكسيد



## جدول 1. التركيب الكيميائي للمخلفات الزراعية التجريبية.

	WS	SSS	OCW	DPS	PS
مادة جافة (%) التركيب (كغ مادة جافة)	96	96	96	93	94
رماد	89	28	19	14	25
دهن خام	17	74	64	91	41
بروتين خام	22	62	44	57	51
ألياف خام	414	552	495	116	718
NDF	785	841	840	630	912
OMD	461	324	209	617	260
ME (ميجاجول/كغ مادة جافة)	6.1	4.7	3.0	9.4	3.6

ألياف منظف متعادل (NDF)، مادة عضوية مهضومة في الزجاج (OMD)، طاقة استقلابية في الزجاج (ME)، تين القمح (WS)، قشور بذور عباد الشمس (SSS)، خشب تفل الزيتون (OCW)، بذور ثمار البلح (DPS)، قشور ثمار الفول السوداني (PS).

## المواد والطرائق

جُففت عينات المخلفات الزراعية إتين قمح (WS) وقشور بذور عباد الشمس (SSS) وخشب تفل الزيتون (OCW) وبذور ثمار البلح (DPS) وقشور ثمار الفستق السوداني (PS) في الهواء الطلق لمدة 5 أيام، ثم خلطت كل عينة مع بعضها البعض للتجانس بشكل جيد. ويبين الجدول 1 بعض قيم المكونات الغذائية للعينات المدروسة.

خشب تفل الزيتون هو الجزء المتبقي بعد نخل تفل الزيتون على منخل قطر ثقوبه 2.5 مم للحصول على لب تفل الزيتون. سُحقت بذور ثمار البلح بشكل خشن بواسطة آلة تقطيع إلى حوالي 5-7 مم. رُشَّت العينات بكميات مختلفة من محلول حمض هيدروبروميك (HBr؛ 47%) ومحلول هيدروكسيد الصوديوم (NaOH) حيث (0، 3، 6 مل HBr خُففت في 25 مل ماء/100 غ مادة جافة من المخلف؛ و3، 6 غ NaOH خُلت في 25 مل ماء/100 غ مادة جافة من المخلف). خُزنت العينات المعاملة مباشرة في أكياس نايلون في درجة حرارة المخبر (28 درجة مئوية) لمدة 12 ساعة للعينات المعاملة بمحلول NaOH، ولمدة 18 يوماً للعينات المعاملة بمحلول HBr، وبعد التخزين نُشرت العينات لمدة 3 أيام في المخبر لتجف هوائياً (احتوت العينات على 5-7% رطوبة). وُضعت العينات المعاملة كيميائياً في أكياس نايلون مغلقة وشععت بمستويات مختلفة من أشعة غاما (منبع  $^{137}\text{Cs}$ ) حيث (0 و20 و40 و60 كيلوغرام على التوالي) تحت الشروط الجوية نفسها من الحرارة (24 درجة مئوية) والرطوبة (حوالي 50%). وبعد ذلك طحنت العينات إلى أقطار 1 مم، ثم خُزنت مجمدة على درجة -20 مئوية في أكياس نايلون مغلقة لحين إجراء التحاليل.

جُضنت العينات التجريبية مع خليط من سائل الكرش وبيئة بسيطة، في سرينغات زجاجية عيارية سعة 100 مل على درجة حرارة 39 مئوية حسب الإجراءات المتبعة من قبل [14 و15 و16]، لتقدير معامل هضم المادة العضوية في الزجاج (IVOMD) والطاقة الاستقلابية (ME). معلومات تفصيلية لجمع سائل الكرش وطرائق

## جدول 2. تأثير النسخة شاماً (KGY) والمعاملات الكيميائية بحمض هيدروبروميك (HBr) أو هيدروكسيد الصوديوم (NaOH) على معامل هضم المادة العضوية في الزجاج لبعض المخلفات الزراعية (كغ مادة جافة).

المعاملة	WS	SSS	OCW	DPS	PS
شامد	461	324	209	617	260
HBr كيميائية (3 مل/100 غ مادة جافة)	513	380	248	561	275
	6	544	392	444	295
NaOH (مادة جافة 100 غ/كغ)	506	366	224	606	291
	6	556	404	601	313
كشع (KGY)	459	322	204	617	261
	40	460	326	613	261
	60	462	325	615	260
مشرك (3 + 20 ml HBr + KGY)	513	368	238	562	279
	3 + 40	511	384	551	270
	3 + 60	519	373	548	277
	6 + 20	540	399	543	289
	6 + 40	532	387	450	298
	6 + 60	543	402	445	301
(g NaOH + KGY)	511	366	223	606	293
	3 + 40	512	369	615	300
	3 + 60	508	375	604	308
	6 + 20	558	413	607	313
	6 + 40	561	396	611	317
	6 + 60	567	408	594	317
LSD (0.05)	11	13	11	12	9

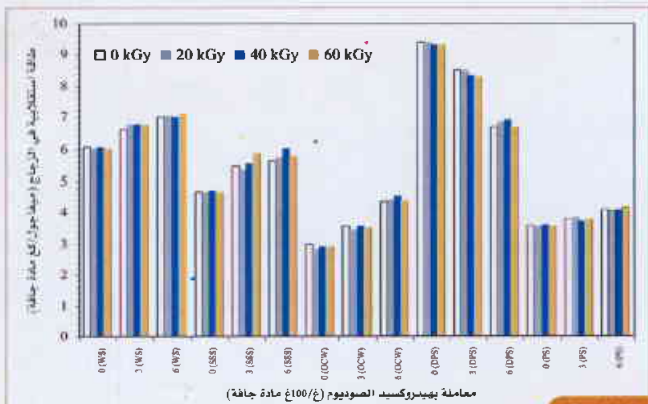
تين القمح (WS)، قشور بذور عباد الشمس (SSS)، خشب تفل الزيتون (OCW)، بذور ثمار البلح (DPS)، قشور ثمار فول السوداني (PS). أقل فرق معنوي: LSD.

التحسين وتقدير المعيارين IVOMD و ME وُصفت سابقاً من قبل [1]. قُدرت الألياف الخام والبروتين الخام ومستخلص الإيتر والرماد حسب [17]. جرى تقدير ألياف المنظف المتعادل (NDF) حسب طريقة [18].

أُستخدم التصميم العشوائي الكامل بعاملين: (1) المعاملة الكيميائية كعامل أول (0 و3 و6 مل HBr و3 و6 مل NaOH لكل 100 غ مادة جافة)؛ (2) أشعة غاما كعامل ثانٍ (0 و20 و40 و60 كيلوغرام). جرى تحليل كل من العينات المعاملة في ثلاثة تكرارات (n=3). أُخضعت النتائج إلى تحليل التباين (ANOVA) باستخدام البرنامج الإحصائي Statview 4.5 (Abacus Concepts, Berkely, CA, USA) وأقل فرق معنوي (LSD) بمستوى ثقة 5%.

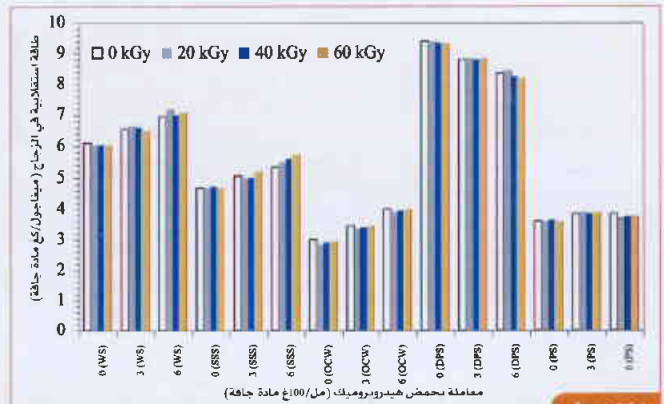
## النتائج والمناقشة

وُجدت زيادات معنوية ( $P < 0.05$ ) في معامل هضم المادة العضوية والطاقة الاستقلابية للعينات المعاملة بحمض هيدروبروميك (HBr) أو هيدروكسيد الصوديوم (NaOH) كافة، باستثناء بذور ثمار البلح



الشكل 2

تأثير هيدروكسيد الصوديوم وأشعة غاما على الطاقة الاستقلابية في الزجاج لتبن القمح (WS) وقشور بذور عباد الشمس (SSS) وخشب تفل الزيتون (OCW) وبذور ثمار البلح (DPS) وقشور الفستق السوداني (PS).



الشكل 1

تأثير حمض هيدروبروميك وأشعة غاما على الطاقة الاستقلابية في الزجاج لتبن القمح (WS) وقشور بذور عباد الشمس (SSS) وخشب تفل الزيتون (OCW) وبذور ثمار البلح (DPS) وقشور الفستق السوداني (PS).

أو NaOH غير فعالة في زيادة قيم IVOMD وME، وأن الزيادات في المعايير المدروسة تعود بشكل رئيس إلى تأثير المعاملات الكيميائية. نستنتج ختاماً، أن المعاملات الكيميائية تحسّن القيمة الغذائية للمخلفات الزراعية المحتوية على كميات عالية من المواد اللغوسلولوزية. يحتوي خشب تفل الزيتون على قيمة غذائية ومادة عضوية مهضومة ولكن بنسب منخفضة جداً ولذلك يمكن استخدام خشب تفل الزيتون كمادة علفية. تحتوي بذور ثمار البلح قبل معالمتها على قيم عالية نوعاً ما للمادة العضوية المهضومة والمواد الكربوهيدراتية الذائبة، وكمية منخفضة من الألياف الخام، ويمكن أن يستخدم كمادة علفية للحيوانات المجترّة بعد جرشه أو سحقه. إضافة لما سبق، ولاستكمال التجارب وتعزيز النتائج، يفدو ضرورياً إجراء دراسات على الحيوان الحي لتقدير النمو ومعايير الاستساغة للمخلفات المعاملة كيميائياً.

(DPS)، حيث انخفضت تلك المعايير (جدول 2). لوحظت أعلى قيم لمعامل الهضم وللطاقة الاستقلابية للمخلفات الزراعية المدروسة في بذور ثمار البلح، بينما لوحظت أقل قيم لتلك المعايير في خشب تفل الزيتون. لم تستجب المخلفات الزراعية التجريبية للمعاملات الكيميائية بشكل متساوٍ حول ما يتعلق بالزيادات الحاصلة في قيم ME. وكانت الاستجابة للمعاملات الكيميائية مرتبطة بنوع المخلفات الزراعية المعاملة وبينية المواد اللغينية وبكميتي السللوز واللغنين في تلك المخلفات [19].

أشارت النتائج إلى زيادة قيم IVOMD وME نتيجة للمعاملات الكيميائية لكافة المخلفات الزراعية المعاملة والمحتوية على كميات عالية من مواد الجدار الخلوي (ألياف المنظف المتعادل، NDF) والألياف الخام. وبذلك يمكن أن تعزى الزيادات المسجلة للمخلفات WS وSSS وOCW وPS إلى الانخفاض في مكونات الجدار الخلوي أو المواد اللغوسلولوزية، والتي تنسجم، على الأرجح، مع زيادة أشكال المواد الكربوهيدراتية الأكثر قابلية للذوبان والأسهل هضماً. وأشارت النتائج إلى أن قيم IVOMD وME مرتبطة سلباً بقيم الألياف الخام (CF) ( $r = -0.87$  و  $r = -0.90$  على التوالي). وعند المعاملة بالقلوي يصبح مركبا اللغنين والهيميسلولوز ذائبين كما يتضخم مركب السللوز [20] و[21]. وأشار [22] إلى أن معاملة التبن بهيدروكسيد الصوديوم حتى تركيز 7% تزيد قيم معامل الهضم وتخفيض قيم NDF بشكل خطي.

لم تؤثر أشعة غاما (20-60 كيلوغرام) بشكل معنوي ( $P > 0.05$ ) على قيم IVOMD وME في العينات التجريبية كافة (جدول 2) والشكلان 1 و2) ويمكن عزو ذلك إلى المستويات المنخفضة من التشعيع والتي لم يكن لها فعل كافٍ لتحطيم المواد اللغوسلولوزية. إضافة لذلك، وجد أن المعاملات المشتركة بمستويات منخفضة من أشعة غاما مع HBr

د. محمد راتب المصري.

– قسم الزراعة، هيئة الطاقة الذرية، ص. ب 6091 – دمشق – سورية.

– نُشرت ورقة البحث هذه في مجلة:

*Bioresource Technology* (2005)

## References

## المراجع

- [1] Al-Masri, M.R., 2003. An in vitro evaluation of some unconventional ruminant feeds in terms of the organic matter digestibility, energy and microbial biomass. *Trop. Anim. Health Prod.* 35, 155-167.
- [2] Al-Masri, M.R., Guenther, K.D., 1999. Changes in digestibility and cell-wall constituents of some agricultural by-products due to gamma irradiation and urea treatments. *Radiat. Phys. Chem.* 55, 323-329.
- [3] Al-Masri, M.R., Zarkawi, M., 1994. Effects of gamma irradiation on cell-wall constituents of some agricultural residues. *Radiat. Phys. Chem.* 44, 661-663.
- [4] Ballet, N., Besle, J.M., Demarquilly, C., 1997. Effect of ammonia and urea treatments on digestibility and nitrogen content of dehydrated Lucerne. *Anim. Feed Sci. Tech.* 76, 69-82.
- [5] Brownell, H.H., Saddler, J.N., 1987. Steam pretreatment of lignocellulosic material for enhanced enzymatic hydrolysis. *Biotechnol. Bioeng.*, 24, 228-235.
- [6] Chosdu, R., Hilmy, N.E., Erlinda, T.B., Abbas, B., 1993. Radiation and chemical pretreatment of cellulosic waste. *Radiat. Phys. Chem.* 42, 695-698.
- [7] Feist, W.C., Baker, A.J., Tarkow, H., 1970. Alkali requirements for improving digestibility of hardwoods by rumen micro-organisms. *J. Anim. Sci.* 39, 832-835.
- [8] Gandi, J., Holtzapple, M.T., Ferrer, A., Byers, F.M., Turner, N.D., Nagwani, M., Chang, S., 1997. Lime treatment of agricultural residues to improve rumen digestibility. *Anim. Feed Sci. Tech.* 68, 195-211.
- [9] Goering, H.K., Van Soest, P.J., 1970. Forage fiber analysis (apparatus, reagents, procedures and some applications). In: *Agriculture Handbook No. 379. Agriculture Research Service, United States Department of Agriculture, Washington, USA.*
- [10] Gould, J.M., 1984. Studies on the mechanism of alkaline peroxide delignification of agricultural residues. *Biotechnol. Bioeng.* 27, 225-231.
- [11] Hartley, R.D., Jones, E.C., 1978. Effects of aqueous ammonia and other alkalis on the in vitro digestibility of barley straw. *J. Sci. Food Agric.* 29, 92-98.
- [12] Kong, R., Engler, C.R., Soltes, E.J., 1992. Effects of cell-wall acetate xylan backbone and lignin on enzymatic hydrolysis of aspen wood. *Appl. Biochem. Biotechnol.* 34, 23-35.
- [13] Menke, K.H., Raab, L., Salewski, A., Steingass, H., Fritz, D., Schneider, W., 1979. The estimation of the digestibility and metabolizable energy content of ruminant feedstuffs from the gas production when they are incubated with rumen liquor in vitro. *J. Agric. Sci.* 93, 217-222.
- [14] Menke, K.H., Steingass, H., 1988. Estimation of the energetic feed value obtained from chemical analysis and in vitro gas production using rumen fluid. *Anim. Res. Dev.* 28, 7-55.
- [15] Naumann, C., Bassler, R., 1976. Die chemische Untersuchung von Futtermitteln. In: *Methodenbuch Band III, 6-2. Neumann-Neudamm-Verlag, Berlin, p.1.*
- [16] Raininko, K., Heikkilae, T., Lampila, M., Kossila, V., 1981. Effect of chemical and physical treatment on the composition and digestibility of barley straw. *Agric. Environment.* 6, 261-266.
- [17] Rexen, F., Thomsen, K.V., 1976. The effect on digestibility of a new technique for alkaline treatment of straw. *Anim. Feed Sci. Technol.* 1, 73-83.
- [18] Schneider, M., Flachowsky, G., 1990. Studies on ammonia treatment of wheat straw: Effects of level of ammonia, moisture content, treatment time and temperature on straw composition and degradation in the rumen of sheep. *Anim. Feed Sci. Technol.* 29, 251-264.
- [19] Sealbert, A., Monties, B., Lallemand, J.Y., Guittet, E., Rolande, C., 1985. Ether linkage between phenolic acids and lignin fractions from wheat straw. *Phytochemistry.* 24, 1359-1362.
- [20] Steingass, H., Menke, K., 1986. Schätzung des energetischen Futterwertes aus der in vitro mit Pansensaft bestimmten Gasbildung und der chemischen Analyse. 1. Untersuchungen zur Methode. *Tierernährung.* 14, 251-270.
- [21] Sundstol, F., Coxworth, E., Mowat, D.N., 1978. Improving the nutritive quality of straw and other low-quality roughages by treatment with ammonia. *Word Anim. Rev.* 26, 13-21.
- [22] Whistler, R.L., Teng, J., 1970. Cellulose chemistry. In: *Britt, K.W. (Ed.), Handbook of Pulp and Paper Technology, 2nd ed. Van Nostrand Reinhold Company, New York, pp.13-23.*



## دراسة الخواص الحرارية لأفلام البولي إيثيلين ترفتالات المطعمة بحمض الإكريليك

د. منذر قطان، د. إيمان النسر

دائرة تقانات البوليميرات، قسم تكنولوجيا الإشعاع، هيئة الطاقة الذرية، ص.ب. 6091 دمشق، سورية

## ملخص

تم في هذا البحث تطعيم أفلام من البولي إيثيلين ترفتالات بمونومير حمض الإكريليك باستخدام تقنية أشعة غاما. حيث درست العوامل المؤثرة على عملية التطعيم مثل تركيز المونومير والجرعة الإشعاعية وتأثير المثبط. ودرست خواص الأغشية المطعمة أيضاً مثل قابليتها الانتباجية بالماء والسعة التبادلية للشوارد المعدنية. حيث لوحظ زيادة في الانتباجية بزيادة نسبة التطعيم وتأخذ قيمة عظمى عند نسبة تطعيم تساوي 80%. ودرست الخواص الحرارية كذلك مثل التحول الزجاجي والتبلور والانصهار وتأثير نسب التطعيم على هذه الخواص. ووجد انخفاض في درجة حرارة التحول الزجاجي بزيادة نسبة التطعيم حتى 10% بعد ذلك تبقى درجة حرارة التحول الزجاجي ثابتة. وتنخفض قيم  $\Delta C_p$  بزيادة نسبة التطعيم، تتأثر درجة حرارة التبلور والانصهار والنسبة البلورية بعملية التطعيم. وبما أن عملية التطعيم تتم بصورة جانبية على طول سلاسل البوليمير، مما يؤدي إلى صعوبة التبلور في المناطق المطعمة والمجاورة لها وإن وجود التشعب branching يحد على الأغلب من حجم البلورات. يقود هذا إلى خفض درجة حرارة التبلور والانصهار ونسبة التبلور بزيادة نسبة التطعيم.

الكلمات المفتاحية: بولي إيثيلين ترفتالات، أشعة غاما، تطعيم، حمض الإكريليك، التحول الزجاجي، التبلور.

تقرير مختصر عن بحث علمي أنجز في دائرة تقانات البوليميرات، هيئة الطاقة الذرية السورية.

## تأثير الإضافات في البنية الدقيقة وتلبيد أكسيد الموليبدنيوم — دراسة المحاليل الصلبة ذات الصلة

د. محمد قاسم

قسم الكيمياء، هيئة الطاقة الذرية، ص.ب. 6091 دمشق، سورية

## ملخص

يرتكز هذا العمل على دراسة التحولات الطورية لأكسيد الموليبدنيوم عند إشابته بنسب مختلفة من أكسيد الفناديوم وأكسيد النيوبيوم وأكسيد الألمنيوم ومعدن الألمنيوم. هذه النسب هي (2، 3، 4، 5، 10، 20، 40، 50%) درست المحاليل الصلبة المتشكلة نتيجة كل إضافة باستخدام التقنيات التالية: انعراج الأشعة السينية على المساحيق X-ray powder diffraction، ومطيافية فورييه للأشعة تحت الحمراء FTIR، والتحليل الحراري التفاضلي DTA. كما درست قابلية الكبس والتلبيد للمحاليل الصلبة الناتجة عن الإضافات المختلفة من خلال تغير الكثافة لأقراص محضرة من هذه المحاليل الصلبة.

الكلمات المفتاحية: أكسيد الموليبدنيوم، تحول طوري، انعراج الأشعة السينية، مطيافية فورييه للأشعة تحت الحمراء، التحليل الحراري التفاضلي.

تقرير مختصر عن بحث أنجز في قسم الكيمياء، هيئة الطاقة الذرية السورية

## تأثير الأشعة المؤينة وغير المؤينة على

## بيوض الديدان الطفيلية والأوالي التي تسبب الأمراض المعوية في مخلفات الصرف الصحي

د. نجم الدين شرابي، معتصم شما، محمد عمار العدوي

قسم التقانة الحيوية والبيولوجيا الجزيئية، قسم تكنولوجيا الإشعاع، هيئة الطاقة الذرية، ص.ب. 6091 دمشق، سورية

## ملخص

بيّنت نتائج تجارب القضاء على بيوض الأسكاريس والأوالي والأكياس الزحارية بالأشعة المؤينة الصادرة من  $Co^{60}$  أن جرعة إشعاعية قدرها 6 كيلو غرام قادر على القضاء عليها بشكل كلي. وعلى النقيض لم تبد تجارب القضاء على بيوض الأسكاريس والجيارديا والأكياس الزحارية أي نتائج إيجابية باستخدام تقنية الأشعة فوق البنفسجية فقد تبين أن هذه الأشعة كان لها دور تحفيزي في عملية انقسام بيوض الأسكاريس. في حين لم يلاحظ أي تأثير على حيوية الجيارديا والأكياس الزحارية. ولذلك يمكن الاستنتاج على ضوء هذه التجارب الحالية عدم اعتبار تقانة الأشعة فوق البنفسجية بديلاً عن استعمال الأشعة المؤينة للقضاء على بيوض الديدان والحيوانات الأولية.

الكلمات المفتاحية: الطفيليات، بيوض الأوالي، أشعة مؤينة، الأشعة فوق البنفسجية، العيشية.

تقرير مختصر عن بحث علمي أنجز في قسم التقانة الحيوية والبيولوجيا الجزيئية،  
هيئة الطاقة الذرية السورية

استخدام البيلون السوري لإزالة المواد العضوية  
وبعض الأيونات الأخرى من حمض الفسفور التجاري السوري

د. سعد الدين خرفان، د. محمد الخالد عبد الباقي، عدنان زين

مكتب التعدين المائي، هيئة الطاقة الذرية، ص.ب. 6091، دمشق، سورية

## ملخص

إن استخدام الفحم الفعال في وحدات استخلاص اليورانسيوم والـ  $P_2O_5$  من أجل إزاحة المادة العضوية الموجودة في حمض الفسفور عملية مكلفة، وكان لابد من دراسة مواد مازة جديدة تغني عن الفحم الفعال؛ لذلك أجريت تجارب على استخدام البيلون السوري في عملية امتزاز المواد العضوية من حمض الفسفور لخص ثمن البيلون ولتوفره في السوق المحلية. وقد دلت النتائج على فعالية هذه المادة في التخلص من المواد العضوية الموجودة في حمض الفسفور، وعلى أن التنشيط الكيميائي والحراري لها يزيدان فعاليتها في الامتزاز.

الكلمات المفتاحية: امتزاز، حمض الفسفور التجاري السوري، البيلون السوري.

تقرير مختصر عن دراسة علمية أنجزت في مكتب التعدين المائي، هيئة الطاقة الذرية السورية.

## تصميم وحدة تغذية كهربائية متقطعة 150 kHz، 3 kW وتنفيذها

د. شريف الحواط

قسم الفيزياء، دائرة الفيزياء الذرية والجزيئية، هيئة الطاقة الذرية، ص.ب، 6091 دمشق، سورية

جول شليويط

قسم الخدمات العلمية، دائرة الإلكترونيات، هيئة الطاقة الذرية، ص.ب، 6091 دمشق، سورية

أولي زاخروفيتز

E. U. Sacharowitz، الوكالة الدولية للطاقة الذرية

### ملخص

جرى تنفيذ وحدتي تغذية ثلاثية الطور متقطعة بتواتر 150 kHz وجهد 3 kV واستطاعة خرج أعظمية قدرها 3 kW لكل منهما، وذلك من أجل تأمين التغذية الكهربائية لأنبوبتي ليزر CO<sub>2</sub> يعمل على الجريان السريع للمزيج CO<sub>2</sub>:N<sub>2</sub>:He بضغط متوسط، وموصلتين ضوئياً على التسلسل بغية الحصول على خرج ليزري كلي باستطاعة أعظمية قدرها 500 W. ونُفذ الاختبار على حمل افتراضي مقاومي وسعوي قدره 3 kΩ و 300 pF.

الكلمات المفتاحية: ليزر CO<sub>2</sub>، جريان سريع، تغذية متقطعة.

تقرير مختصر عن عمل تقني أنجز في قسم الفيزياء، هيئة الطاقة الذرية السورية.

## طريقة محاكاة الأطياف من أجل الإثارة الانتقائية للنظائر

د. أسامة الحسنية

قسم الكيمياء، هيئة الطاقة الذرية، ص.ب، 6091 دمشق، سورية

د. محمد اسكيف

قسم الفيزياء، هيئة الطاقة الذرية، ص.ب، 6091 دمشق، سورية

### ملخص

طور في هذا العمل برنامج حاسوبي من أجل محاكاة الانتقالات المثارة بالليزر بين السويات الإلكترونية بهدف حساب الانتقائية النظرية. يقوم هذا البرنامج بتوليد طيف الانتقال لكل نظير من نظائر العنصر بمراعاة النسب النظرية والانزياحات النظرية والبنية فوق الدقيقة وقواعد الاصطفاء وتعرض دوبلر والتعرض الطبيعي، ثم توليد طيف الليزر، ومن ثم محاكاة تفاعل الليزر مع سويات الطاقة والحصول على أطياف الإثارة وحساب الانتقائية بتأبعية طول موجة الليزر المستخدم. وحسبت الانتقائية لنظائر اللانثانوم والليثيوم والإيتريوم.

الكلمات المفتاحية: محاكاة الأطياف، إثارة انتقائية للنظائر، اللانثانوم، الإيتريوم، الليثيوم.

تقرير مختصر عن دراسة علمية حاسوبية أنجزت في قسم الكيمياء، هيئة الطاقة الذرية السورية.

## ربط الكود HYDMN مع الكودين CITATION و WIMSD4

د. محمد البرهوم

قسم الهندسة النووية، هيئة الطاقة الذرية، ص. ب. 6091 دمشق، سورية

## ملخص

تمّ ربط الكود هايديم HYDMN مع الكود الثلاثي الأبعاد سايتيشن CITATION وكود الخلية WIMSD4 من خلال توليد ملف دخل جديد للكود وِمز في كل مرة يتم فيها تشغيل الكود هايديم، ويتم طلب خيار الربط بين الكودين هايديم وِمز. بهذه الطريقة يمكن للكود سايتيشن أن يعمل مستفيداً من معطيات الوقود الموجودة في ملف دخل الكود هايديم (REAC.INP) حيث يحسب توزع الاستطاعة الذي يمكن استخدامه في الكود هايديم لحساب مواقع النقطة والقناة الحاريتين.

الكلمات المفتاحية: سايتيشن، وِمز، هايديم، ربط، كود.

تقرير مختصر عن دراسة علمية حاسوبية أنجزت في قسم الهندسة النووية، هيئة الطاقة الذرية السورية

## إيجاد علاقة السعة الكهربائية الساكنة لمكثفة فائقة الناقلية

د. سمير الخواجة

قسم الفيزياء، هيئة الطاقة الذرية، ص. ب. 6091 دمشق، سورية

## ملخص

لقد جرى في هذا العمل دراسة وصلة جوزفسون وحيدة الاتصال وضعيفة الارتباط من النمط النقطي، حيث تتشكل منها مكثفة فائقة الناقلية لها سعة كهربائية ساكنة  $C$  صغيرة جداً بسبب تموضع الشحنات الكهربائية المرافقة لأزواج كوبر الإلكترونية العابرة بمفعول النفق. تمّ استنتاج العلاقة الرياضية التي تعطي السعة الكهربائية المتولدة وفقاً لتشكيلها الهندسي انطلاقاً من معادلة لابلاس  $\nabla^2 U = 0$ ، حيث  $U$  هو الكمون الكهربائي بين طرفي المكثفة. اعتماداً على القيمة المحسوبة للسعة الكهربائية ( $\approx 10^{-14}$  Farad) جرى تحديد مدى صلاحية تطبيق النموذج الكمومي الكامل على وصلات جوزفسون النانوية التي تلعب دوراً مميزاً في عمل الدارات نوات الناقلية الفائقة كمومياً.

الكلمات المفتاحية: وصلة جوزفسون، مكثفة فائقة الناقلية، الوصلات النانوية، النموذج الكمومي الكامل.

تقرير مختصر عن دراسة حاسوبية أنجزت في قسم الفيزياء، هيئة الطاقة الذرية السورية.



## محاكاة ظواهر التبريد بالحمل الطبيعي لمفاعلات البحث باستخدام الكود PARET

د. علي حنون، فايز الهابط

قسم الهندسة النووية، دائرة أمان المفاعلات، هيئة الطاقة الذرية، ص.ب. 6091 دمشق، سورية

### ملخص

تتناول هذه الدراسة اختبار مقدرة الكود PARET على محاكاة ظواهر التبريد بالحمل الطبيعي تحت شروط بدئية مختلفة، إضافةً إلى تطبيق واختبار بعض الخيارات الجديدة المتعلقة بمحاكاة تحريك قضيب التحكم ودراسة مدى تأثير تمدد قضبان الوقود في التفاعلية المتاحة.

عالجت هذه الدراسة في هذا الإطار تحقيق الكود من خلال حساب تجربة جامعة Missouri المتعلقة بتبريد قناتين ضيقتين متوازيتين تحت شروط الحمل الطبيعي، حيث أظهرت المقارنة نتائج مقبولة بخصوص التوزيع الزمني لسرعة جريان المبرد ودرجة حرارة كل من الغلاف والمبرد مع توافق جيد في حساب معامل الانتقال. من جهةٍ أخرى أعيدت نمذجة قلب المفاعل منسّر بهدف محاكاة السلوك الديناميكي للمفاعل تحت شروط التبريد بالحمل الطبيعي عند استطاعات بدئية مختلفة. وقد بيّنت النتائج حدوث تآرجحات في التوزيع الزمني للاستطاعة في مرحلة الإقلاع لا تلبث أن تتلاشى تدريجياً مع مرور الزمن. وقد أعيد في هذا السياق حساب تجارب التغير القفزي للتفاعلية باستخدام خيار التبريد بالحمل الطبيعي مع اختبار طريقتين لمحاكاة الشروط البدئية للحساب؛ تتمثل الأولى بتحديد قيمة بدئية تقديرية لسرعة جريان المبرد في حين اعتمدت الثانية على إعطاء قيم فرق ضغط بدئية بين مدخل

القلب ومخرجه. وقد وجد تطابق جيد لكلا الحالتين مع القيم التجريبية. وقد ترافق التحقيق مع دراسة حساسية النتائج للسرعة البدئية للمبرد وقيمة البعد القطري لقضبان الوقود حيث لوحظ وجود تأثير هام لكلا المعاملين في النتائج. في هذا السياق جرى تحديد تأثير تمدد قضبان الوقود في مفعول الربط العكسي للتفاعلية ومن ثم السلوك الديناميكي، وقد تبين أن تأثير هذا التمدد مهم حيث لم يتجاوز الانزياح النسبي في قيمة الاستطاعة 0.7% من أجل الاستطاعة الاسمية للمفاعل.

من جهةٍ أخرى جرى اختبار خيار جديد في الكود يتعلق بالتحكم بتفاعلية القلب عن طريق تحريك قضيب التحكم واختبر هذا الخيار بحساب حدث سحب قضيب التحكم دفعة واحدة من الحالة الباردة للمفاعل باعتماد سرعة وسطية ثابتة لحركة قضيب التحكم تبلغ حوالي 8.7 mm/s جرى التحقق منها تجريبياً من خلال إعادة قياس سرعة قضيب التحكم في المفاعل منسّر، وقد اعتمد التوزيع الطولي لغنى تفاعلية قضيب التحكم على تجارب معايرة قضيب التحكم المجرأة على المفاعل. وقد دلت النتائج على وجود تطابق جيد مع النتائج التجريبية.

الكلمات المفتاحية: الكود PARET، المفاعل منسّر، الحمل الطبيعي، السلوك الديناميكي، مفعول الربط العكسي للتفاعلية.

تقرير مختصر عن دراسة علمية حاسوبية أنجزت في قسم الهندسة النووية، هيئة الطاقة الذرية السورية.



# إطلالة علمية



# "ظاهرة الاحترار العالمي"

## وغازات الدفيئة

إعداد: د. عادل حرقوش

### ما الذي يحدث خلال التبادل الطاقى بين الأرض والشمس؟

تستقبل الأرض مقداراً هائلاً من الإشعاع الشمسي. وتتماماً عند حدود الغلاف الجوي، يبلغ متوسط كثافة تدفق الطاقة الشمسية حوالي 1366 واط عبر المتر المربع، أو  $1.740 \times 10^{17}$  واط فوق كامل سطح الأرض. وهذه الطاقة تفوق كثيراً القدرة الناجمة عن النشاطات البشرية. وبمرور الزمن، تتعادل الطاقة الشمسية الواردة إلى الأرض مع طاقة الإشعاع الصادر عن الأرض (بحيث يمكن القول إن الطاقة الشمسية المخزنة على سطح الأرض تبقى ضئيلة القيمة). وغالباً ما يأخذ الإشعاع الصادر عن الأرض شكلين اثنين: إشعاعاً شمسياً منعكساً وإشعاعاً حرارياً.

يبلغ الإشعاع الشمسي المنعكس 30% من إجمالي الإشعاع الأرضي الكلي: أي بمعدل 6% من الإشعاع الشمسي القادم حيث ينعكس عبر جو الأرض ليعود إلى الفضاء الخارجي و20% ينعكس بوساطة الغيوم و4% ينعكس بوساطة سطح الأرض.

أما الـ 70% المتبقية من الإشعاع الشمسي الوارد إلى الأرض فيتم امتصاصها: إذ يقوم جو الأرض بامتصاص 16% (وغالبية هذه القيمة تقع في مجال الأمواج فوق البنفسجية القصيرة والتي يتم امتصاصها من قبل طبقة الأوزون) و3% تمتصها الغيوم و51% تمتصها اليابسة والمحيطات. وهذه الطاقة الممتصة تسخن الجو والمحيطات واليابسة وتمنح طاقة الحياة على كوكب الأرض.

وكما هو حال الشمس، تعتبر الأرض مشعاً حرارياً. ونظراً لكون الأرض أبرد بكثير من الشمس، فإن الأرض تشع طاقتها الحرارية بأطوال موجية أكبر من تلك الواردة من الشمس. أي أن الأطوال الموجية للإشعاع الشمسي تكون في مجال الضوء المرئي (500 نانومتر) أما الإشعاع الأرضي فهو في حدود ما تحت الأحمر الأقصى (حوالي 10 ميكرومتر).

ونظراً لقيام الغلاف الجوي بدور الماص الجيد للأطوال الكبيرة من الأشعة تحت الحمراء، فهو يشكل معبراً وحيد الاتجاه حول سطح الأرض. أي أنه يسمح بمرور الإشعاع المرئي-المرئي-القريب الوارد من الشمس نحو الأرض ولا يسمح بعودة الإشعاع الحراري من سطح الأرض إلى الفضاء الخارجي. وينجم عن ذلك زيادة في سخونة سطح الأرض.

### ماذا يعني تبدل المناخ climate change؟

يتبدل مناخ الأرض بشكل مستمر، وتقع القيمة الوسطية لدرجة حرارة الأرض حالياً بحدود 15 درجة مئوية. توحى الجيولوجيا وحفائق أخرى أن وسطي درجة الحرارة في الماضي تراوحت ما بين 27 و 7 درجة مئوية.

غير أن العلميين قلقون من أن الانحراف الطبيعي المعاصر قد تم تجاوزه بفعل احترار سببه الإنسان، مما أثار بشكل حاد على استقرار المناخ الذي تتعلق به حيوات كثيرة على سطح الأرض.

## مفعول الدفيئة greenhouse effect

لقد اكتشف جوزيف فورييه مفعول الدفيئة في العام 1824، أما دراسته كميًا فقد كان سفانت أرينيوس أول من قام بها في العام 1896. وبالتعريف، فإن مفعول الدفيئة هو عملية يتم فيها امتصاص الإشعاع تحت الأحمر من قبل مجموعة من الغازات، مما يؤدي إلى تسخين الوسط الذي توجد فيه هذه الغازات.

جاء مصطلح "مفعول الدفيئة" مغلوطاً إثر الاعتماد على التشابه الوظيفي مع ما يحدث في البيت الزجاجي أو البلاستيكي المعزول عن الوسط الخارجي والذي يتم تسخينه بواسطة أشعة الشمس بغية تنشيط نمو النباتات فيه.

وباللغة الشائعة، يستخدم تعبير "مفعول الدفيئة" للإشارة إما إلى: 1- مفعول الدفيئة الطبيعي natural greenhouse effect، وهو مفعول الدفيئة الذي يحصل بشكل طبيعي على الأرض، أو 2- الاحترار العالمي global warming الذي يحصل بسبب الغازات المنبعثة كنتيجة للنشاطات البشرية (أو ما يسمى مفعول الدفيئة المعزّز). والملاحظ أنه ما من أحد يناقش المفعول الأول، في حين أن بعض العلميين يجادل في ظاهرة المفعول الثاني، بالرغم من كون غالبية العلميين تؤمن بالآثر الملحوظ للمفعول الثاني.

## احترار الأرض عبر التاريخ

## أ- الاحترار العالمي ما قبل التاريخ البشري:

جرت على كوكب الأرض فيما سبق عدة وقائع عالمية طبيعية من الاحترار والتبرّد، ويمكن لهذه الوقائع السابقة أن تقدم إضاءات مفيدة جداً على ما يحدث حالياً. فمثلاً، فكر بعض الجيولوجيين أن تراكمًا سريعًا لغازات الدفيئة قد دفع الأرض لإحداث احترار عالمي في بداية حقبة الجوراسي، وقد تمثل هذا الاحترار في ارتفاع وسطي لدرجة الحرارة بلغ 5 درجات مئوية. هذا وقد أشارت الأبحاث الجيولوجية إلى أن ذلك الاحترار سبب زيادة في معدل تجوية الصخور بمقدار 400%. ولكون هذه التجوية تؤدي إلى تثبيت الكربون على هيئة كربونات الكالسيوم المتبلرة والدولوميت، فقد تطلبت عودة تركيز ثاني أكسيد الكربون إلى مستواه الطبيعي 150000 سنة لاحقة.

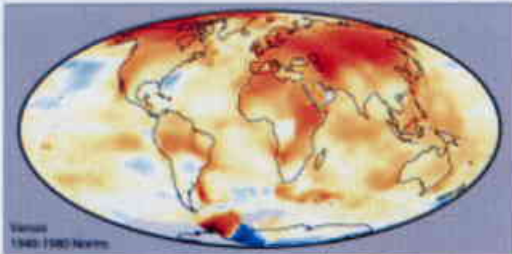
ويجدر بالذكر أن مصطلح مفعول غازات الدفيئة greenhouse gases effect قد استخدم أيضاً لشرح كيفية خروج الأرض من مرحلة الأرض ذات الكرة الثلجية قبل 600 مليون سنة سابقاً. فخلال تلك الفترة كانت جميع الصخور السيليسية مغطاة بالجليد، الأمر الذي منعها من ضم ثاني أكسيد الكربون الجوي. فازداد تركيز ثاني أكسيد الكربون الجوي تدريجياً حتى وصل إلى 350 ضعف التراكيز الحالية. وعند هذه النقطة ارتفعت درجة الحرارة بشكل كافٍ لصهر الجليد، رغم أن سطح الجليد قد قام بدور عاكس لغالبية الإشعاع الشمسي إلى الفضاء الخارجي. هذا وإن ازدياد الهطل المطري قام أيضاً وبشكل سريع بغسل ثاني أكسيد الكربون من الجو، وتشكيل طبقات سميقة من الكربونات اللاعضوية على سطح الصخور الجليدية في تلك الفترة.

## ب- الاحترار العالمي المعاصر:

وفي وقتنا المعاصر ازدادت درجات الحرارة العالمية في الفترة ما بين 1860-1900 بمقدار 0.75 درجة مئوية وذلك في كل من اليابسة والبحر. ومنذ العام 1979 ازدادت درجات حرارة اليابسة بنحو ضعف ازدياد درجات حرارة المحيطات (0.25 درجة مئوية لكل عشر سنوات على اليابسة مقابل 0.13 درجة مئوية لكل عشر سنوات في المحيط). كما ازدادت منذ العام 1979 درجات حرارة الغلاف الجوي السفلي (التروبوسفير troposphere) بمقدار يتراوح ما بين 0.12 و 0.22 درجة مئوية في كل عشر سنوات وفقاً لقياسات درجة الحرارة المأخوذة بالأقمار الصناعية. أما طيلة السنوات الألف أو الألفين التي سبقت العام 1850 فإنه من المعتقد بأن درجة الحرارة العالمية كانت مستقرة نسبياً مع تقلبات إقليمية محتملة مثل الفترة الحارة في القرون الوسطى أو العصر الجليدي الصغير.

هناك عدد متاح من سجلات درجات الحرارة بدلالة الإطار الزمني. وتُبنى هذه السجلات على مجموعات من البيانات ذات سويات مختلفة من الدقة والمصدقية.

فقد بدأ سجل درجة الحرارة الألي العالمي حوالي العام 1860 تقريباً؛ ويعتقد بأن التلوث الناجم عن مفعول الاحترار في تلك الفترة كان صغيراً وتحت السيطرة. ويوجد منظور أطول أجلاً يتوفر في سجلات مختلفة موثقة للألفيات الحديثة؛ (راجع سجل درجة الحرارة للسنوات الألف الماضية من أجل مناقشة هذه السجلات واختلافاتها). غير أن التغير الحديث



وسطي درجات الحرارة ما بين 1995 و 2004

شذوذ درجة الحرارة (°C)

للمناخ يُعزى بأجلى وضوح إلى الفترة الأخيرة من السنوات الخمسين الماضية، الأمر الذي ييسر الحصول على أكثر البيانات تفصيلاً حول هذا التغير. أما قياسات درجة الحرارة المأخوذة بالأقمار الصناعية للتروبوسفير troposphere فقد بدأت منذ العام 1979.

لقد كان العام 2005 هو العام الأكثر حرارة استناداً إلى تقديرات معهد غودارد ناسا لدراسات الفضاء مُد أُتيحت القياسات الفعّالة الواسعة الانتشار والموثوق بها في السنوات الأخيرة من القرن الثامن عشر. وتزيد هذه التقديرات عن السجل الذي سبق وضعه في العام 1998 ببضعة أجزاء من المئة من الدرجة المئوية. وثمة تقديرات مشابهة تقدمت بها منظمة الأرصاد العالمية ووحدة الأبحاث المناخية البريطانية استنتجت أن سنة 2005 تبقى السنة الثانية الأكثر حرارة بعد 1998.

## ما هو البرهان على الاحترار العالمي؟

تؤكد مراجعة سجلات درجات الحرارة منذ أواخر القرن التاسع عشر أن وسطي درجة الحرارة العالمية قد تزايد حوالي 0.6 درجة مئوية خلال القرن العشرين. وارتفعت سوية البحار ما بين 10 و 20 سم، ويُنظرُ أن ذلك يعود بشكل أساسي إلى تمدد المحيطات المُحتَرَّة. إن غالبية الجليديات في المناطق المعتدلة وعلى امتداد الجزر القطبية في العالم قد تراجعت، وتُظهرُ السجلات أن جليديات المحيطات القطبية قد ترققت بمعدل 40% خلال فصل الصيف في العقود الأخيرة.

رغم ذلك هناك بعض الشذوذات، حيث غدت بعض المناطق القطبية أكثر برودة، وهناك تعارضات ما بين اتجاهات درجات الحرارة السطحية وتلك التي في الغلاف الجوي السفلي (التروبوسفير). ولكن في حاصل الأمر يتفق علماء المناخ أن الأرض قد ازدادت درجات حرارتها حديثاً. وما تزال الأبحاث جارية على قدم وساق لدراسة الأسباب التفصيلية لهذا التبدل الحراري، بيد أن العلميين يُجمعون على أن غازات الدفيئة تشكل السبب الرئيس في الظاهرة الحديثة لتزايد درجة الحرارة. ويشكل هذا الاستنتاج موضوعاً خلافياً، وبخاصة خارج الأوساط العلمية.

## ما أسباب الاحترار العالمي؟

إن إضافة ثنائي أكسيد الكربون ( $CO_2$ ) أو الميثان ( $CH_4$ ) إلى جو الأرض، دون إحداث تغيرات أخرى، سيؤدي إلى رفع درجة حرارة سطح الأرض. أي أن غازات الدفيئة تقود إلى تأثير طبيعي والذي بدوره يمكن توقع انخفاض درجة حرارة سطح الأرض بمقدار 30 درجة مئوية، مما يجعل الأرض غير قابلة للسكنى. لذلك من الخطأ القول بأن هناك جدلاً حول هذه الحقيقة إنما الجدل يدور حول المقدار الصافي لأثر إضافة ثنائي أكسيد الكربون أو الميثان، عند السماح بتراكب عدة عوامل مؤثرة.

ونظراً للعطالة الحرارية للمحيطات ولبطء تجاوب تأثيرات غير مباشرة أخرى، فإن مناخ الأرض الحالي غير متوازن مع التأثير الذي يفرضه تزايد تراكيز غازات الدفيئة. إذ تشير الدراسات المناخية الواعدة إلى أنه، وحتى لو استقرت سويات غازات الدفيئة عند سوياتها الحالية، ستشهد الأرض احتراراً إضافياً قد يتراوح بين 0.5 و 1.0 درجة مئوية.

## ما الذي لا نعرفه عن الاحترار العالمي؟

إننا لا نعرف تماماً ما هي نسبة الاحترار الناجم عن النشاطات البشرية وما هي التأثيرات التي ستترتب على الاحترار. ولكن بالرغم من أن العلاقة الدقيقة بين تراكيز ثنائي أكسيد الكربون والغازات الملوثة الأخرى من جهة وارتفاع درجة الحرارة من جهة أخرى تبقى عرضة للشك باستمرار، إلا أن الاحترار العالمي سيسبب بعض التبدلات التي بدورها ستسرّع احتراراً مستقبلياً، مثل انطلاق كميات كبيرة من غاز الميثان الناجم عن الانصهار الجليدي.

ونذكر بهذه المناسبة وجود عوامل أخرى يمكن أن تخفف من شدة الاحترار، إذ يمكن أن تقوم النباتات بامتصاص كمية أكبر من غاز ثنائي أكسيد الكربون من الجو بسبب سرعة نمائها المتزايد في حالة شروط احترار أكبر، لكن ذلك يبقى في مجال الشك. فالعلميون غير متأكدين من كيفية التوازن المستقبلي المعقد ما بين هذه التأثيرات السلبية والإيجابية.

## غازات الدفيئة في الغلاف الجوي

غازات الدفيئة شفافة إزاء الإشعاعات القصيرة الموجة الواردة من الشمس ولكنها تمتص بعض الأشعة تحت الحمراء الأطول والمنبعثة كإشعاع أسود الهيئة من الأرض مما يجعل عملية تبرّد الأرض أكثر صعوبة. أما المقدار الذي تُسخّن به غازات الدفيئة العالم فإنه يظهر في مكوناتها الاحتراري العالمي.



لقد ازدادت تراكيز غاز ثنائي أكسيد الكربون والميثان في الغلاف الجوي بمقدار 31% و 149% على التسلسل بالقياس لمستوياتهما قبل بداية العصر الصناعي في العام 1750. وهذا أعلى بكثير منه في أي وقت خلال السنوات الـ 650000 الأخيرة، وهي الفترة التي استُخلصت معطيات موثوقة بشأنها من الأعماق الجليدية. كما يُعتقد بأن قيماً مرتفعة من ثنائي أكسيد الكربون تحققت لأول مرة قبل 40 مليون سنة مضت. ونشير إلى أن حوالي ثلاثة أرباع انبعاثات غاز ثنائي أكسيد الكربون إلى الغلاف الجوي خلال الـ 20 سنة الأخيرة ذات منشأ بشري وتعود إلى احتراق الوقود الأحفوري (كالفحم)، أما الربع الأخير فيعود بشكل سائد إلى التغيير في استخدامات اليابسة ولا سيما إزالة الأحراج.

لقد بدأ في العام 1958، أطول قياس مستمر الي لنسب غاز ثنائي أكسيد الكربون في مونا لو Mouna Loa، ومنذ ذلك الحين ازدادت

القيمة المتوسطة السنوية بشكل رتيب بنسبة نحو 21% عن القراءة الأولية التي تساوي 350 جزءاً من مليون جزء حجماً إلى أكثر من 380 جزءاً من مليون جزء حجماً. وبشكل عام تُظهر القياسات الشهرية لغاز ثنائي أكسيد الكربون تذبذبات موسمية صغيرة في الارتفاع السنوي الإجمالي، مع حد أعلى تم بلوغه خلال أواخر الربيع في نصف الكرة الأرضية الشمالي (مع الإشارة إلى أن فصل النمو النباتي في نصف الكرة الأرضية الشمالي يزيل بعضاً من غاز ثنائي أكسيد الكربون من الغلاف الجوي بشكل مؤقت).

أما الميثان الذي هو بمثابة مكوّن أساسي للغاز الطبيعي فإنه يدخل إلى الجو من خلال كل من الإنتاج البيولوجي والتسربات من خطوط أنابيب الغاز الطبيعي وبنى تحتية أخرى. إن بعض المصادر البيولوجية هي مصادر طبيعية، ولكن مصادر أخرى نشأت وازدادت عبر الأنشطة الزراعية مثل حراثة حقول الأرز. وتوحي الأدلة الحديثة بأن الغابات قد تكون مصدراً أيضاً، وإذا كان الأمر كذلك فإنها ستكون إسهاماً إضافياً في مفعول الدفيئة الطبيعي وليس في مفعول الدفيئة البشري anthropogenic greenhouse effect.

يُتوقع أن تستمر مستويات ثنائي أكسيد الكربون المستقبلية في الارتفاع نتيجة لاستعمال الوقود الأحفوري المستمر، بالرغم من كون المسار الفعلي سيعتمد على التنميات الاقتصادية والاجتماعية والتقانية والطبيعية المتقلبة. ويُعطي التقرير الخاص بسيناريوهات الانبعاثات IPCC مدى واسعاً للسيناريوهات المستقبلية لثنائي أكسيد الكربون يتراوح من 451 إلى 970 جزءاً من المليون بحلول العام 2100.

إن تأثيرات التغذية الراجعة الإيجابية مثل الانطلاق المتوقع للميثان من نويان مستنقعات حُتّ التربة تحت الجليدية permafrost peat bogs (الحُتّ: هو نسيج نباتي نصف متفحّم يتكون بتحلل النباتات تحللاً جزئياً في الماء) في سيبيريا والذي يحتمل أن يكون بحدود 70.000 مليون طن قد يفضي إلى مصادر إضافية هامة لانبعاثات غازات الدفيئة.

ومن الملاحظ أن انبعاثات من أصل بشري لمؤثّات أخرى) وبالتحديد الحُلات الهوائية الكبريتية sulfate aerosols) تمارس مفعولاً تبريدياً؛ الأمر الذي يُفسّر ذلك التبريد المُسطح plateau cooling في سجل درجة الحرارة في منتصف القرن العشرين.

### دور بخار الماء:

تتبدل سويات بخار الماء حسب المناطق المختلفة، ولكن بشكل عام لا يفرض الإنسان تغييراً مباشراً في سويات بخار الماء. ويُعدّ بخار الماء غاز دفيئة طبيعياً وله الأثر الأكبر في ظاهرة امتصاص الحرارة ضمن الغلاف الجوي بالقياس إلى جميع غازات الدفيئة، غير أن تبدل تراكيز بخار الماء يظل ضئيلاً ولا يلعب دوراً في الاحترار العالمي الذي سببه الإنسان حديثاً. وتشير الموديلات المناخية إلى أن تزايد درجة حرارة الجو الذي يسببه مفعول الدفيئة الناجم عن الغازات المتولدة عن فعل الإنسان سيقود بالمقابل إلى تزايد كمية بخار الماء في التروبوسفير. وبالمقابل أيضاً سيقود تزايد بخار الماء هذا إلى تزايد في مفعول الدفيئة وبالتالي إلى زيادة في درجة الحرارة ... وهكذا دواليك. كما أن تزايد بخار الماء ربما سيؤثر بشكل غير مباشر في تشكل الغيوم.

وبالرغم من ذلك، فقد أجمعت غالبية العلماء أن الأثر الإجمالي للتغذية الخلفية المباشرة وغير المباشرة الناجمة عن تزايد محتوى الجو من بخار الماء يعزز بشكل ملحوظ الاحترار المبدئي المسبب لتغذية خلفية متزايدة.

## التأثيرات المُتنبأ بها

يؤثر احترار الأرض على العالم بأكمله. والتأثيرات المُتنبأ بها عديدة ومختلفة، سواء في مجال البيئة أم على حياة البشر. إذ تتضمن هذه التأثيرات فَقْد التنوع الحيوي وارتفاع سوية البحار وتزايد القحط والجفاف وانتشار الأمراض واختلاف أنماط الطقس وتزايد الفيضانات وتبدلات في توافر مصادر الشرب وتزايداً في شذوذات الأحوال الجوية ونقصاً في طبقة الأوزون. ورغم صعوبة الإقرار بحتمية قيام ظاهرة طبيعية نوعيّة لاحتِراسٍ عالمي طويل المدى، فقد بدأنا نشهد هذه التأثيرات في بعض الحالات، وبخاصة موضوع الأعاصير الذي يشهد نقاشاً مكثفاً.

إن مدى هذه الاستنتاجات وأرجحيتها ما يزالان ضمن دائرة جدل واسع. فبعض العلميين يعتقد أن الاحترار العالمي هو بالفعل سبب رئيسي للموت والمرض عبر العالم خلال الفيضانات والدمار البيئي وأمواج الحر وحوادث المناخ المفرطة. ونورد فيما يلي عناصر مهمة في تداعيات الاحترار العالمي:

**أولاً:** ففي مجال المنظومة الحيوية يبرز من التداعيات انخفاض في رقعة الأرض المغطاة بالتلوج وارتفاع في سوية البحار وتبدلات في المناخ، وهي نماذج عن نتائج الاحترار العالمي التي يمكن أن تؤثر ليس فقط على النشاط البشري وإنما على تركيبة المنظومة البيولوجية بكاملها. إذ يحمل ارتفاع درجة الحرارة في طياته إمكانية هجر بعض أجناس الكائنات الحية مناطق وجودها بسبب تبدل الشروط البيئية من حولها، في حين أن بعضها الآخر يمكن أن يزداد انتشاراً، مما يؤدي إلى تبدل جذري في المنظومة البيولوجية على كوكب الأرض. كما لا يخفى أن انخفاض درجة حموضة المحيط ستكون نتيجة لزيادة تراكيز ثنائي أكسيد الكربون، الأمر الذي سيترافق مع تغير درجة حرارة المحيطات وأعماقها مما سينعكس سلباً على الشعاب المرجانية.



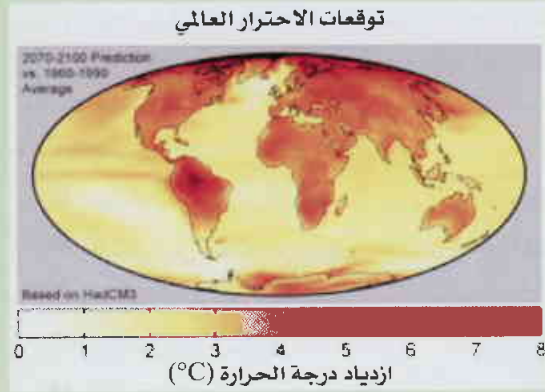
**ثانياً:** وفي مجال الجليديات، يقود الاحترار العالمي إلى توازن سلبي في الكتل الجليدية مسبباً تراجعها على المستوى العالمي. فمنذ العام 1980 تراجعت الكتل الجليدية العالمية بشكل ملحوظ، وتخضع اليوم بعض الجليديات لحالة عدم استقرار قد يؤدي إلى تدهور إجمالي في المناخ الحالي. هذا ونذكر من الحالات الحرجة إمكانية التبدل الكبير في معدل انصهار جليديات جبال الهملايا والمرتفعات الهندية الشاهقة التي يشكل ذوبانها مصدراً مهماً وموثوقاً لمياه الصين والهند وجزءاً كبيراً من آسيا، ولا سيما في الفصل الجاف. غير أن تزايد معدل الذوبان هذا سيسبب تدفقاً متسارعاً لعدة عقود وسيعقبه شح ملموس في بيئة من أكثر مناطق العالم كثافة سكانية.

**ثالثاً:** وفي مجال التيارات البحرية تبرز تخمينات بأن الاحترار العالمي قد يسبب عبر تباطؤ التيارات البحرية أو توقفها فرض تجمدات موضعية في القطب الشمالي تقود إلى برودة أكبر أو تسخين أقل في تلك المناطق. وهذا ما سيؤثر بشكل خاص على المناطق الاسكندنافية والبريطانية التي تكتسب سخونتها بفضل التيارات الحرارية الناشئة في القطب الشمالي.

**رابعاً:** وثمة تداع مهم آخر محتمل، ويتمثل في أن ارتفاعاً بسيطاً في سوية المحيطات سيسبب غمر سهول ساحلية مكتظة بشرياً مما يجعلها غير قابلة للسكنى، الأمر الذي سيفضي إلى مشكلة هجرة كبيرة. وإذا ما ارتفعت سوية البحار بمقدار 4 أمتار فستتأثر جميع مدن العالم الساحلية، وسترافق ذلك تأثيرات كبيرة على التجارة والاقتصاد العالميين. وفي الوقت الحاضر، توقعت إحدى المؤسسات البحثية حدوث ارتفاع لا يتجاوز المتر في سوية البحار وذلك حتى العام 2100، وحذرت من أن الاحترار العالمي خلال هذه الفترة قد يقود إلى تبدلات غير عكوسة في المنظومة الجليدية للأرض وبالنتيجة ستدوب كمية من الجليد تكفي لرفع سوية البحار عدة أمتار خلال الألفية اللاحقة. ويتوقع أن يتضرر حوالي 200 مليون إنسان من هذه التبدلات، وبخاصة في فييتنام وبنغلادش والصين والهند وتايلاند والفلبين وأندونيسيا ومصر.



**خامساً:** وأما في الشأن الصحي فمن الممكن أن يوسع الاحترار العالمي رقعة نقل الأمراض المعدية كالمالاريا. فالبيئة الحارة ترفع معدل تكاثر البعوض وزيادة حجم ما يتناوله من دماء البشر، الأمر الذي يزيد أمد فصل التناسل ويقصر فترة نضج الميكروبات التي ينشرها البعوض. وقد لوحظ انتشار مرض ازرقاق اللسان في مناطق المجترات المترافق مع عضات الحلم (رتبة من صنف العناكب تضم القراد والسوس) في شمال منطقة المتوسط. وهناك أمثلة عديدة على أمراض جديدة في العالم يُعزى انتشارها إلى زيادة ارتفاع درجة الحرارة.



**سادساً:** وأما من الناحية الاقتصادية فقد حذرت دراسات بعض المعاهد العالمية العاملة في المجال الاقتصادي من أن ازدياد تواتر الكوارث المناخية العالمية المرافقة لنزاعات اجتماعية يمكن أن يترك أثراً سلبية تقدر بـ 150 مليار دولار أمريكي سنوياً خلال العقد القادم.

ووفقاً لتقديرات مؤسسة التأمينات البريطانية فإن تقييد انطلاق غاز ثنائي أكسيد الكربون يمكن أن يجنب العالم 80% من تكلفة تأثيرات الأعاصير

الاستوائية في ثمانينيات القرن الحالي. وقد أعلن برنامج الأمم المتحدة البيئي حديثاً أن الطقس السيئ الذي يحيط بالعالم جعل من العام 2005 الأكثر تكلفة، كما قدرت مؤسسة التأمينات الاجتماعية الألمانية خسائرها الأولية بأكثر من 200 بليون دولار أمريكي.

**سابعاً:** وأما فيما يخص إنتاجية الكتلة الحيوية، فإنه من المعروف أن الإنتاجية النباتية تتأثر بثلاثة عناصر رئيسة تتمثل في المياه والمواد المغذية وثنائي أكسيد الكربون، مع العلم بأن جزءاً من هذه الكتلة يستخدم كمصدر للطاقة تستفيد منه كافة استخدامات أشكال الحياة بما في ذلك أعلاف الحيوانات الأهلية والفواكه والحبوب لصالح الاستهلاك البشري وللإستخدامات العمرانية أيضاً.

إن ازدياد تركيز ثنائي أكسيد الكربون الجوي يمكن أن يزيد في فعالية استقلال أغلب النباتات، مما يسمح بزيادة إنتاج الكتلة الحيوية النباتية. وإن ارتفاع درجة الحرارة يمكنه أيضاً أن يزيد إنتاج الكتلة الحيوية النباتية. ومع ذلك، لا يتضح ما إذا كانت النباتات التي تستفيد من الاحترار العالمي تشكل سيناريو حقيقياً. فممو النباتات مشروط بعوامل أخرى مثل خصوبة التربة والماء ودرجة الحرارة وتركيز ثنائي أكسيد الكربون.

ثم إن هناك عدة تأثيرات سلبية، إذ يقود ارتفاع درجة الحرارة عن حد معين إلى انخفاض في إنتاج الكتلة الحيوية النباتية، كما أن التبدلات السريعة في درجات الحرارة تخفض إمكانية إنتاج القمح على سبيل المثال. فقد أظهرت التجارب أن إنتاج الحبوب والأعلاف ينخفض إذا ما تزايد تركيز ثنائي أكسيد الكربون ودرجة الحرارة عن حد معين.

**ثامناً:** وبعد ما تقدم نستعرض بعض المؤثرات الأخرى مثل دور نضوب الأوزون والعتمة العالمية. فبالرغم من الربط المستمر في وسائل الإعلام بين الاحترار العالمي ونضوب الأوزون، تبقى العلاقة بينهما غير قوية. ونشير بهذه المناسبة إلى أربعة مجالات للربط:

1- من المتوقع أن يؤدي الاحترار العالمي الناجم عن الزيادة في تركيز ثنائي أكسيد الكربون إلى تبريد الغلاف الجوي العلوي (strato-sphere) (قد يكون ذلك مفاجئاً). وهذا، بالمقابل، سيؤدي إلى زيادة نسبية في نضوب الأوزون وإلى تكرار في تشكل ثقب أوزونية.

2- وبشكل معاكس، يهبط نضوب الأوزون إلى فرض إشعاعي على النظام المناخي. ذلك أن هناك تأثيرين متضادين. فمنطقة الثقب الأوزوني تسمح بمرور إشعاع شمسي مكثف، وهذا ما يؤدي إلى تسخين الغلاف الجوي العلوي ستراتوسفير. في حين أن الغلاف الجوي السفلي تروبوسفير الأبرد يصدر إشعاعاً ذا أطوال موجية أقصر، مما يفضي إلى تبريد الغلاف الجوي العلوي. وبالمحصلة، يتغلب التبريد بنتيجة هذين الفعلين المتعاكسين، أي أن فعل التبريد يكافئ حسابياً ما قيمته  $-0.15 \pm 0.10 \text{ W/m}^2$ .

3- إن أحد التوقعات القوية لنظرية تأثير غازات الدفيئة هي أن الغلاف الجوي السفلي سيتبرد. مع ذلك، وبالرغم من ملاحظة هذه الظاهرة بالفعل، يبدو أنه من الصعب استخدام هذا التوقع كمبرر لتبدلات المناخ الحديثة لأن مثل هذا التبريد يسببه نضوب الأوزون.

4- إن المواد الكيميائية المستهلكة للأوزون هي أيضاً غازات دفيئة، وهي تمثل  $0.34 \pm 0.03 \text{ W/m}^2$ ، أو حوالي 14% من الفرض الإشعاعي الكلي لخليط غازات الدفيئة.

أما فيما يخص العتمة العالمية (global dimming) (بمعنى انخفاض سوية الإشعاع الشمسي الواصل إلى سطح الأرض)، فإن بعض العلميين الآن يعزونها إلى الحلالات الهوائية aerosols التي تضيف إلى مفعولها على طبقة الأوزون تأثيراً على الاحترار العالمي. فإذا كان الأمر كذلك، يكون الأثر غير المباشر للحلالات الهوائية أعلى مما كان يعتقد، الأمر الذي يعني ضمناً أن الحساسية المناخية لغازات الدفيئة تزداد قيمة.

## الخاتمة

وبعد كل ما تقدم دعونا نلخص الاستجابات والحلول. بالرغم من حقيقة الاحترار العالمي، ما زال البعض يجادل بأن توقعات التأثيرات البعيدة والقصيرة الأجل مبالغ فيها. ولقد قاد احتمال تزايد الاحترار العالمي بعض المعنيين إلى عرض طروحات تهدف إلى التخفيف من هذا الاحترار. ويشمل ذلك التخفيف جميع الإجراءات التي تُخفّض الآثار السلبية للاحتترار العالمي. ونشير في هذا الصدد إلى خمسة أنماط من الاجراءات التي يمكن أن تخفف من الاحترار العالمي:



- ① تخفيض استخدام الطاقة مما يؤدي إلى صونها.
- ② الانتقال من استخدام الوقود الأحفوري إلى استخدام مصادر الطاقة البديلة.
- ③ اصطياد الكربون وتخزينه.
- ④ عزل الكربون ومصادرته.
- ⑤ هندسة كونية تسعى لتبريد الأرض.

تتضمن استراتيجيات تخفيض الاحترار العالمي تطوير تقانات جديدة، كطاقة الرياح والطاقة النووية والطاقة الشمسية والطاقات المتجددة والوقود الحيوي والمحركات الكهربائية وخلايا الوقود وصيانة الطاقة والضرائب على الكربون وتفعيل مدافن لثنائي أكسيد الكربون الطبيعي ورقابة شعبية لاصطياد وتخزين الكربون.

ويهذه المناسبة تعد معاهدة كيوتو أول اتفاق دولي على المستوى العالمي فيما يخص معركة التبدل البيئي. وقد تعهدت الدول التي التزمت بهذه المعاهدة بأن تخفض إصداراتها من ثنائي أكسيد الكربون بالإضافة إلى خمسة غازات دفيئة أخرى، أو إخضاع إصداراتها هذه لتقاسمات تجارية بين الدول.



وبالرغم من كفاية توافق الإجماع العلمي والحوافز الاقتصادية لإقناع حكومات أكثر من 150 بلداً لتصديق معاهدة كيوتو (ومما يجدر ذكره هنا تمنع الولايات المتحدة وأستراليا عن المصادقة)، إلا أن النقاش ما زال قائماً حول كمية إصدارات غازات الدفيئة المسخنة للأرض. وتجب الإشارة أيضاً إلى أن البلدين الأكثر كثافة سكانية في العالم (وهما الهند والصين) قد أعفيتا من التزامات المعاهدة.

وأما بالنسبة لحلول مشكلة الاحترار العالمي التي يمكنها حماية سلامة البيئة من أجل الأجيال القادمة فإنها تبدو ممكنة تماماً. إذ إن تخفيض معدل انطلاق غاز ثنائي أكسيد الكربون من خلال زيادة كفاءة استخدام التقانات ومصادر الطاقات البديلة مثل الرياح والطاقة الشمسية يعد خطوات أساسية فيما يتعلق بالجهود الهادفة إلى تبطئ عملية الاحترار العالمي.

وإن الخيارات الطاقية المعتمدة في أي مكان من العالم تؤثر بشكل مثير في عالم الحيوان والإنسان وعلى الهواء والتربة والمياه حول العالم لسنوات قادمة.

ولا يخفى أن لكل من مستويات المجتمع المختلفة دوراً يلعبه في مجال الدفع بحلول لمساءلة الاحترار العالمي، ويستطيع كل فرد في هذا العالم أن يسهم بجزءٍ من الحل.



is observed in the following phase due to the effect of closed hydrodynamic loop, which can not be modelled with the code PARET.

**Key Words:** PARET code, MNSR reactor, natural convection, dynamic behaviour, reactivity feedback effect.

---

## CALCULATION OF THE FAST NEUTRON FLUX SPECTRUM IN THE MNSR INNER IRRADIATION SITE USING THE WIMSD4 CODE.

K. KHATTAB

*Department of Nuclear Engineering, Atomic Energy Commission, P. O. Box 6091, Damascus, Syria*

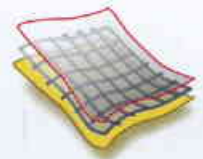
The Miniature Neutron Source Reactor (MNSR) in Syria has five inner irradiation sites in the annulus Beryllium reflectors to analyze the unknown samples using the Neutron Activation Analysis technique and to produce medium and short half life isotopes. The fast neutron flux spectrum has a special importance in the MNSR reactor physics where this spectrum is used to measure the fast neutron flux in the MNSR inner irradiation sites. Hence,

calculation of the fast neutron flux spectrum in the MNSR inner irradiation site is conducted in this work using the WIMSD4 code. The energy range is divided in the WIMSD4 to 69 energy groups. The first six energy groups represent the fast neutron ranging from 0.5 to 10 MeV. To calculate the fast neutron flux spectrum in the MNSR inner irradiation site using the WIMSD4 code, the MNSR is modeled as a super unit cell. This cell consists of three regions which are: the homogenized core, annulus Beryllium and water.

The fast neutron spectrum is calculated also using the  $U^{235}$  fission neutron spectrum approximation. The  $U^{235}$  fission neutron spectrum agrees very good with the WIMSD4 results when neutron energy exceeds 1 MeV, but it fails when the neutron energy ranges from 0.5 to 1 MeV.

The WIMSD4 code is used as well to calculate the microscopic fission cross sections for the  $U^{238}$  using six energy groups where a unit cell of  $U^{238}$  is used since the  $U^{238}$  is usually used to measure the fast neutron flux in the reactor. The macroscopic fission cross sections for the  $U^{238}$  are calculated first then the microscopic fission cross sections are calculated knowing the  $U^{238}$  atomic density.

**Key Words:** MNSR, fast flux spectrum, inner irradiation site.



S. AL-KHAWAJA

*Department of Physics, Atomic Energy Commission,  
P. O. Box 6091, Damascus, Syria*

A singly connected superconducting weak link junction (a Josephson junction of the point contact type) of a finite capacitance  $C$  has been considered. Setting off from Laplace equation  $\nabla^2 U = 0$  we derive the analytical expressions for this capacitance, for which we demonstrate that it can be extremely small and the exact estimate of its value ( $\approx 10^{-14}$  Farad) depends crucially on the geometry and parameters of the point contact junction. We suggest that the lowest obtained value ( $\approx 10^{-14}$  Farad) of this capacitance contributes significantly to the full quantum mechanical operation of superconducting circuits.

**Key Words:** Josephson junction, superconducting capacitor, nanoscale junctions, full quantum model.

## SIMULATION OF NATURAL CONVECTION COOLING PHENOMENA FOR RESEARCH REACTORS USING THE CODE PARET

A. HAINOUN, F. ALHABIT

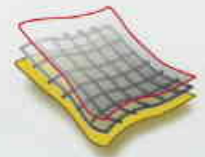
*Department of Nuclear Engineering, Reactor Safety  
Division, Atomic Energy Commission, P. O. Box 6091,  
Damascus, Syria*

This study deals with testing the capability of the code PARET to simulate natural convection cooling phenomena under

different boundary conditions. In addition to applying and testing some new options related to simulation of the control rod movement and studying the reactivity effect of thermal expansion fuel elements.

The experiments of the simple thermal hydraulic loop of Missouri university about natural cooling phenomena in two narrow parallel channels were used to validate the code. The study indicate good results regarding the distribution of coolant flux velocity and clad temperature. In particular the heat transfer coefficient of natural convection has been calculated in good agreement with the experiment. On the other hand, the core of MNSR reactor has been modelled to simulate the reactor dynamic behaviour under natural convection cooling conditions for different initial power level. The observed oscillation during the initial phase vanishes gradually with passing time. In this context, three experiments of step reactivity insertion were calculated using the option of natural convection cooling along with testing two methods to simulate the boundary conditions of calculation, either using initial velocity or pressure drop along the core. The results indicate good agreement with the experiments regarding the evolution of relative power. The validations included also sensitivity analysis against some important parameters like initial velocity and radial distance of fuel rod.

The new option for simulation of control rod movement was also tested. For this purpose the MNSR experiment of full control rod withdraw was selected. The mean control rod velocity was estimated using experimental measurement. The simulation result of relative power evolution shows good agreement with the experiment during the first phase of the transient. However, an increased deviation



J. SHLEIWIT

*Department of Scientific Services, Atomic Energy  
Commission, P. O. Box 6091, Damascus, Syria*

E. U. SACHAROWITZ

*IAEA*

**T**wo triple-phase discrete power supplies were constructed and operated with frequency about 150 kHz, maximum output voltage of 3 kV output power for each of them. These units were built to supply two fast axial flow CO<sub>2</sub> laser tubes with power under moderate pressure of CO<sub>2</sub>:N<sub>2</sub>:He mixture. This laser is consisted of two ceramic tubes which were optically connected in series to get a maximum output power of laser about 500W. the unit test was carried out using a virtual Ohmic and capacitive load of 3kΩ and 300pF.

**Key Words:** CO<sub>2</sub> laser, fast flow, discrete power.

## SPECTRAL SIMULATION METHOD FOR ISOTOPE SELECTIVE EXCITATION

O. ALHASSANIEH

*Department of Chemistry, Atomic Energy Commission,  
P. O. Box 6091, Damascus, Syria*

M. ESKEF

*Department of Physics, Atomic Energy Commission,  
P. O. Box 6091, Damascus, Syria*

**A** computer program for calculation of isotopic selectivity in laser induced atomic transitions was developed. The calculation is based on the spectral simulation method. The isotopic spectra are generated using the appropriate selection rules and taking the isotope ratios, isotope shifts, line broadening as well as the hyperfine splitting into account. The

spectra are used to calculate the interaction of a laser pulse, defined by its wave length, spectral shape and width, with the atoms. The isotope selective excitation of lanthanum, lithium and ytterbium isotopes was calculated.

**Key Words:** spectral simulation, isotope selective excitation, Lanthanum, Lithium, Ytterbium

## INTERFACING HYDMN CODE WITH CITATION AND WIMSD4 CODES

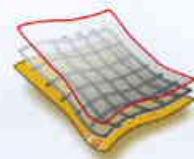
M. ALBARHOUM

*Department of Nuclear Engineering, Atomic Energy  
Commission, P. O. Box 6091, Damascus, Syria*

**H**YDMN has been interfaced with both the 3-D code CITATION and the cell code WIMSD4 through the generation of a new input file for WIMSD4 every time the the code is run and the connection between HYDMN and WIMSD4 is selected. In this way CITATION can be run with the fuel data contained in REAC.INP ( the input file for HYDMN), and the distributions of power density are generated and used in HYDMN to evaluate both the hot channel and the hot spot.

**Key Words:** citation, WIMSD4, hydman, interfacing, code

## DERIVATION OF THE ELECTROSTATIC CAPACITANCE FOR A SUPERCONDUCTING CAPACITOR "SUPERCAPACITOR"



## EFFECT OF IONIZING AND NON IONIZING RADIATION ON PROTOZOAN AND PARASITES OVA CAUSING GASTROENTERITIS PRESENTS IN SEWAGE SLUDGE WASTES

N. SHARABI, M. SHAMMA, M. A. AL-ADAWI

*Department of Biotechnology and Molecular Biology, Radiation Technology, Atomic Energy Commission, P. O. Box 6091, Damascus, Syria*

**H**elminthes eggs viability was determined by aid of methods and techniques which depend on the morphological parameters, studying the motility incubation and applying the vital staining. The protozoa viability was studied by using many vital staining, but applying culture techniques on specific composed media did not gave any results. The disinfection results showed that for *Ascaris* eggs, protozoa and amoeba oocyst irradiated by 6 kGy of gamma ( $\text{CO}^{60}$ ) is sufficient to kill all types of such parasites. On the contrary, conflict the UV radiation was able to motivate the division of the *Ascaris* eggs embryonations. Also, the viability of the *Giardia* and *Entamoeba* oocyst were not affected. In the light of the current experiments, it is possible to conclude that using the UV technique instead of the ionizing radiation for killing the helminthes eggs and protozoa is not useable.

**Key Words:** parasites, protozoan ova, ionizing radiation, ultraviolet radiation, viability.

## THE USE OF SYRIAN BENTONITE TO REMOVE ORGANICS AND OTHER IONS FROM SYRIAN COMMERCIAL PHOSPHORIC ACID

S. KHORFAN, M. ABDULBAKI, A. ZEIN

*Hydrometallurgy office, Atomic Energy Commission, P. O. Box 6091, Damascus, Syria*

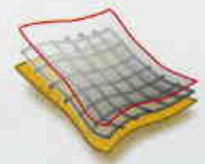
**U**sing activated carbon to remove organic matter from Phosphoric Acid in uranium and  $\text{P}_2\text{O}_5$  extraction units is of high cost. A new study was conducted to establish a new material instead of activated carbon. Experiments were carried out on removing organic matter by adsorption on Syrian bentonite. The experiments of the removal of humic acid by Syrian bentonite gave good results and showed that the chemical and thermal activation of bentonite increased the adsorption efficiency.

**Key Words:** adsorption , phosphoric acid , Syrian bentonite.

## DESIGN AND CONSTRUCTION OF AC POWER SUPPLY OF FREQUENCY 150 kHz AND POWER ABOUT 3 kW

SH. AL-HAWAT

*Department of Physics, Atomic Energy Commission, P. O. Box 6091, Damascus, Syria*



the 2 years of the trials, were healthier and more vigorous than the insecticide and control treatments. These results provide comparative data on the effectiveness of kaolin particle film and support the potential of using this technology as an alternative pest management tool against pistachio-psyllid.

**Key Words:** *Agonosceba tragionii*, kaolin particle film, insecticide, pistachio, management.

## REPORTS

### THERMAL ANALYSIS BEHAVIOR OF PET GRAFTED BY ACRYLIC ACID

M. KATTAN , E. AL-NESR

*Department of Radiation Technology, Polymer  
Technology Division, Atomic Energy Commission, P. O.  
Box 6091, Damascus, Syria*

In this research, acrylic acid monomer was graft copolymerized onto PET films using gamma radiation technique. Effects of different parameters such as monomer concentration, radiation dose and inhibitor effect on the graft yield were investigated. It was found that the graft yield depends on these parameters and its maximum value can be obtained at 1.5% of the inhibitor concentration and 40% of monomer concentration. The grafting films obtained were characterized by using water swelling measurements, ion uptake and thermal analysis by using differential scanning calorimetry. The results show decreasing in  $\Delta C_p$  value and  $T_g$  with increasing the graft yield. The crystallinity ratio

and temperature of crystallization and melting were affected by the grafting. Its probably due to the atactic configurations occur by grafting process.

**Key Words:** Poly (ethylene terephthalate), gamma radiation, grafting, acrylic acid, glass transition, crystallization.

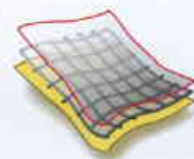
### THE EFFECTS OF ADDITIVES ON THE MICROSTRUCTURE AND SINTRABILITY OF MOLYBDENUM OXIDE - STUDY OF THE RELATED SOLID SOLUTIONS

M. KASSEM

*Department of Chemistry, Atomic Energy Commission,  
P. O. Box 6091, Damascus, Syria*

This study focuses on the phase transformation induced during mixing a fixed quantity of  $MoO_3$  with various concentration of  $V_2O_5$ ,  $Nb_2O_5$ ,  $Al_2O_3$  and pure Aluminum. These concentrations are 2, 3, 4, 5, 10, 20, 40 and 50%. Employing several Physical techniques such as X-ray powder Diffraction, FTIR and DTA, different solid solution were identified. Also the compressibility and sintering of these solid solutions have been studied via the variation of the density of pellets prepared from these solid solutions .

**Key Words:** molybdenum oxide, phase transition, X-ray powder, FTIR , DTA.



## PAPERS

### NUTRITIVE VALUE OF SOME AGRICULTURAL WASTES AS AFFECTED BY RELATIVELY LOW GAMMA IRRADIATION LEVELS AND CHEMICAL TREATMENTS

M.R. AL-MASRI

*Department of Agriculture, Atomic Energy Commission,  
P. O. Box 6091, Damascus, Syria*

**A**n experiment was carried out to study the changes in the values of in-vitro organic matter digestibility (IVOMD) and metabolizable energy (ME) of wheat straw, sunflower seed shell, olive cake wood, date palm seeds and peanut shell after irradiation by various levels of gamma radiation (0, 20, 40, 60 kGy) or after spraying with different amounts of hydrobromic acid (HBr; 47%) and sodium hydroxide (NaOH): 0, 3, 6 ml HBr and 3, 6 g NaOH in 25 ml water/100 g DM. The results indicated that chemical treatments increased the IVOMD and ME values significantly for all samples treated except the date palm seeds. There was no significant effect of irradiation on IVOMD and ME. Combined treatments of irradiation and HBr or NaOH were also found to be ineffective in increasing the IVOMD and ME values.

**Key Words:** waste; nutritive value; chemical; irradiation.

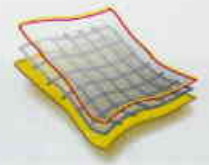
### EFFICACY OF KAOLIN PARTICLE FILM AND SECETED SYNTHETIC INSECTICIDES AGAINST PISTACHIO PSYLLID *AGONOSCENA TARGIONII* (HOMOPTERA: PSYLLIDAE INFESTATION)

G. SAOUR

*Department of Biotechnology, Atomic Energy Commission, P. O. Box 6091, Damascus, Syria*

**F**ield experiment were conducted in 2002 and 2003 on pistachio (*Pistacia vera* L., Anacardiaceae) in northwest Syria to assess the effectiveness of Kaolin-based particle film, teflubenzuron, alpha-cypermethrin, and thiacloprid against pistachio psyllid *Agonoscena targionii* (Lichtenstein). The effects of particle film and insecticides on early and mid-season infestations of immatures were evaluated. Significantly fewer adults and nymphs were found on particle-film-treated trees compared with the untreated control. However, teflubenzuron and thiacloprid applied at 30-day intervals provided adequate control of pistachio psyllid damage when they were sprayed early in the season. Application of particle film in mid-season, when pistachio psyllid pressure was high, effectively suppressed psyllid nymph damage while the teflubenzuron and alpha-cypermethrin insecticides decreased nymph density, but failed to maintain populations at low levels. No phytotoxic effects on pistachio due to particle film application were observed. In contrast, kaolin-sprayed trees, throughout





## ARTICLES

### HURRICANE FORCE

R. SMITH

*Department of Physics, University of Munich,  
Germany*

Understanding the physics of hurricanes can help scientists make better forecasts of these devastating phenomena and determine whether the recent increase in the number of intense storms is linked to global warming, as Roger Smith explains.

**Key Words:** hurricane, global warming, meteorology, typhoons, cyclones.

### BREAST CANCER: ILLUSIONS OF INVESTIGATION

S. COISNE, F. LEMARCHAND

*Sont Journalistes, Scientifiques*

The organized investigation of breast cancer in women between 50-74 years is the pillar of cancer combating plan. It includes offering them a mammography every two years with hope that this large-scale investigation will permit reducing the mortality of breast cancer about 25-30%. Several epidemic explorations showed that this forecast is wrong. Despite the increasing investigation in France, the mortality of breast cancer have decreased a little since twenty years. On the other hand, two experts call attention to the disadvantages of this plan. Hence, we point out that this investigation leads to detecting and treating mammary tumors that are not dangerous to the patient women.

The problem will also face investigation in prostate cancer.

**Key Words:** breast cancer, mammography, epidemic explorations, mammary tumors.

### MOBILIZING MAGNETIC RESONANCE

B. GOODSON

*Department of Chemistry and Biochemistry, Southern  
Illinois University, Carbondale, US*

Nuclear magnetic resonance traditionally requires large magnets that make the technology immobile and expensive. Boyd Goodson describes how efforts are being made to develop portable devices that will extend the reach of this powerful imaging technique.

**Key Words:** magnetic resonance spectroscopy, nuclear magnetic resonance, squids, optical magnetometry, instrumental geometries.

### GRAVITY'S DARK SIDE

M. CHALMERS

*Features Editor of Physics World*

Despite decades of searching, the "dark matter" thought to hold galaxies together are still nowhere to be found. Matthew Chalmers describes how some physicists think it makes more sense to change our theory of gravity instead.

**Key Words:** gravity, dark matter, phion field, modified Newtonian dynamics theory (MOND), tensor vector scalar theory (TeVeS), scalar tensor vector gravity (STVG).

## NEWS



- 31 ▶ WHEN IS A METAL NOT A METAL?
- 33 ▶ AVIAN FLU AND THE NEW WORLD
- 35 ▶ ECONOMISTS CLAIM CARBON CUTS WON'T BREAK THE WORLD'S BANK
- 37 ▶ ANTIBIOTIC FACES UNCERTAIN FUTURE
- 39 ▶ NANO-ETCHERS MAKE THEIR MARK
- 40 ▶ QUANTUM STRIPE SEARCH
- 43 ▶ THE DIFFRACTION BARRIER BROKEN
- 45 ▶ NICKEL



## PAPERS

- 49 NUTRITIVE VALUE OF SOME AGRICULTURAL WASTES AS AFFECTED BY RELATIVELY LOW GAMMA IRRADIATION LEVELS AND CHEMICAL TREATMENTS
- 56 EFFICACY OF KAOLIN PARTICLE FILM AND SELCTED SYNTHETIC INSECTICIDES AGAINST PISTACHIO PSYLLID AGONOSCENA TARGIONII (HOMOPTERA: PSYLLIDAE INFESTATION)

## REPORTS

- 61 ▶ THERMAL ANALYSIS BEHAVIOR OF PET GRAFTED BY ACRYLIC ACID

- 61 ▶ THE EFFECTS OF ADDITIVES ON THE MICROSTRUCTURE AND SINTRABILITY OF MOLYBDENUM OXIDE – STUDY OF THE RELATED SOLID SOLUTIONS
- 62 ▶ EFFECT OF IONIZING AND NON IONIZING RADIATION ON PROTOZOAN AND PARASITES OVA CAUSING GASTROENTERITIS PRESENTS IN SEWAGE SLUDGE WASTES
- 62 ▶ THE USE OF SYRIAN BENTONITE TO REMOVE ORGANICS AND OTHER IONS FROM SYRIAN COMMERCIAL PHOSPHORIC ACID
- 63 ▶ DESIGN AND CONSTRUCTION OF AC POWER SUPPLY OF FREQUENCY 150 KHZ AND POWER ABOUT 3 KW
- 63 ▶ SPECTRAL SIMULATION METHOD FOR ISOTOPE SELECTIVE EXCITATION
- 64 ▶ INTERFACING HYDMN CODE WITH CITATION AND WIMSD4 CODES
- 64 ▶ DERIVATION OF THE ELECTROSTATIC CAPACITANCE FOR A SUPERCONDUCTING CAPACITOR “SUPERCAPACITOR”
- 65 ▶ SIMULATION OF NATURAL CONVECTION COOLING PHENOMENA FOR RESEARCH REACTORS USING THE CODE PARET
- 66 ▶ CALCULATION OF THE FAST NEUTRON FLUX SPECTRUM IN THE MNSR INNER IRRADIATION SITE USING THE WIMSD4 CODE

## SCIENTIFIC HIGHLIGHT ON AN EVENT

- 68 GLOBAL WARMING AND GREENHOUSE EFFECT

81 ABSTRACTS OF THE ITEMS PUBLISHED IN THIS ISSUE IN ENGLISH

# CONTENTS

## ARTICLES

5

### HURRICANE FORCE

*Understanding the physics of hurricanes can help scientists make better forecasts of these devastating phenomena and determine whether the recent increase in the number of intense storms is linked to global warming, as Roger Smith explains.*

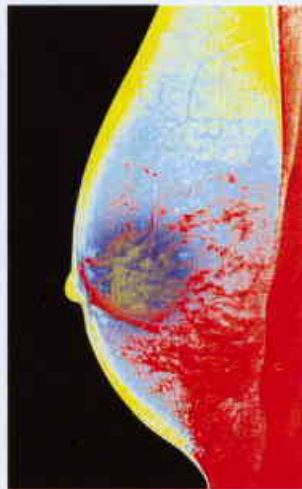
R. SMITH



12

### BREAST CANCER:

### ILLUSIONS OF INVESTIGATION



*The organized investigation of breast cancer in women between 50-74 years is the pillar of cancer combating plan.*

S. COISNE, F. LEMARCHAND

17

### MOBILIZING MAGNETIC RESONANCE

*Nuclear magnetic resonance traditionally requires large magnets that make the technology immobile and expensive. Boyd Goodson describes how efforts are being made to develop portable devices that will extend the reach of this powerful imaging technique.*

B. GOODSON



25

### GRAVITY'S DARK SIDE

*Despite decades of searching, the "dark matter" thought to hold galaxies together are still nowhere to be found. Matthew Chalmers describes how some physicists think it makes more sense to change our theory of gravity instead.*

M. CHALMERS





# Aalam Al-Tharra

Journal of The Atomic Energy Commission of Syria

A journal published in Arabic six times a year,  
by the Atomic Energy Commission of Syria.  
It aims to disseminate Knowledge of nuclear and  
atomic sciences and of the different applications  
of Atomic energy.

## Managing Editor

**Dr. Ibrahim Othman**

**Director General of A.E.C.S**

## Editorial Board

**Dr. Adel Harfoush**

**Dr. Ziad Qutob**



# NO. 105